

1947



საქართველოს სსრ  
მეცნიერებათა აკადემიის  
გ მ თ ა მ გ ე

გოგნი VIII, № 5

ბიბლიოთეკის ქართული განყოფილება

1947

საქართველოს სსრ მეცნიერებათა აკადემიის გამომცემლობა  
თბილისი

შ ი ნ ა ა რ ს ი

მათემატიკა

დ. ხარაზოვი. წრფე ინტეგრალურ განტოლებათა შესახებ, რომელთა გული პარა-  
მეტრის კვადრატული მრავალწევრია . . . . . 269

ბ. ხვედელიძე. ზოგი თვისება განსაკუთრებული ინტეგრალებისა კოსმი-  
ვარი მნიშვნელობათ . . . . . 277

დრამატოგის თეორია

ა. რუხაძე. დაგრეხილი ძელის განივი ძალით ღუნვის ამოცანა . . . . . 285

კლიმატოლოგია

ა. ბალაბუგივი. პლუვიომეტრიული გრადიენტების შესახებ საქართველოს პირობებში 293

გეოლოგია

ი. ბუაჩიძე. ალაზნის არტეზიული აუზის ჰიდრო-გეოლოგიის ზოგიერთი საკითხი . 301

ბალეონტოლოგია

ლ. დავითაშვილი (აკადემიის ნამდვილი წევრი). ტიპების, კლასებისა და ორგანუ-  
ლი სამყაროს სხვა დანაყოფების ეკოგენია . . . . . 309

ტმენიკა

რ. ლორთქიფანიძე. სწორკუთხოვანი კვეთის თხელკედლიანი ძელის რხევა . . . 317

ენტომოლოგია

დ. ლოხოვი. სუნიანი მერქნიჭამია (*Cossus cossus* L.) თბილისის პარკების ნარგა-  
ვებში . . . . . 325

ზოოლოგია

თ. თიქილაშვილი. ნეკერჩხლის ახალი მავნებელი (*Phyllotoma flavicollis* Guss.) . 331

ა. ლეჟავა. ჰისტოლოგიური ცვლილებები მიელინურ ნერვულ ბოჭკოებში ნერვის  
ზრდის დროს . . . . . 337

მნათმეცნიერება

მაკარ ხუბუა. სპარსიხმების საკითხისათვის შაჰ-ნამეს პროზაულ ვერსიაში . . . 345



დ. ხარაზოში

წრფივ ინტეგრალურ განტოლებათა შესახებ, რომელთა გული პარამეტრის კვადრატული მრავალწევრია

(წარმოადგინა აკად. ნამდვ. წევრმა ი. ვეჟუაძე 14.4.1947)

1. განვიხილოთ ინტეგრალური განტოლება

$$u(x) - \int_a^b G(x, y; \lambda) u(y) dy = 0, \quad (1)$$

სადაც

$$G(x, y; \lambda) = G_0(x, y) + \lambda G_1(x, y) + \lambda^2 G_2(x, y), \quad (2)$$

$G_0(x, y)$ ,  $G_1(x, y)$  და  $G_2(x, y)$  ისეთი ნამდვილი ფუნქციებია, რომელთა კვადრატი შეჯამებადია  $a \leq x, y \leq b$  არეში,  $\lambda$  კომპლექსური პარამეტრია. დავუქვემდებაროთ (2) გული შემდეგ პირობებს (რომელთაც შემდგომ  $K$  პირობები ვუწოდოთ):

1)  $G_n(x, y)$  ( $n=0, 1, 2$ ) წყვილ-წყვილად ორთოგონალური გულებია  $a \leq x, y \leq b$  არეში<sup>1</sup>;

2) ყოველი ფუნქციისათვის  $\varphi(x) \in L^2(a, b)$ , რომელიც აკმაყოფილებს პირობას

$$\int_a^b \varphi^2(x) dx = 1,$$

$$\int_a^b \int_a^b G_0(x, y) \varphi(x) \varphi(y) dx dy < 1.$$

ჩვენ [1] ნაშრომში ვაჩვენეთ, რომ ადგილი აქვს შემდეგ თეორემებს:

თეორემა 1. თუ (2) გული აკმაყოფილებს  $K$  პირობებს, მაშინ იმისათვის, რომ  $\lambda_0$  იყოს მისი მახასიათებელი რიცხვი, აუცილებელია და საკმარისი არსებობდეს ერთი მაინც ისეთი რიცხვი  $k$  ( $k=1, 2$ ), რომ  $\lambda_0^k$  იყოს  $G_k(x, y)$  გულის მახასიათებელი რიცხვი.

<sup>1</sup> გულების ორთოგონალობის ცნების შესახებ იხ. [1] ან [2].

5354



თეორემა 2. თუ (2) გული აკმაყოფილებს  $K$  პირობებს და ყველა  $G_n(x, y)$  ( $n=0, 1, 2$ ) სიმეტრიული ფუნქციებია, მაშინ მისი რეზოლვენტი არის მერომორფული ფუნქცია,

$$R(x, y; \lambda) = R_0(x, y; 1) = \lambda R_1(x, y; \lambda) + \lambda^2 R_2(x, y; \lambda^2),$$

სადაც  $R_n(x, y; \mu)$  ( $n=0, 1, 2$ ) არიან სათანადოდ რეზოლვენტები  $G_n(x, y)$  ( $n=0, 1, 2$ ) გულებისა. თუ გულები  $G_n(x, y)$  უწყვეტია, მაშინ სიმეტრიულობის პირობა ზედმეტია.

დავაშტეტოთ ახლა (2) გულის ზოგიერთი თვისება.

თეორემა 3. თუ  $G_n(x, y)$  ( $n=0, 1, 2$ ) სიმეტრიული ფუნქციებია, მაშინ იმისათვის, რომ (2) გულს, რომელიც აკმაყოფილებს  $K$  პირობებს, ჰქონდეს მხოლოდ ნამდვილი მახასიათებელი რიცხვები, აუცილებელია და საკმარისი, რომ  $G_2(x, y)$  იყოს ნახევრად განსაზღვრული დადებითი გული.

თუ თეორემის პირობები შესრულებულია, მაშინ მახასიათებელი რიცხვის არსებობა გამომდინარეობს 1 თეორემიდან. ყოველი მახასიათებელი რიცხვი ნამდვილია, რადგან 1 თეორემის ძალით, ან  $\lambda_0$  მახასიათებელი რიცხვია  $G_1(x, y)$  გულისა, ან  $\lambda_0^2$  დადებითი მახასიათებელი რიცხვია  $G_2(x, y)$  გულისა.

ვთქვათ, ახლა (2) გულს მხოლოდ ნამდვილი მახასიათებელი რიცხვები აქვს. დაეწვიოს, რომ  $G_2(x, y)$ -ს აქვს უარყოფითი მახასიათებელი რიცხვი  $-\nu^2$ ; მაშინ, 1 თეორემის ძალით,  $\pm i\nu$  წარმოსახვითი მახასიათებელი რიცხვი იქნება (2) გულისა, რაც შეუძლებელია. მაშ,  $G_2(x, y)$  ნახევრად განსაზღვრული დადებითი გულია.

თეორემა 4. თუ (2) გული აკმაყოფილებს მე-3 თეორემის ყველა პირობას, მაშინ (2) გულის რეზოლვენტს მხოლოდ მარტივი პოლუსები ექნება.

ვთქვათ,  $\lambda_0$  არის (2) გულის  $R(x, y; \lambda)$  რეზოლვენტის პოლუსი. 1 და 2 თეორემებიდან გამომდინარეობს, რომ ან  $\lambda_0$  იქნება  $R_1(x, y; \lambda)$  რეზოლვენტის პოლუსი, ან  $\lambda_0^2$  იქნება  $R_2(x, y; \lambda^2)$  რეზოლვენტის პოლუსი.  $G_1(x, y)$  გულის სიმეტრიულობის ძალით, მისი რეზოლვენტის ყოველი პოლუსი მარტივია, ხოლო თუ  $\lambda_0^2$  პოლუსია  $R_2(x, y; \lambda^2)$  რეზოლვენტისა, მაშინ  $R_2$ -ის ლორანის მწკრივის  $\lambda_0^2$ -ის მახლობლად,  $G_2(x, y)$  გულის სიმეტრიულობის გამო, ექნება სახე

$$R_2(x, y; \lambda^2) = \frac{1}{2\lambda_0} r_2(x, y) \frac{1}{\lambda - \lambda_0} + P_2(x, y; \lambda - \lambda_0),$$

სადაც  $P_2$  პოლომორფული ფუნქციაა  $\lambda = \lambda_0$  წერტილის მახლობლად. მაშასადამე,  $\lambda_0$  (2) გულის რეზოლვენტის მარტივი პოლუსია.

2. განვიხილოთ ახლა (1) განტოლება, რომლის (2) გული დავუქვემდებაროთ შემდეგ პირობებს (რომელთაც შემდგომ  $K^*$  პირობები ვუწოდოთ):



1) სიმეტრიული გულები  $G_1(x, y)$  და  $G_2(x, y)$  ორთოგონალური არიან  $G_0(x, y)$  სიმეტრიული გულის  $a \equiv x, y \equiv b$  არეში;

2) ყოველი ფუნქციისათვის  $\varphi(x) \in L^2(a, b)$ , რომელიც ნორმირებულია პირობით

$$\int_a^b \varphi^2(x) dx = 1,$$

ადგილი აქვს უტოლობას

$$\int_a^b \int_a^b G_0(x, y) \varphi(x) \varphi(y) dx dy < 1; \quad (3)$$

3)  $G_2(x, y)$  ნახევრად განსაზღვრული დადებითი გულია.

განვზოგადოთ ჯერ ორთონორმირებული სისტემის ცნება ზემოაღნიშნული ტიპის (1) განტოლებისათვის.

(1) განტოლება, რომლის გული აკმაყოფილებს  $K^*$  პირობებს, ასე გადაეწერათ:

$$u(x) - \int_a^b G_0(x, y) u(y) dy = \lambda \int_a^b [G_1(x, y) + \lambda G_2(x, y)] u(y) dy. \quad (4)$$

ვთქვათ,  $R_0(x, y; 1)$  აღნიშნავს  $G_0(x, y)$  გულის რეზოლვენტს (იგი არსებობს (3) უტოლობის ძალით). მაშინ, ფრედჰოლმის პირველი თეორემისა და  $G_1$  და  $G_2$ -ის  $G_0$ -თან ორთოგონალობის ძალით, (4) განტოლება ეკვივალენტურია განტოლებისა

$$u(x) - \lambda \int_a^b [G_1(x, y) + \lambda G_2(x, y)] u(y) dy = 0. \quad (5)$$

აღვნიშნოთ  $\lambda'$  და  $\lambda''$ -ით (5) განტოლების ერთმანეთისაგან განსხვავებული მახასიათებელი რიცხვები, ხოლო  $\varphi'(x)$  და  $\varphi''(x)$ -ით სათანადო ფუნდამენტალური ფუნქციები. მაშინ ადვილია დავრწმუნდეთ, რომ ადგილი აქვს ტოლობას

$$\int_a^b \varphi'(x) \varphi''(x) dx + \lambda' \lambda'' \int_a^b \int_a^b G_2(x, y) \varphi'(x) \varphi''(y) dx dy = 0. \quad (6)$$

(6) ტოლობით გამოსახულ თვისებას ვუწოდოთ „განვზოგადებული ორთოგონალობა“, რადგან იგი (5) განტოლებისათვის ისეთსავე როლს თამაშობს,

როგორც ჩვეულებრივი ორთოგონალობა სიმეტრიულ გულიან ინტეგრალურ განტოლებათა თეორიაში. შემოვიღოთ აღნიშვნა

$$[\varphi', \varphi''; \lambda' \lambda''] = \int_a^b \varphi'(x) \varphi''(x) dx + \lambda' \lambda'' \int_a^b \int_a^b G_2(x, y) \varphi'(x) \varphi''(y) dx dy.$$

შმიდტის ცნობილ ორთოგონალიზაციის მეთოდის [3] განზოგადებით ადვილია ჩვენება, რომ ფუნდამენტალურ ფუნქციათა ყოველი სისტემა  $\psi_1(x), \dots, \psi_k(x)$ , რომელიც ეთანადება (5) განტოლების ერთსა და იმავე მახასიათებელ  $\lambda$  რიცხვს, შეიძლება შევცვალოთ მათი ისეთი წრფივი კომბინაციებით  $u_1(x), \dots, u_k(x)$ , რომლებიც უკვე იქნება განზოგადებულად ორთონორმირებული, ე. ი.

$$[u_i, u_k; \lambda^2] = \begin{cases} 0, & \text{თუ } i \neq k \\ 1, & \text{თუ } i = k. \end{cases}$$

ჩვენ მიერ წინათ მიღებული შედეგებიდან [4, 5] გამომდინარეობს, რომ თუ (2) გული აკმაყოფილებს  $K^*$  პირობებს, მაშინ მისი მახასიათებელი რიცხვები იქნებიან ნანდილი და მათ არ ექნებათ ზღვრული წერტილი ნამდვილი ლერძის სასრულ ნაწილში. ვთქვათ,  $\lambda_1, \lambda_2, \dots, \lambda_n, \dots$  ჩვენი გულის მახასიათებელ რიცხვთა მიმდევრობაა, რომელშიაც თითოეული მახასიათებელი რიცხვი იმდენჯერაა გაყოფილი, რამდენი წრფივად დამოუკიდებელი ფუნდამენტალური ფუნქციაც მას ეთანადება. ზემოთ ჩატარებული მსჯელობიდან ცხადია, რომ ამოწერილ მახასიათებელ რიცხვთა მიმდევრობის სათანადო ფუნდამენტალურ ფუნქციათა სისტემა  $\varphi_1(x), \varphi_2(x), \dots, \varphi_n(x), \dots$  შეიძლება ჩავთვალოთ განზოგადებულ ორთონორმირებულ სისტემად, ე. ი.

$$[\varphi_m, \varphi_n; \lambda_m, \lambda_n] = \begin{cases} 0, & \text{თუ } m \neq n \\ 1, & \text{თუ } m = n. \end{cases} \quad (7)$$

3. დავამტკიცოთ ახლა (2) გულის ფუნდამენტალური ფუნქციებისაგან შედგენილი ზოგიერთი მწკრივის კრებადობა.

თეორემა 5. თუ (2) გული აკმაყოფილებს  $K^*$  პირობას, და, გარდა ამისა,  $G_2(x, y)$  უწყვეტი გულია, მაშინ მწკრივი

$$\sum_{n=1}^{\infty} \frac{\varphi_n^2(x)}{\lambda_n^2}$$

შემოსაზღვრულად იკრიბება თითქმის ყველგან  $(a, b)$  შუალედში გარკვეული შეჯამებადი ფუნქციისაგან.

ვთქვათ,  $\psi_1(x), \dots, \psi_n(x), \dots, G_2(x, y)$  გულის ფუნდამენტალურ ფუნქციათა სისტემა,  $\psi_n(x)$  ეთანადება  $z_n (n=1, 2, \dots)$  მახასიათებელ რიცხვს. მაშინ, მერსერის თეორემის ძალით,

$$G_2(x, y) = \sum_{n=1}^{\infty} \frac{\psi_n(x) \psi_n(y)}{z_n}$$

ეს მწკრივი აბსოლუტურად და თანაბრად იკრიბება.

ვთქვათ,  $\varphi_1(x), \dots, \varphi_2(x)$  (2) გულის  $\lambda_1, \dots, \lambda_k$  მახასიათებელი რიცხვების სათანადო ფუნდამენტალური ფუნქციებია; მაშინ, რადგან ჩვენ შემთხვევაში (1) განტოლება ეკვივალენტურია (5)-ისა, გვექნება

$$\frac{\varphi_n(t)}{\lambda_n} = \int_a^b G_1(t, y) \varphi_n(y) dy + \lambda_n \int_a^b G_2(t, y) \varphi_n(y) dy. \quad (8)$$

თუ

$$G_{2p}(x, y) = \sum_{n=1}^p \frac{\psi_n(x) \psi_n(y)}{z_n},$$

მაშინ

$$\int_a^b G_2(x, y) \left( \sum_{n=1}^p \psi_n(t) \psi_n(x) \right) dx = G_{2p}(t, y). \quad (9)$$

შემოვიღოთ აღნიშვნები:

$$\left. \begin{aligned} v(x) &= G_1(x, t) - \sum_{n=1}^k \frac{\varphi_n(t)}{\lambda_n} \varphi_n(x), \\ v^*(x) &= \sum_{n=1}^p \psi_n(t) \psi_n(x) - \sum_{n=1}^k \varphi_n(t) \varphi_n(x). \end{aligned} \right\} \quad (10)$$

მაშინ, რადგან  $G_2(x, y)$  ნახევრად განსაზღვრული გულია, გვექნება

$$\int_a^b v^2(x) dx + \int_a^b \int_a^b G_2(x, y) v^*(x) v^*(y) dx dy \geq 0.$$

აქედან, (7), (9) და (10)-ის ძალით, მივიღებთ

$$\begin{aligned} & \sum_{n=1}^k \left[ 2 \frac{\varphi_n(t)}{\lambda_n} \left\{ \int_a^b G_1(y, t) \varphi_n(y) dy + \lambda_n \int_a^b G_{2p}(t, y) \varphi_n(y) dy \right\} \right. \\ & \left. - \frac{\varphi_n^2(t)}{\lambda_n^2} \right] \equiv \int_a^b G_1^2(x, t) dx + G_{2p}(t, t). \end{aligned} \quad (11)$$

მაგრამ როცა  $p \rightarrow \infty$ ,  $G_{2p}(t, y)$  თანაბრად მიისწრაფვის  $G_2(x, y)$ -საკენ. ამიტომ, თუ გავითვალისწინებთ (მ)-ს, (11)-დან მივიღებთ, რომ ნებისმიერი  $\varepsilon > 0$  თვის სამართლიანია უტოლობა

$$\sum_{n=1}^k \frac{\varphi_n^2(t)}{\lambda_n^2} < \int_a^b G_1^2(x, t) dx + G_2(t, t) + 2\varepsilon \sum_{n=1}^k \frac{\varphi_n(t)}{\lambda_n}.$$

აქედან, თითქმის ყველგან  $(a, b)$ -ში,

$$\sum_{n=1}^k \frac{\varphi_n^2(t)}{\lambda_n^2} \equiv \int_a^b G_1^2(x, t) dx + G_2(t, t). \quad (12)$$

(12) უტოლობა, რომელიც სამართლიანია ყოველი  $k$ -თვის, ამტკიცებს თეორემას.

თეორემა 6. თუ შესრულებულია მე-5 თეორემის პირობები, მაშინ მწკრივი

$$\sum_{n=1}^{\infty} \frac{\varphi_n(x)\varphi_n(y)}{\lambda_n^2}$$

აბსოლუტურად იკრიბება თითქმის ყველგან  $a \leq x, y \leq b$  არეში ისეთი ფუნქციისაკენ, რომლის კვადრატიც შეჯამებადია.

შვარცის უტოლობის ძალით, ყოველი  $k$ -თვის მივიღებთ შეფასებას

$$\left( \sum_{n=1}^k \frac{\varphi_n(x)\varphi_n(y)}{\lambda_n^2} \right)^2 \equiv \sum_{n=1}^{\infty} \frac{\varphi_n^2(x)}{\lambda_n^2} \sum_{n=1}^{\infty} \frac{\varphi_n^2(y)}{\lambda_n^2},$$

საიდანაც გამომდინარეობს თეორემის სამართლიანობა.

თეორემა 7. თუ შესრულებულია მე-5 თეორემის პირობები, მაშინ ყოველი  $H(x, y)$  ფუნქციისათვის, რომლის კვადრატიც შეჯამებადია  $a \leq x, y \leq b$  არეში, მწკრივი

$$\sum_{n=1}^{\infty} \frac{\left( \int_a^b H(x, y) \varphi_n(y) dy \right)^2}{\lambda_n^2}$$

თითქმის ყველგან იკრიბება  $(a, b)$  შუალედში გარკვეული შეჯამებადი ფუნქციისაკენ.



მართლაც, შვარცის უტოლობის ძალით ვლებულობთ შეფასებას

$$\sum_{n=1}^k \frac{\left( \int_a^b H(x, y) \varphi_n(y) dy \right)^2}{\lambda_n^2} \cong \int_a^b H^2(x, y) dy \cdot \sum_{n=1}^k \frac{\int_a^b \varphi_n^2(y) dy}{\lambda_n^2},$$

რომელიც თეორემას ამტკიცებს.

თეორემა 8. თუ შესრულებულია მე-7 თეორემის პირობები, მაშინ მწკრივი

$$\sum_{n=1}^{\infty} \frac{\int_a^b \int_a^b H(x, y) \varphi_n(x) \varphi_n(y) dx dy}{\lambda_n^2}$$

აბსოლუტურად კრებადი.

შვარცის უტოლობა იძლევა შეფასებას

$$\sum_{n=1}^k \frac{\left| \int_a^b \int_a^b H(x, y) \varphi_n(x) \varphi_n(y) dx dy \right|}{\lambda_n^2} \cong \sqrt{\int_a^b \int_a^b H^2(x, y) dx dy} \times \sum_{n=1}^k \frac{\int_a^b \varphi_n^2(x) dx}{\lambda_n^2}.$$

რომელიც თეორემას ამტკიცებს.

საქართველოს სსრ მეცნიერებათა აკადემია

ა. რაზმაძის სახელობის თბილისის მათემატიკის ინსტიტუტი

სტალინის სახელობის თბილისის

სახელმწიფო უნივერსიტეტი

(რედაქციას მოუვიდა 15.4.1947)

დანოწმებულ ლიტერატურა

1. დ. ხარაზოვი. პარამეტრზე რაციონალურად დამოკიდებული გულანის ინტეგრალური განტოლების ფუნდამენტალური ფუნქციებისა და რეზოლვენტის შესახებ. საქ. სსრ მეცნ. აკად. მოამბე, ტ. VIII, № 4, 1947.
2. Э. Гурса. Курс математического анализа, т. III, ч. II. Москва, 1934, стр. 69.
3. Р. Курант и Д. Гильберт. Методы математической физики, т. I, Москва 1934, стр. 43-44.
4. დ. ხარაზოვი. წრფი ინტეგრალურ განტოლებათა შესახებ, რომელთა გული პარამეტრის მთელი რაციონალური ფუნქციაა. საქ. სსრ მეცნ. აკად. მოამბე, ტ. VI, № 9, 1945.
5. დ. ხარაზოვი. მახასიათებელი რიცხვების შესახებ ისეთ ინტეგრალურ განტოლებათათვის, რომელთა გული პარამეტრის მთელი რაციონალური ფუნქციაა. თბილისის მათემატიკის ინსტ. შრომები, ტ. XIV, 1947.

## მათემატიკა

## ბ. ხვედილიძე

 ზოგი თვისება განსაკუთრებული ინტეგრალების კოზი-ლეგების  
 მთავარი მნიშვნელობით

(წარმოადგინა აკად. ნამდვ. წევრმა ი. ვეჯუამ 28.4.1947)

1. ვთქვათ,  $C$  აღნიშნავს რაიმე ჩაკეტილ ან ღია ბრტყელ გლუვ წირს, რომლის შემხების მიერ გარკვეულ მუდმივ მიმართულებასთან შედგენილი კუთხე, როგორც ამ წირის წერტილის ფუნქცია, აკმაყოფილებს ჰოლდერის პირობას<sup>(1)</sup>. ზოგადობის შეუზღუდველად შეგვიძლია ვიგულისხმოთ, რომ  $C$  წირის სიგრძე უდრის  $2\pi$ -ს. მაშინ  $C$  წირის პარამეტრული განტოლება შეიძლება აღებულ იქნეს შემდეგი სახით:  $x=x(s)$ ,  $y=y(s)$ ,  $0 \leq s \leq 2\pi$ , სადაც  $s$  აღნიშნავს  $C$  წირის რკალს; ზემოაღნიშნულ პირობებში ცხადია, რომ  $x'(s)$  და  $y'(s)$  აკმაყოფილებენ ჰოლდერის პირობას  $[0, 2\pi]$  სეგმენტზე.

ვთქვათ,  $f(t)$  რაიმე კომპლექსური ფუნქციაა, განსაზღვრული  $C$  წირზე. შემოვიღოთ აღნიშვნა:  $f_*(s) = f(t(s))$ , სადაც  $t(s) = x(s) + iy(s)$ . ანალოგიურ აღნიშვნას ვიხმართ მრავალ ცვლადთა ფუნქციის შემთხვევაშიაც.

თუ ლებეგის ინტეგრალი

$$\int_0^{2\pi} |f_*(s)|^p ds < +\infty,$$

ჩვენ ვიტყვი, რომ  $f(t)$  არის  $L^p$  ფუნქცია, და ამ ფაქტს ასე აღვნიშნავთ:

$$f_*(s) \in L^p[0, 2\pi] \text{ ან } f(t) \in L^p[C].$$

ანალოგიურ ტერმინსა და აღნიშვნას ვიხმართ მრავალ ცვლადთა ფუნქციის შემთხვევაშიაც. თუ ფუნქცია  $f(t)$  აკმაყოფილებს  $C$  წირზე ჰოლდერის პირობას, ჩვენ ვიტყვი, რომ  $f(t)$  არის  $H$  ფუნქცია და ამ ფაქტის აღსანიშნავად გამოვიყენებთ ერთ-ერთ შემდეგ სიმბოლოს:

$$f_*(s) \in H[0, 2\pi], \quad f(t) \in H[C] \text{ ან } f(t) \in H_x[C];$$

უკანასკნელი აღნიშვნა მიუთითებს, რომ  $f(t)$  აკმაყოფილებს ჰოლდერის პირობას  $\alpha$  მაჩვენებლით.

(<sup>1</sup> აქვე შევნიშნოთ, რომ ყველა შედეგი, რომელსაც ჩვენ ჰქვამთ ვლებულობთ, ძალაში რჩება იმ შემთხვევაშიც, როდესაც  $C$  აღნიშნული თვისების მქონე წირთა ურთიერთარაგადაშლად სასრულ ერთობლიობას წარმოადგენს.

ვთქვათ,  $t_0$  რაიმე წერტილია  $C$  წირისა;  $t_0 = t(s_0) \in C$ . ვთქვათ,  $\varepsilon$  რაიმე მცირე დადებითი რიცხვია, შემდგომ  $C_\varepsilon$ -ით ჩვენ აღნიშნავთ  $C$  წირის იმ ნაწილს, რომელსაც მივიღებთ აღნიშნული წირიდან, თუ მას ჩამოვაშორებთ  $2\varepsilon$  სიგრძის რკალს, რომლის ბოლო წერტილებია  $t(s_0 - \varepsilon)$  და  $t(s_0 + \varepsilon)$ .

ვთქვათ,  $f(t)$  რაიმე შეჯამებადი ფუნქციაა, განსაზღვრული  $C$  წირზე ( $f(t) \in L[C]$ ). შემოვიღოთ აღნიშვნა

$$\int_C \frac{f(t) dt}{t-t_0} = \lim_{\varepsilon \rightarrow 0} \int_{C_\varepsilon} \frac{f(t) dt}{t-t_0}, \quad (1)$$

თუ ტოლობის მარჯვენა მხარე არსებობს, და მას ვუწოდოთ განსაკუთრებული ინტეგრალი კოში-ლებეგის მთავარი მნიშვნელობის აზრით.

ამ ნაშრომში ჩვენ ვსწავლობთ აღნიშნული ინტეგრალის ზოგიერთ თვისებას; მიღებულ შედეგებს ჩვენ გამოვიყენებთ სხვა ნაშრომში სინგულარულ ინტეგრალურ განტოლებათა თეორიის ზოგიერთი ცნობილი დებულების განხილვისათვის, როცა განტოლებაში გვხვდება განსაკუთრებული ინტეგრალები კოში-ლებეგის მთავარი მნიშვნელობის აზრით. მოვიყვანოთ წინასწარ ლებეგის ინტეგრალის ორი თვისება, რომელთაც შემდგომ გამოვიყენებთ.

ლემა 1. თუ  $f(t) \in L[C]$  და  $0 < \alpha < 1$ , მაშინ

$$\int_C \frac{f(\tau) d\tau}{|\tau-t|^\alpha} \in L[C].$$

ეს ლემა უშუალოდ გამომდინარეობს ლ. ტონელის ერთი თეორემიდან [1].

ლემა 2. ვთქვათ: 1)  $K(t, \tau)$  შემოსაზღვრული ზომადი ფუნქციაა, როცა  $t, \tau \in C$ , 2)  $f(t) \in L^p[C]$ , სადაც  $p \geq 1$  და 3)  $0 < \alpha < 1$ . მაშინ

$$\omega(t, t_1) = \int_C \frac{K(t, \tau) f(\tau) d\tau}{|\tau-t_1|^\alpha} \in L^p[C].$$

მართლაც, ადვილად მტკიცდება, რომ

$$|\omega(s_1, s_1)|^p \leq \gamma \int_0^{2\pi} \frac{|f_*(\sigma)|^p d\sigma}{|\sigma-s_1|^\alpha},$$

სადაც  $\gamma$  გარკვეული მუდმივია. ეს უტოლობა წინა ლემასთან ერთად ამტკიცებს ჩვენს დებულებას.

2. გადავიდეთ ახლა განსაკუთრებული ინტეგრალების განხილვაზე კოში-ლებეგის მთავარი მნიშვნელობით.

თეორემა 1. თუ  $f(t) \in L[C]$ , მაშინ

$$\varphi(t) = \int_C \frac{f(\tau) d\tau}{\tau-t} \quad (2)$$

იქნება თითქმის ყველგან სასრული ფუნქცია  $C$ -ზე, ხოლო თუ  $f(t) \in L^p[C]$ ,  $p > 1$ , მაშინ  $\varphi(t) \in L^p[C]$ .

ამ თეორემის მეორე ნახევარს ადვილად მივიღებთ მ. რისის შემდეგი დებულებიდან [2]: თუ  $f(\sigma) \in L^p[0, 2\pi]$ ,  $p > 1$ , მაშინ

$$\int_0^{2\pi} f(\sigma) \operatorname{ctg} \frac{\sigma-s}{2} d\sigma \in L^p[C]. \quad (3)$$

მართლაც, ადვილია ჩვენება, რომ (იხ. [3])

$$\frac{d\tau}{\tau-t} = \beta(s, \sigma) \left\{ \operatorname{ctg} \frac{\sigma-s}{2} - i \right\} d\sigma, \quad (4)$$

სადაც

$$\beta(s, \sigma) = \frac{(e^{is} - e^{i\sigma}) \tau(\sigma) e^{i\sigma}}{2i(\tau-t)} \in H[0, 2\pi; 0, 2\pi]. \quad (5)$$

თუ გამოვიყენებთ (4) ტოლობას, გექნება

$$\begin{aligned} \varphi_*(s) &= \int_0^{2\pi} f_*(\sigma) [\beta(s, \sigma) - \beta(s, s)] \operatorname{ctg} \frac{\sigma-s}{2} d\sigma \\ &+ \beta(s, s) \int_0^{2\pi} f_*(\sigma) \operatorname{ctg} \frac{\sigma-s}{2} d\sigma - i \int_0^{2\pi} \beta(s, \sigma) f_*(\sigma) d\sigma. \end{aligned} \quad (6)$$

შე-2 ლემისა და (5) ფორმულის ძალით,

$$\int_0^{2\pi} f_*(\sigma) [\beta(s, \sigma) - \beta(s, s)] \operatorname{ctg} \frac{\sigma-s}{2} d\sigma \in L^p[0, 2\pi].$$

(3)-ის ძალით, (6) ტოლობის მეორე შესაჯრები აგრეთვე  $L^p$  ფუნქციაა, შესაშვ შესაჯრები კი, ცხადია,  $H$  ფუნქციაა.

თეორემის პირველი ნახევარი უშუალოდ გამომდინარეობს (6) ტოლობიდან, თუ გავითვალისწინებთ შე-2 ლემასა და იმ დებულებას, რომ ამ შემთხვევაში (3) დამოკიდებულებაში მონაწილე ინტეგრალი თითქმის ყველგან სასრულია (იხ. [4]).

შედეგი. დამტკიცებული თეორემიდან და ი. პრივალოვის [5] ერთი დებულებიდან გამომდინარეობს: თუ  $f(t) \in L[C]$ , და

$$\Phi(\zeta) = \frac{1}{2\pi i} \int_C \frac{f(\tau) d\tau}{\tau - \zeta},$$

მაშინ, როცა  $\zeta$  ნებისმიერი არამხეები გზით მიისწრაფვის  $C$  წირის  $t$  წერტილისაკენ, თითქმის ყველგან იარსებებს  $\Phi(\zeta)$  ფუნქციის ზღვარი და ადგილი ექნება ტოლობას

$$\Phi^\pm(t) = \pm \frac{1}{2} f(t) + \frac{1}{2\pi i} \int_C \frac{f(\tau) d\tau}{\tau - t}, \quad (7)$$

სადაც ნიშანი  $+ან$  — უნდა ავიღოთ იმისდა მიხედვით,  $\chi$  მიისწრაფვის მარჯვნიდან თუ მარცხნიდან  $t$  წერტილისაკენ  $C$  წირზე არჩეული დადებითი მიმართულების მიმართ.

წინა თეორემის ანალოგიურად დამტკიცდება

თეორემა 2. თუ  $K(t, \tau) \in H[C]$  და  $f(t) \in L^p[C]$ ,  $p > 1$ , მაშინ

$$\int_C \frac{K(t, \tau) f(\tau) d\tau}{\tau - t_1} \in L^p(C).$$

თეორემა 3. თუ  $f(t) \in L^p[C]$ ,  $\varphi(t) \in L^q[C]$   $p > 1$ ,  $q = p/p-1$  და  $K(t, \tau) \in H[C]$ , მაშინ თითქმის ყველგან  $C$ -ზე ადგილი აქვს ტოლობას

$$\int_C \frac{f(t) dt}{t - t_0} \int_C K(t, \tau) \varphi(\tau) d\tau = \int_C \varphi(\tau) d\tau \int_C \frac{K(t, \tau) f(t) dt}{t - t_0}, \quad t_0 \in C. \quad (8)$$

ვთქვათ,  $t \in C_\varepsilon$  ( $C_\varepsilon$ -ის განმარტება იხ. n° 1-ში),  $\tau \in C$ . მაშინ, ფუბინის (Fubini) თეორემის ძალით, ყოველი დადებითი  $\varepsilon$ -თვის გვექნება

$$\int_{C_\varepsilon} \frac{f(t) dt}{t - t_0} \int_C K(t, \tau) \varphi(\tau) d\tau = \int_C \varphi(\tau) d\tau \int_{C_\varepsilon} \frac{K(t, \tau) f(t) dt}{t - t_0}. \quad (9)$$

რადგან  $f(t) \in L^p[C]$ , 1 თეორემის ძალით თითქმის ყველგან  $C$ -ზე გვექნება

$$\lim_{\varepsilon \rightarrow 0} \int_{C_\varepsilon} \frac{f(t) dt}{t - t_0} \int_C K(t, \tau) \varphi(\tau) d\tau = \int_C \frac{f(t) dt}{t - t_0} \int_C K(t, \tau) \varphi(\tau) d\tau, \quad t_0 \in C. \quad (10)$$

აღნიშნით  $E$ -ით  $C$  წირის იმ წერტილთა სიმრავლე, რომელზეც ერთობლივად დაცულია შემდეგი პირობები: 1) არა აქვს ადგილი (10) ტოლობას; 2) არ არის შეჯამებადი ფუნქცია  $|f_*(s)|/|s - s_0|^{1-\alpha}$ , სადაც  $\alpha$  არის  $K(t, \tau)$  ფუნქციის ჰოლდერის მაჩვენებელი და 3) არ არსებობს ინტეგრალი

$$\int_C \frac{f(t) dt}{t - t_0}.$$

ცხადია,  $\text{mes } E = 0$ . განვიხალოთ სიმრავლე  $E_1 = C - E$  და ვაჩვენოთ, რომ (8) ტოლობას ადგილი აქვს  $E_1$  სიმრავლის ყოველი წერტილისათვის.

ვთქვათ,  $t_0 \in E_1$ . ამ წერტილისათვის შესრულებული იქნება (10) ტოლობა. ამიტომ, თუ გავითვალისწინებთ (9) ტოლობას, თეორემის დასამტკიცებლად საკმარისია ვაჩვენოთ, რომ ინტეგრალი

$$\gamma(\varepsilon) = \int_C \varphi(\tau) d\tau \int_{I_\varepsilon} \frac{K(t, \tau) f(\tau) d\tau}{t - t_0}, \quad (11)$$

სადაც  $I_\varepsilon = C - C_\varepsilon$ , მიისწრაფვის ნულისაკენ, როცა  $\varepsilon \rightarrow 0$ .

გადავეწროთ (11) ტოლობა შემდეგი სახით:

$$\gamma(\varepsilon) = \int_C \varphi(\tau) f_\varepsilon(\tau) d\tau + \int_C K(t_0, \tau) \varphi(\tau) d\tau \cdot \int_{I_\varepsilon} \frac{f(t) dt}{t-t_0}, \quad (12)$$

სადაც

$$f_\varepsilon(\tau) = \int_{I_\varepsilon} \frac{K(t, \tau) - K(t_0, \tau)}{t-t_0} f(t) dt.$$

(12) ტოლობიდან, თუ გავითვალისწინებთ  $E_1$  სიმრავლის თვისებებს, მივიღებთ

$$\lim_{\varepsilon \rightarrow 0} \gamma(\varepsilon) = 0.$$

თეორემა 4. თუ  $f(t) \in L^p[C]$ ,  $\varphi(t) \in L^q[C]$   $p > 1$ ,  $q = p/p-1$  და  $K(t, \tau) \in H[C]$ , მაშინ

$$\int_C f(t) dt \int_C \frac{K(t, \tau) \varphi(\tau) d\tau}{\tau-t} = \int_C \varphi(\tau) d\tau \int_C \frac{K(t, \tau) f(t) dt}{\tau-t}. \quad (13)$$

თუ გავითვალისწინებთ (4) ტოლობას, ადვილია ჩვენება, რომ (13) ტოლობასია შემდეგი ორი ტოლობისა

$$\begin{aligned} & \int_0^{2\pi} f_*(s) ds \int_0^{2\pi} \omega(s, \sigma) \varphi_*(\sigma) \operatorname{ctg} \frac{\sigma-s}{2} d\sigma \\ &= \int_0^{2\pi} \varphi_*(\sigma) d\sigma \int_0^{2\pi} \omega(s, \sigma) f_*(s) \operatorname{ctg} \frac{\sigma-s}{2} ds, \end{aligned} \quad (14)$$

$$\int_0^{2\pi} f_*(s) ds \int_0^{2\pi} \omega(s, \sigma) \varphi_*(\sigma) d\sigma = \int_0^{2\pi} \varphi_*(\sigma) d\sigma \int_0^{2\pi} \omega(s, \sigma) f_*(s) ds, \quad (15)$$

სადაც

$$\omega(s, \sigma) = \frac{(e^{i\sigma} - e^{is}) f'(s) \tau'(\sigma) e^{i\sigma} K_*(s, \sigma)}{2i(\tau - t)} \in H_\lambda[0, 2\pi; 0, 2\pi]_{0 < \lambda < 1}.$$

(15) ტოლობას ადვილი აქვს ფუბინის თეორემის ძალით. რაც შეეხება (14) ტოლობას, მისი სამართლიანობის საჩვენებლად გამოვიყენოთ მ. რიხის ზოგიერთი შედეგი [2].

ვთქვათ,  $f(s) \in L^p[0, 2\pi]$ ,  $g(s) \in L^q[0, 2\pi]$ ,  $p > 1$ ,  $q = p/p - 1$ , ხოლო  $a_n$ ,  $b_n$  და  $\alpha_n$ ,  $\beta_n$  მათი ფორიეს კოეფიციენტებია შესაბამისად. მაშინ, მ. რისის ზემოთ აღნიშნული შედეგების გამოყენებით, ადვილად ვაჩვენებთ, რომ

$$\frac{1}{\pi} \int_0^{2\pi} f(s) \left\{ \frac{1}{2\pi} \int_0^{2\pi} g(\sigma) \operatorname{ctg} \frac{s-\sigma}{2} d\sigma \right\} ds = \sum_{n=1}^{\infty} (a_n \beta_n - \alpha_n b_n),$$

$$\frac{1}{\pi} \int_0^{2\pi} g(\sigma) \left\{ \frac{1}{2\pi} \int_0^{2\pi} f(s) \operatorname{ctg} \frac{\sigma-s}{2} ds \right\} d\sigma = \sum_{n=1}^{\infty} (-\alpha_n b_n + a_n \beta_n),$$

საიდანაც გამომდინარეობს

$$\int_0^{2\pi} f(s) ds \int_0^{2\pi} g(\sigma) \operatorname{ctg} \frac{s-\sigma}{2} d\sigma = \int_0^{2\pi} g(\sigma) d\sigma \int_0^{2\pi} f(s) \operatorname{ctg} \frac{s-\sigma}{2} ds. \quad (16)$$

გადავწეროთ ახლა (14) ტოლობის მარცხნივ მდგომი ვამოსახულება შემდეგი სახით:

$$\int_0^{2\pi} f_*(s) ds \int_0^{2\pi} \omega(s, \sigma) \varphi_*(\sigma) \operatorname{ctg} \frac{\sigma-s}{2} d\sigma = \int_0^{2\pi} f_*(s) ds \int_0^{2\pi} [\omega(s, \sigma) - \omega(s, s)] \varphi_*(\sigma) \operatorname{ctg} \frac{\sigma-s}{2} d\sigma + \int_0^{2\pi} \omega(s, s) f_*(s) ds \int_0^{2\pi} \varphi_*(\sigma) \operatorname{ctg} \frac{\sigma-s}{2} d\sigma.$$

ამ ტოლობიდან ადვილად მივიღებთ (14) ტოლობას, თუ პირველ შესაჯრებში შევცვლით ინტეგრების მიმდევრობას ფუბინის თეორემის ძალით, ხოლო მეორეში—(16) ფორმულას ძალით.

თეორემა 5. თუ  $f(t) \in L^p[C]$ ,  $\varphi(t) \in L^q[C]$ ,  $p > 1$ ,  $q = p/p - 1$ , მაშინ თითქმის ყველგან  $C$ -ზე ადგილი აქვს ტოლობას

$$\int_C \frac{f(t) dt}{t-t_0} \int_C \frac{\varphi(\tau) d\tau}{\tau-t} = -\pi^2 f(t_0) \varphi(t_0) + \int_C \varphi(\tau) d\tau \int_C \frac{f(t) dt}{(t-t_0)(\tau-t)}, \quad t_0 \in C. \quad (17)$$

ამ თეორემის დამტკიცების დროს ჩვენ ვიყენებთ იმ იდეას, რომელიც გამოყენებული აქვს ნ. მუსხელიშვილს (იხ. [3]) ანალოგიური ფორმულის საჩვენებლად  $H$  ფუნქციების შემთხვევაში.

ვთქვათ,  $z \in C$ . შემოვიღოთ შემდეგი აღნიშვნები:

$$\begin{aligned} \Phi(z) &= \int_C \frac{f(t) dt}{\tau-z} \int_C \frac{\varphi(\tau) d\tau}{\tau-t}, \\ \Psi(z) &= \int_C \varphi(\tau) d\tau \int_C \frac{f(t) dt}{(t-z)(\tau-t)}. \end{aligned} \quad (18)$$

მე-4 თეორემის ძალით,

$$\Phi(z) = \Psi(z). \quad (19)$$

თუ გამოვიყენებთ პლემელ-პრივალოვის ცნობილ თეორემას (იხ. (7) ტოლობა), გვექნება: როცა  $z$  მიისწრაფვის ნებისმიერი არამზები გზით  $C$  წირის წერტილებისაკენ მარჯვნიდან, მაშინ არსებობს თითქმის ყველგან  $\Phi(z)$  ფუნქციის სასრული ზღვრული მნიშვნელობა  $\Phi^+(t_0)$  და

$$\Phi^+(t_0) = \pi i f(t_0) \int_C \frac{\varphi(\tau) d\tau}{\tau-t_0} + \int_C \frac{f(t) dt}{t-t_0} \int_C \frac{\varphi(\tau) d\tau}{\tau-t}. \quad (20)$$

ცხადია, რომ

$$\Psi(z) = \int_C \frac{\varphi(\tau) d\tau}{\tau-z} \int_C \frac{f(t) dt}{t-z} + \int_C \frac{\varphi(\tau) d\tau}{\tau-z} \int_C \frac{f(t) dt}{\tau-t},$$

საიდანაც ანალოგიურად (20) ტოლობის მივიღებთ:

$$\begin{aligned} \Psi^+(t_0) &= -\pi^2 f(t_0) \varphi(t_0) + \pi i f(t_0) \int_C \frac{\varphi(\tau) d\tau}{\tau-t_0} \\ &+ \int_C \varphi(\tau) d\tau \int_C \frac{f(t) dt}{(t-t_0)(\tau-t)}. \end{aligned} \quad (21)$$

(19), (20) და (21) ტოლობებიდან გამომდინარეობს დასამტკიცებელი (17) ფორმულა.

როცა  $C$  არის ერთფურცლიანი წრეწირი ცენტრით კოორდინატთა სათავეში, მაშინ დამტკიცებული თეორემიდან გამომდინარეობს



შედგეო. თუ  $f(\varphi) \in L^p[0, 2\pi]$ ,  $\varphi(\varphi) \in L^q[0, 2\pi]$   $p > 1$ ,  $q = p/p-1$ ,  $\sigma$ -ით-  
ქმის ყველაზე  $[0, 2\pi]$  შუალედში ადგილი აქვს ტოლობას

$$\int_0^{2\pi} f(\varphi) \operatorname{ctg} \frac{\varphi - \varphi_0}{2} d\varphi \int_0^{2\pi} \varphi(\sigma) \operatorname{ctg} \frac{\sigma - \varphi}{2} d\sigma = -4\pi^2 f(\varphi_0) \varphi(\varphi_0) \\ + \int_0^{2\pi} \varphi(\sigma) d\sigma \int_0^{2\pi} \operatorname{ctg} \frac{\varphi - \varphi_0}{2} \operatorname{ctg} \frac{\sigma - \varphi}{2} f(\varphi) d\varphi.$$

საქართველოს სსრ მეცნიერებათა აკადემია

ა. რაზმაძის სახელობის თბილისის მათემატიკის  
ინსტიტუტი

(რედაქციის მოუვიდა 28.4.1947)

დამოწმებული ლიტერატურა

1. L. Tonelli. Una proprietà delle funzioni integrabili. Atti Accad. naz. Lincei (5), 8, 1927.
2. M. Riesz. Sur fonctions conjuguées, Math. Zeitschr. B. 27, 1927.
3. Н. И. Мухелишвили. Сингулярные интегральные уравнения, М.-Л., 1946.
4. А. Зигмунд. Тригонометрические ряды, М.-Л., 1939.
5. И. И. Привалов. Граничные свойства однозначных аналит. функций, Москва, 1941.

## დრეკადლობის თეორია

ბ. რუხაძე

## დაბრუნების ძალის განივი ძალით ღუნვის ამოცანა

(წარმოადგინა აკადემიკოსმა ნ. მუსხელიშვილმა 7.5.1947)

დრეკადლობის კლასიკურ თეორიაში, როგორც ცნობილია, ადგილი აქვს ცალკეული დეფორმაციების სუპერპოზიციის კანონს; ამ მიზეზით კლასიკურ დრეკადლობის თეორიას არ შეუძლია აღრიცხოს სხვადასხვა დეფორმაციის ურთიერთგავლენა. ცდები კი [1] გვიჩვენებს, რომ სხვადასხვა დეფორმაციის ასეთი ურთიერთგავლენა არსებობს და განსაკუთრებით მაშინ, როდესაც დეფორმაცია არ არის ძალიან მცირე.

თუ ვისარგებლებთ არაწრფივი დრეკადობის თეორიის ძირითადი მეთოდებით, რომელნიც მოცემულია მერნახანის [2], ზვოლინსკისა და რიზის [3] შრომებში, შესაძლებელი ხდება შესწავლა სხვადასხვა დეფორმაციით გამოწვეული ურთიერთგავლენისა. შრომებში [4, 5, 6, 7, 8] შესწავლილია ქმედება, რომელსაც იწვევს დაჭიმული ძელის წყვილძალით გრება, წყვილძალით ღუნვა და განივი ძალით ღუნვა, აგრეთვე დაგრებილ ძელის წყვილძალით ღუნვა და წყვილძალითა და განივი ძალით ძელის ღუნვის ურთიერთგავლენა.

წინამდებარე შრომაში ჩვენ შევისწავლით იმ ქმედებას, რომელსაც იწვევს დაგრებილი ძელის განივი ძალით ღუნვა.

ვთქვათ, გვაქვს პრიზმატული ძელი, რომლის ერთი ფუძე დამაგრებულია. კოორდინატთა სათავე მოვათავსოთ დამაგრებული ფუძის ინერციის ცენტრში,  $O_x$  ღერძი მიემართოს ძელის გვერდითი ზედაპირის მსახველის პარალელურად, ხოლო  $O_z$  და  $O_y$  ღერძებად მივიღოთ აღნიშნული ფუძის ინერციის მთავარი ღერძები. ვიგულისხმობთ, რომ ძელის გვერდითი ზედაპირი თავისუფალია გარე ძალებისაგან, ხოლო ძალები, რომელნიც მოქმედებენ თავისუფალ  $z=1$  ზედაპირზე, სტატიკურად ტოლფასია  $W$  ძალისა, რომელიც მოდებულია აღნიშნული ფუძის ინერციის ცენტრზე და პარალელურია  $O_x$  ღერძისა და მგრებავი წყვილძალისა, რომლის მომენტი  $M$  მიჰყვება  $O_x$  ღერძს.

აღნიშნოთ  $\xi$ ,  $\eta$  და  $\zeta$ -ით ძელის რაიმე წერტილის კოორდინატები დეფორმაციამდე, ხოლო  $x$ ,  $y$  და  $z$ -ით იმავე წერტილის კოორდინატები დეფორმაციის შემდეგ.

ჩვენ დაგვიჩირდება არაწრფივი დრეკადობის თეორიის ზოგიერთი ფორმულა, რომლებსაც აქვე მოვიყვანთ.

სასრული დეფორმაციის კომპონენტები  $x$ ,  $y$  და  $z$  კოორდინატებში ასეთია:

$$\begin{aligned} \varepsilon_{11} &= \frac{\partial u}{\partial x} - \frac{1}{2} \left[ \left( \frac{\partial u}{\partial x} \right)^2 + \left( \frac{\partial v}{\partial x} \right)^2 + \left( \frac{\partial w}{\partial x} \right)^2 \right], \dots \\ 2\varepsilon_{12} &= \frac{\partial u}{\partial y} + \frac{\partial v}{\partial x} - \left[ \frac{\partial u}{\partial x} \frac{\partial u}{\partial y} + \frac{\partial v}{\partial x} \frac{\partial v}{\partial y} + \frac{\partial w}{\partial x} \frac{\partial w}{\partial y} \right], \dots \end{aligned} \quad (1)$$

ხოლო დამოკიდებულება დეფორმაციის კომპონენტებსა და ძაბვის კომპონენტებს შორის არის:

$$\begin{aligned} \tau_{11} &= (\lambda + 2\mu) \varepsilon_{11} + \lambda (\varepsilon_{22} + \varepsilon_{33}) + \frac{3}{2} (\lambda + 2\mu) \varepsilon_{11}^2 + \frac{\lambda}{2} (\varepsilon_{22}^2 + \varepsilon_{33}^2) \\ &\quad - (\lambda + 2\mu) (\varepsilon_{11}\varepsilon_{22} + \varepsilon_{11}\varepsilon_{33}) - 2\lambda \varepsilon_{22} \varepsilon_{33} + (3\lambda + 5\mu) (\varepsilon_{12}^2 + \varepsilon_{13}^2) + 3\lambda \varepsilon_{23}^2, \dots \\ \tau_{12} &= 2\mu \varepsilon_{12} + (\lambda + 3\mu) (\varepsilon_{11}\varepsilon_{12} + \varepsilon_{22}\varepsilon_{12}) + (\lambda - 2\mu) \varepsilon_{12}\varepsilon_{33} + 5\mu \varepsilon_{12}\varepsilon_{23}, \dots \end{aligned} \quad (2)$$

(1) ფორმულები მიღებული იყო ფაილონის მიერ, ხოლო (2) ფორმულები მოცემული იყო მერნახანის მიერ; უქანასკნელ ფორმულებში შემავალი მუდმივები განსაზღვრულია ზვოლინსკისა და რიზის ჰიპოთეზის მიხედვით.

ამ პირობებში ჩვენ მიერ ზემოთ დასმული საკითხი შემდეგ ამოცანად გადადის: საძიებელია ძაბვის მდგენელები  $\tau_{11}$ ,  $\tau_{22}$ , ...,  $\tau_{23}$ , რომელნიც ძელის მიერ დაკავებულ  $S$  არეში აკმაყოფილებენ წონასწორობის ერთგვართვან განტოლებებს

$$\frac{\partial \tau_{11}}{\partial x} + \frac{\partial \tau_{12}}{\partial y} + \frac{\partial \tau_{13}}{\partial z} = 0, \dots \quad (3)$$

ჰუკის არაწრთვ კანონს (2) და აგრეთვე გვერდითს ზედაპირზე სისაზღვრო პირობებს

$$\tau_{11} \cos nx + \tau_{12} \cos ny + \tau_{13} \cos nz = 0, \dots \quad (4)$$

სადაც  $\cos nx$ ,  $\cos ny$  და  $\cos nz$  არის დეფორმირებული ზედაპირის ნორმალის მიმართულების კოსინუსები.

ამ ამოცანის ამოხსნას გადაადგილების ვექტორის მდგენელებში ჩვენ ვეძებთ შემდეგი სახით:

$$\begin{aligned} u &= \tau \xi + \nu \left[ \frac{1}{2} \sigma (l - \zeta) (\xi^2 - \eta^2) + \frac{1}{2} l \zeta^2 - \frac{1}{6} \zeta^3 \right] + \tau \nu \cdot u_1, \\ v &= \tau \xi \zeta + \nu \sigma (l - \zeta) \xi \eta + \tau \nu \cdot v_1, \\ w &= \tau \cdot \varphi(\xi, \eta) - \nu \left[ \left( R_0 - \frac{1}{2} \zeta^2 \right) \xi + \chi(\xi, \eta) + \xi \eta^2 \right] + \tau \nu \cdot w_1, \end{aligned} \quad (5)$$

სადაც  $\tau = \frac{M}{D}$  მუდმივია (გრების ხარისხი),  $\nu = \frac{W}{IE}$  აგრეთვე მუდმივია ( $I$  კვეთის ინერციის მომენტი  $O\eta$  ღერძის პარალელური ღერძის მიმართ,  $D$  სიხისტეა, ხოლო  $E$ —იუნგის მოდული),  $\varphi(\xi, \eta)$  და  $\chi(\xi, \eta)$  გრებისა და ღუნვის

ფუნქციებია, ხოლო  $u_1$ ,  $v_1$  და  $w_1$  — დამატებითი გადაადგილებები. რომელნიც გამოსახვენ აღნიშნული დეფორმაციების საჩიბებელ ურთიერთგავლენას.

თუ ვისარგებლებთ წარმოებულთა გარდაქმნის შემდეგი ფორმულებით:

$$\frac{\partial}{\partial x} = \left( 1 - \frac{\partial u}{\partial \xi} \right) \frac{\partial}{\partial \xi} - \frac{\partial v}{\partial \xi} \frac{\partial}{\partial \eta} - \frac{\partial w}{\partial \xi} \frac{\partial}{\partial \zeta} + \dots \quad (6)$$

მაშინ (2) ფორმულებიდან გვექნება:

$$\begin{aligned} \tau_{11} &= \tau \nu \left\{ -\frac{\lambda + \mu}{2} \varphi' \xi' \xi - \frac{\lambda}{2} \varphi' \eta \chi' \eta + \frac{\lambda}{2} \xi \chi' \eta - \frac{\lambda - \mu}{2} \eta \chi' \xi + \left[ \frac{1}{4} \sigma (\lambda - \mu) (\xi^2 \right. \right. \\ &- \eta^2) - \frac{\lambda + \mu}{2} \eta^3 \left. \right] \varphi' \xi - \frac{\lambda}{2} \eta^2 \zeta - \lambda \left( \zeta - \frac{1}{2} \zeta^2 \right) \varphi' \xi + \frac{\lambda}{2} (\sigma - 2) \xi \eta \varphi' \eta - 2\mu \left( \zeta \right. \\ &- \frac{1}{2} \zeta^2 \left. \right) \eta - \lambda (\sigma - 1) \xi^2 \eta - \frac{\lambda - \mu}{2} \eta^3 + \frac{1}{2} \lambda \eta^3 + \frac{3\lambda + 5\mu}{4} \sigma (\xi^2 - \eta^2) + \tau'_{11} \left. \right\}, \\ \tau_{22} &= \tau \nu \left\{ -\frac{\lambda}{2} \varphi' \xi' \xi - \frac{\lambda + \mu}{2} \varphi' \eta \chi' \eta + \frac{\lambda - \mu}{2} \xi \chi' \eta - \frac{\lambda}{2} \eta \chi' \xi + \left[ \frac{1}{4} \lambda \sigma (\xi^2 - \eta^2) \right. \right. \\ &- \frac{1}{2} \lambda \eta^2 \left. \right] \varphi' \xi - \lambda \left( \zeta - \frac{1}{2} \zeta^2 \right) \varphi' \xi - \left( \mu + \frac{3\lambda + 5\mu}{2} \sigma \right) \xi \eta \varphi' \eta - \frac{\lambda}{2} \eta^2 \zeta \\ &+ \left( \frac{1}{2} \lambda - \mu - \frac{3}{2} \mu \sigma \right) \xi^2 \eta + \frac{\sigma - 1}{2} \lambda \eta^3 + \frac{3}{4} \lambda \sigma (\xi^2 - \eta^2) \eta + \tau'_{22} \left. \right\}, \\ \tau_{33} &= -\nu E(l - \zeta) \xi + \tau \nu \left\{ -\frac{\lambda + 5\mu}{2} (\varphi' \xi' \xi + \varphi' \eta \chi' \eta) + \frac{\lambda - \mu}{2} (\xi \chi' \eta - \eta \chi' \xi) \right. \\ &- (\lambda + 2\mu) \left( \zeta - \frac{1}{2} \zeta^2 \right) \varphi' \xi - \frac{1}{2} \lambda \zeta^2 + \left[ \frac{\lambda - 4\mu \sigma}{8} (\xi^2 - \eta^2) - \frac{\lambda + 5\mu}{2} \eta^2 \right] \varphi' \xi \\ &- \left( \frac{3}{4} \lambda + \mu \sigma + \sigma \eta \right) \xi \eta \varphi' \eta - 2\mu \sigma (l - \zeta) \eta \zeta + \left( \frac{7}{8} \lambda - \mu \right) \xi^2 \eta - \left( \frac{5}{8} \lambda - \frac{\mu}{2} \right) \eta^3 + \tau'_{33} \left. \right\}, \\ \tau_{12} &= \mu \tau \nu \left\{ -\frac{1}{4} (\varphi' \xi \chi' \eta + \varphi' \eta \chi' \xi) - \frac{\sigma + 2}{4} \xi \eta \varphi' \xi - \left[ \frac{1}{8} \sigma (\xi^2 - \eta^2) + \frac{1}{4} \eta^2 \right] \varphi' \eta \right. \\ &+ \frac{1}{4} (\eta \varphi' \eta - \xi \varphi' \xi) + \left( \zeta - \frac{1}{2} \zeta^2 \right) \xi + \frac{1 + 5\sigma}{4} \xi \eta^2 - \frac{5}{8} \sigma (\xi^2 - \eta^2) \xi + \frac{1}{\mu} \tau'_{12} \left. \right\}, \\ \tau_{13} &= \mu \tau (\varphi' \xi - \eta) - \mu \nu \left[ \chi' \xi + \frac{1}{2} \sigma (\xi^2 - \eta^2) + \eta^2 \right] + \tau \nu \mu \left\{ \zeta \chi' \eta + \frac{1 - 3\sigma}{2} (l - \zeta) \xi \varphi' \xi \right. \\ &- \sigma (l - \zeta) \eta \chi' \eta + \frac{1 + \sigma}{2} \xi \eta (l - \zeta) + 2\xi \eta^2 \zeta + \frac{1}{\mu} \tau'_{13} \left. \right\}, \\ \tau_{23} &= \mu \tau (\varphi' \eta + \xi) - \mu \nu [\chi' \eta + (\sigma + 2) \xi \eta] + \tau \nu \mu \left\{ -\zeta \chi' \xi + \frac{1 - 3\sigma}{2} (l - \zeta) \xi \varphi' \eta \right. \\ &+ \sigma (l - \zeta) \eta \varphi' \eta - \frac{1 + 5\sigma}{2} (l - \zeta) \xi^2 - \eta^2 \zeta - \left( \zeta - \frac{1}{2} \zeta^2 \right) \xi + \frac{1}{\mu} \tau'_{23} \left. \right\}, \end{aligned}$$

სადაც  $\tau'_{11}$ ,  $\tau'_{21}$ , ...,  $\tau'_{23}$  წარმოადგენენ ძაბვის კომპონენტებს, რომელნიც შეესაბამებიან დეფორმაციის საძიებელ  $u_1$ ,  $v_1$  და  $w_1$  მდგენელებს.

დრეკადი სხეულის წონასწორობის (3) განტოლებანი, (6) და (7) ფორმულების ძალით, მიიღებენ სახეს:

$$\begin{aligned} & \frac{\partial \tau'_{11}}{\partial \xi} + \frac{\partial \tau'_{12}}{\partial \eta} + \frac{\partial \tau'_{13}}{\partial \zeta} - (\lambda + \mu) \left( l\zeta - \frac{1}{2} \zeta^2 \right) \varphi''_{\xi\xi} - \frac{\partial U}{\partial \xi} + \frac{\sigma+2}{2} \mu \varphi = 0, \\ & \frac{\partial \tau'_{21}}{\partial \xi} + \frac{\partial \tau'_{22}}{\partial \eta} + \frac{\partial \tau'_{23}}{\partial \zeta} - (\lambda + \mu) \left( l\zeta - \frac{1}{2} \zeta^2 \right) \varphi''_{\xi\eta} - \frac{\partial U}{\partial \eta} - \frac{1}{2} \lambda \zeta^2 \\ & - \mu \left( 2l\zeta - \frac{3}{2} \zeta^2 \right) - \frac{2+3\sigma}{4} \mu \xi^2 = 0, \\ & \frac{\partial \tau'_{31}}{\partial \xi} + \frac{\partial \tau'_{32}}{\partial \eta} + \frac{\partial \tau'_{33}}{\partial \zeta} - \frac{2\lambda+3\mu+\mu\sigma}{2} (l-\zeta) \varphi'_{\xi} - \lambda\eta\zeta + \frac{\sigma-3}{2} \mu (l-\zeta) \eta = 0, \end{aligned} \quad (8)$$

სადაც

$$\begin{aligned} U = & \frac{7\lambda+16\mu+5\mu\sigma}{8} \xi^2 \eta - \frac{15\lambda+22\mu-9\mu\sigma}{24} \eta^3 + \frac{2\lambda+3\mu}{4} (\xi\chi'\eta - \eta\chi'\xi) \\ & + \left( \frac{\lambda+\mu\sigma}{8} \xi^2 - \frac{5\lambda+2\mu+\mu\sigma}{8} \eta^2 \right) \varphi'_{\xi} - \frac{3\lambda+2\mu-\mu\sigma}{4} \xi\eta\varphi'_{\eta} - \mu\xi\varphi \\ & + \frac{\mu\sigma}{2} \int_{\xi}^{\xi} (\eta\varphi'_{\eta} - \varphi) d\xi + \frac{1}{2} \mu \int_{\xi}^{\xi} \chi'\eta d\xi - \frac{2\lambda+\mu}{4} \int_{\xi}^{\xi} (\chi'\xi\varphi'_{\xi} + \chi'\eta\varphi \\ & + \varphi'_{\xi}\chi''_{\xi\xi} + \varphi'_{\eta}\chi'_{\xi\eta}) d\xi. \end{aligned}$$

სასაზღვრო (4) პირობები, თუ მივიღებთ მხედველობაში ფორმულებს

$$\begin{aligned} \cos \widehat{nx} &= \cos \widehat{n\xi} - [\tau\zeta + \nu\sigma(l-\zeta)\eta] \cos \widehat{n\eta}, \\ \cos \widehat{ny} &= \cos \widehat{n\eta} + [\tau\zeta + \nu\sigma(l-\zeta)\eta] \cos \widehat{n\xi}, \\ \cos \widehat{n\zeta} &= \left[ \tau\eta + \frac{\nu}{2} \sigma (\xi^2 - \eta^2) - \nu \left( l\zeta - \frac{1}{2} \zeta^2 \right) \right] \cos \widehat{n\xi} - (\tau\xi - \nu\sigma\xi\eta) \cos \widehat{n\eta}, \end{aligned} \quad (9)$$

რომელნიც გამოსახვენ  $\tau$  და  $\nu$  სიზუსტით დამოკიდებულებას დეფორმირებული და არადეფორმირებული ზედაპირების ნორმალთა მიმართულების კოსინუსებს შორის, მიიღებენ სახეს:

$$\begin{aligned} & \tau'_{11} \cos \widehat{n\xi} + \tau'_{12} \cos \widehat{n\eta} - \left[ (\lambda + \mu) \left( l\zeta - \frac{1}{2} \zeta^2 \right) \varphi'_{\xi} + \mu \left( l\zeta - \frac{1}{2} \zeta^2 \right) \eta \right. \\ & \left. + \frac{1}{2} \lambda \eta \zeta^2 \right] \cos \widehat{n\xi} + \mu \left( l\zeta - \frac{1}{2} \zeta^2 \right) \xi \cos \widehat{n\eta} + \left\{ -\frac{\lambda+\mu}{2} \varphi'_{\xi}\chi'_{\xi} - \frac{\lambda}{2} \varphi'_{\eta}\chi'_{\eta} \right. \\ & \left. + \frac{1}{2} \xi\chi'_{\eta} + \frac{\lambda}{2} (\sigma-2) \xi\eta\varphi'_{\eta} + \frac{\lambda+\mu}{2} \left[ \frac{1}{2} \sigma (\xi^2 - \eta^2) - \eta^2 \right] \varphi'_{\xi} - \frac{\lambda+\mu}{2} \eta\chi'_{\xi} \right. \\ & \left. + \frac{7\lambda+4\mu\sigma}{8} \xi^2 \eta - \frac{5\lambda+4\mu}{8} \eta^3 \right\} \cos \widehat{n\xi} + \left\{ -\frac{\mu}{4} (\varphi'_{\xi}\chi'_{\eta} + \chi'_{\xi}\varphi'_{\eta}) + \frac{3\sigma-2}{4} \mu\xi\eta\varphi' \right. \end{aligned}$$

$$\begin{aligned}
 & + \frac{\mu}{4} \eta \chi' \eta + \frac{3}{4} \mu \xi \chi' \xi - \frac{\mu}{4} \left[ \frac{1}{2} \sigma (\xi^2 - \eta^2) + \eta^2 \right] \varphi' \eta + \frac{5 + \sigma}{4} \mu \xi \eta^2 \\
 & - \frac{\mu \sigma}{8} (\xi^2 - \eta^2) \xi \} \cos n\eta = 0,
 \end{aligned} \tag{10}$$

$$\begin{aligned}
 & \tau'_{21} \cos n\zeta + \tau'_{22} \cos n\eta - \mu \left( \kappa_\zeta - \frac{1}{2} \zeta^2 \right) \varphi' \eta \cos n\zeta - \left[ \lambda \left( l \zeta - \frac{1}{2} \zeta^2 \right) \varphi' \xi \right. \\
 & + \left. \frac{1}{2} \lambda \eta \xi^2 \right] \cos n\eta + \left\{ -\frac{\mu}{4} (\varphi' \xi \chi' \eta + \chi' \xi \varphi' \eta) - \frac{\sigma + 2}{4} \mu \xi \eta \varphi' \xi + \frac{\mu}{4} \left[ \frac{3}{2} \sigma (\xi^2 - \eta^2) \right. \right. \\
 & - \left. \left. \eta^2 \right] \varphi' \eta - \frac{3}{4} \mu \eta \chi' \eta - \frac{\mu}{4} \xi \chi' \xi - \frac{\mu \sigma}{8} \xi^3 - \frac{3\sigma - 14}{8} \mu \xi \eta^2 \right\} \cos n\zeta + \left\{ \frac{\lambda + \mu}{2} \xi \chi' \eta \right. \\
 & - \frac{\lambda}{2} \varphi' \chi' \xi - \frac{\lambda + \mu}{2} \varphi' \eta \chi' \eta - \frac{\lambda}{2} \eta \chi' \xi + \frac{\lambda}{2} \left[ \frac{1}{2} \sigma (\xi^2 - \eta^2) - \eta^2 \right] \varphi' \xi - \frac{3\lambda + 4\mu}{4} \xi \eta \varphi' \eta \\
 & \left. + \frac{7\lambda + 8\mu - 2\mu \sigma}{8} \xi^2 \eta - \frac{\sigma + 2}{3} \lambda \eta^3 \right\} \cos n\eta = 0,
 \end{aligned}$$

$$\begin{aligned}
 & \tau'_{31} \cos n\zeta + \tau'_{32} \cos n\eta + \left[ -\mu \left( \kappa_\zeta - \frac{1}{2} \zeta^2 \right) \zeta + \mu (1 + \sigma) (l - \zeta) \xi^2 + \mu \sigma (l - \zeta) \eta^2 \right. \\
 & \left. + \frac{\mu \sigma}{2} (\xi^2 - \eta^2) \zeta \right] \cos n\eta - [\mu (1 + \sigma) \xi \eta + \mu \sigma \xi^2] \cos n\zeta = 0.
 \end{aligned}$$

ამ ამოცანის შესაბამისი თავსებადობის პირობები იქნება:

$$\begin{aligned}
 & \Delta \tau'_{11} + \frac{1}{1 + \sigma} \frac{\partial^2 T'}{\partial \xi^2} + \frac{\sigma}{1 - \sigma} \left[ \Delta U + \frac{2\lambda + 5\mu + 2\mu \sigma}{2} \varphi' \xi - \frac{2\lambda + \mu \sigma - 3\mu}{2} \eta \right] \\
 & + 2 \frac{\partial^2 U}{\partial \xi^2} + (\sigma + 2) \mu \varphi' \xi - 2(\lambda + \mu) \left( \kappa_\zeta - \frac{1}{2} \zeta^2 \right) \varphi''_{\xi\zeta} = 0, \\
 & \Delta \tau'_{22} + \frac{1}{1 + \sigma} \frac{\partial^2 T'}{\partial \eta^2} + \frac{\sigma}{1 - \sigma} \left[ \Delta U + \frac{2\lambda + 5\mu + 2\mu \sigma}{2} \varphi' \xi - \frac{2\lambda - 3\mu + \mu \sigma}{2} \eta \right] \\
 & + 2 \frac{\partial^2 U}{\partial \eta^2} - 2(\lambda + \mu) \left( \kappa_\zeta - \frac{1}{2} \zeta^2 \right) \varphi''_{\eta\zeta} = 0, \\
 & \Delta \tau'_{33} + \frac{1}{1 + \sigma} \frac{\partial^2 T'}{\partial \zeta^2} + \frac{\sigma}{1 - \sigma} \left[ \Delta U + \frac{2\lambda + 5\mu + 2\mu \sigma}{2} \varphi' \xi - \frac{2\lambda - 3\mu + \mu \sigma}{2} \eta \right] \\
 & + (2\lambda + 3\mu + \mu \sigma) \varphi' \xi - (2\lambda + \mu \sigma - 3\mu) \eta = 0, \\
 & \Delta \tau'_{12} + \frac{1}{1 + \sigma} \frac{\partial^2 T'}{\partial \xi \partial \eta} - 2(\lambda + \mu) \left( \kappa_\zeta - \frac{1}{2} \zeta^2 \right) \varphi''_{\xi\eta} + 2 \frac{\partial^2 U}{\partial \xi \partial \eta} \\
 & + \frac{\sigma + 2}{2} \mu \varphi' \eta + \frac{2 + 3\sigma}{2} \mu \xi = 0,
 \end{aligned} \tag{11}$$

$$\Delta \tau'_{13} + \frac{1}{1 + \sigma} \frac{\partial^2 T'}{\partial \xi \partial \zeta} - \frac{4\lambda + 5\mu + \mu \sigma}{2} (l - \zeta) \varphi''_{\xi\zeta} = 0,$$

$$\Delta \tau'_{23} + \frac{1}{1 + \sigma} \frac{\partial^2 T'}{\partial \eta \partial \zeta} - \frac{4\lambda + 5\mu + \mu \sigma}{2} (l - \zeta) \varphi''_{\eta\zeta} - (2\lambda - \mu) \zeta + \frac{\sigma - 7}{2} \mu (l - \zeta) = 0.$$

4359

დამატებითი  $\tau'_{11}$ ,  $\tau'_{22}$ , ...,  $\tau'_{33}$  ძაბვების განსასაზღვრელად მივიღოთ:

$$\begin{aligned} \tau'_{11} &= (\lambda + 2\mu) \left( \zeta - \frac{1}{2} \zeta^2 \right) \varphi'_{\xi} + \frac{1}{2} \lambda \eta \zeta^2 - U + \frac{\partial^2 \Phi}{\partial \eta^2} - (\rho f + q \psi + \omega) \\ &\quad - \frac{\sigma \mu}{2} \int_{\xi}^{\xi} \varphi d\xi - \rho \left( \frac{\sigma}{1+\sigma} \xi \eta^2 - \frac{1}{3} \xi^3 \right), \\ \tau'_{22} &= \lambda \left( l \zeta - \frac{1}{2} \zeta^2 \right) \varphi'_{\xi} + \frac{1}{2} \lambda \eta \zeta^2 - U + \frac{\partial^2 \Phi}{\partial \sigma^2} \\ &\quad - (\rho f + q \psi + \omega) - q \left( \frac{\sigma}{1+\sigma} \xi^2 \eta - \frac{1}{3} \eta^3 \right), \\ \tau'_{33} &= \lambda \left( l \zeta - \frac{1}{2} \zeta^2 \right) \varphi'_{\xi} + \frac{1}{2} \lambda \eta \zeta^2 + \mu \eta \zeta^2 - 2\sigma U + \sigma \Delta \Phi + 2(\rho f + q \psi + \omega) \\ &\quad - \frac{\sigma^2 \mu}{2} \int_{\xi}^{\xi} \varphi d\xi + \rho \left( \frac{\sigma}{1+\sigma} \xi \eta^2 - \frac{1}{3} \xi^3 \right) + q \left( \frac{\sigma}{1+\sigma} \xi^2 \eta - \frac{1}{3} \eta^3 \right) \\ &\quad + \rho \left( \xi \zeta^2 - \frac{1}{3} \xi^3 \right) + q \left( \eta \zeta^2 - \frac{1}{3} \eta^3 \right), \\ \tau'_{12} &= \mu \left( \zeta - \frac{1}{2} \zeta^2 \right) \varphi'_{\eta} + \frac{2+3\sigma}{12} \mu \xi^2 - \frac{\partial^2 \Phi}{\partial \xi \partial \eta}, \\ \tau'_{13} &= \mu (l - \zeta) \varphi - (l - \zeta) \omega'_{\xi} + \zeta \left[ \rho f'_{\xi} + q \psi'_{\xi} + \rho \left( \frac{\sigma}{1+\sigma} \eta^2 - \xi^2 \right) \right] + \frac{\partial \Psi}{\partial \xi}, \\ \tau'_{23} &= \mu \left( l \zeta - \frac{1}{2} \zeta^2 \right) \zeta - (l - \zeta) \omega'_{\eta} + \zeta \left[ \rho f'_{\eta} + q \psi'_{\eta} + q \left( \frac{\sigma}{1+\sigma} \xi^2 - \eta^2 \right) \right] + \frac{\partial \Psi}{\partial \eta}, \end{aligned} \quad (12)$$

სადაც  $\rho$  და  $q$  მულტიპლიკატორები.

ადვილად დაკრწმუნდებით, რომ ძაბვის (12) კომპონენტები აკმაყოფილებენ წონასწორობის (8) განტოლებებს, თავსებადობის (11) პირობებს და აგრეთვე სისაზღვრო (10) პირობებს, თუ  $f$ ,  $\psi$ ,  $\omega$ ,  $\Psi$  და  $\Phi$  ფუნქციები განსაზღვრულია შემდეგი პირობებით:

$$\begin{aligned} \Delta f &= 0, & \Delta \psi &= 0, & \Delta \Psi + 2\mu \eta &= 0, \\ \Delta \omega + \frac{1+\sigma}{2} \mu \varphi'_{\xi} + \frac{7-\sigma}{2} \mu \eta &= 0, \\ \Delta \Delta \Phi + \frac{1-2\sigma}{2(1-\sigma)} \mu \varphi'_{\xi} - \frac{1-2\sigma}{1-\sigma} \Delta U + \frac{7-\sigma}{2(1-\sigma)} \mu \eta &= 0 \quad S \text{ არეში;} \\ \frac{df}{dn} &= - \left( \frac{\sigma}{1+\sigma} \eta^2 - \xi^2 \right) \cos \widehat{n\xi}, & \frac{d\psi}{dn} &= - \left( \frac{\sigma}{1+\sigma} \xi^2 - \eta^2 \right) \cos \widehat{n\eta}, \\ \frac{d\Psi}{dn} &= \mu \alpha l \left[ \xi \eta \cos \widehat{n\xi} - \frac{1}{2} (\xi^2 - \eta^2) \cos \widehat{n\eta} \right], \\ \frac{d\omega}{dn} &= \mu \left[ \varphi + (\sigma - 1) \xi \eta \right] \cos \widehat{n\xi} + \left[ \frac{1}{2} E \xi^2 + \mu \sigma \eta^2 - \frac{\sigma}{2} \mu (\xi^2 - \eta^2) \right] \cos \widehat{n\eta}, \end{aligned} \quad (13)$$

$$\begin{aligned}
 \frac{\partial \Phi}{\partial \xi} = & \int \left\{ \left[ -\frac{\mu}{4} (\varphi' \epsilon \chi' \eta + \varphi' \eta \chi' \epsilon) - \frac{\sigma+2}{4} \mu \xi \eta \varphi' \epsilon + \frac{\mu}{4} \left[ \frac{3}{2} \sigma (\xi^2 - \eta^2) - \eta^2 \right] \varphi' \eta \right. \right. \\
 & - \frac{3}{4} \mu \eta \chi' \eta - \frac{\mu}{4} \xi \chi' \epsilon + \frac{3\sigma-14}{8} \mu \xi \eta^2 + \frac{3\sigma+4}{24} \mu \xi^3 \left. \right] \cos n \widehat{\xi} + \left[ \frac{\lambda+\mu}{2} \xi \chi' \eta - \frac{\lambda}{2} \varphi' \epsilon \chi' \epsilon \right. \\
 & - \frac{\lambda+\mu}{2} \varphi' \eta \chi' \eta - \frac{\lambda}{2} \eta \chi' \epsilon - \frac{3\lambda+4\mu}{4} \xi \eta \varphi' \eta + \frac{\lambda}{2} \left[ \frac{1}{2} \sigma (\xi^2 - \eta^2) - \eta^2 \right] \varphi' \epsilon \\
 & + \frac{7\lambda+8\mu-24\mu\sigma}{8} \xi^2 \eta - \frac{\sigma+2}{4} \lambda \eta^3 - U - (\rho f + q \phi + \omega) \\
 & \left. \left. - q \left( \frac{\sigma}{1+\sigma} \xi^3 \eta - \frac{1}{3} \eta^3 \right) \right] \cos n \widehat{\eta} \right\} ds, \\
 \frac{\partial \Phi}{\partial \eta} = & - \int \left\{ \left[ -\frac{\lambda+\mu}{2} \varphi' \epsilon \chi' \epsilon - \frac{\lambda}{2} \varphi' \eta \chi' \eta + \frac{\lambda}{2} \xi \chi' \eta + \frac{\lambda}{2} (\sigma-2) \xi \eta \varphi' \eta \right. \right. \\
 & + \frac{\lambda+\mu}{2} \left[ \frac{1}{2} \sigma (\xi^2 - \eta^2) - \eta^2 \right] \varphi' \epsilon - \frac{\lambda+\mu}{2} \eta \chi' \epsilon + \frac{7\lambda+4\mu\sigma}{8} \xi^3 \eta - \frac{5\lambda+4\mu}{8} \eta^3 - U \\
 & - (\rho f + q \phi + \omega) - \frac{\sigma\mu}{2} \int \varphi d\xi - p \left( -\frac{\sigma}{1+\sigma} \xi \eta^2 - \frac{1}{3} \xi^3 \right) \left. \right] \cos n \widehat{\xi} \\
 & + \left[ -\frac{\mu}{4} (\varphi' \epsilon \chi' \eta + \chi' \epsilon \varphi' \eta) + \frac{3\sigma-2}{4} \mu \xi \eta \varphi' \epsilon + \frac{\mu}{4} \eta \chi' \eta + \frac{3}{4} \mu \xi \chi' \epsilon - \frac{\mu}{4} \left[ \frac{1}{2} \sigma (\xi^2 - \eta^2) \right. \right. \\
 & \left. \left. + \eta^2 \right] \varphi' \eta + \frac{5+\sigma}{4} \mu \xi \eta - \frac{\mu\sigma}{8} (\xi^2 - \eta^2) \xi + \frac{2+3\sigma}{12} \mu \xi^3 \right] \cos n \widehat{\xi} \left. \right\} ds^2,
 \end{aligned} \tag{14}$$

$L$  კონტურზე, სადაც  $L$  არის  $S$ -ის საზღვარი.

თუ მივიღებთ მხედველობაში (12) ფორმულებს, მაშინ  $\zeta=l$  ზედაპირზე (7) ძაბვები საზოგადოდ არ დააკმაყოფილებენ საჭირო პირობებს:

$$X=W, \quad Y=Z=M_x=M_y=0, \quad M_x=M,$$

სადაც  $X, Y, Z, M_x, M_y, M_z$  ძაბვების მთავარი ვექტორისა და მთავარი მომენტის კომპონენტებია აღნიშნულ ზედაპირზე.

ახლა, რომ დავეკმაყოფილოთ ეს პირობებიც, საჭიროა ჩვენ მიერ მიღებულ ამონახსნს დავემატოთ სენ-ვენანის გარკვეული წრფივი ამოცანის ამოხსნა, რომელიც განეიტრალებს აღნიშნულ ზედაპირზე ზედმეტ ძაბვებს.

კერძოდ, როცა  $S$  წრიული არეა, ჩვენ გვაქვს:

$$\varphi(\xi, \eta) = 0, \quad \chi(\xi, \eta) = -\frac{3+2\sigma}{4} R^2 \xi + \frac{1}{4} (\xi^3 - 3\xi \eta^2),$$

<sup>14</sup>  $p$  და  $q$  მუდმივები განისაზღვრებიან პირობით, რომ  $\frac{\partial \Phi}{\partial \xi}$  და  $\frac{\partial \Phi}{\partial \eta}$  წარმოებულები ეკლასა ნუსის  $L$  კონტურზე ავლის დროს.



$$f = \frac{2\sigma+3}{4(1+\sigma)} R^2 \xi + \frac{2\sigma+1}{4(1+\sigma)} (\xi^3 - 3\xi\eta^2),$$

$$\psi = \frac{2\sigma+3}{4(1+\sigma)} R^2 \eta + \frac{2\sigma+1}{4(1+\sigma)} (\eta^3 - 3\xi^2\eta),$$

$$W = \frac{2\sigma+3}{4} \mu R^2 \eta - \frac{1}{4} \mu l (\xi^2 + \eta^2) \eta, \quad \omega = \frac{2l}{16} (1+\sigma) \mu R^2 \eta + \frac{\sigma-7}{16} \mu (\xi^2 + \eta^2) \eta.$$

$$q = -\frac{58\sigma+49}{16} \mu, \quad p = 0.$$

$$\frac{\partial^2 \Phi}{\partial \xi^2} = \left[ \frac{2}{R^2} (C_{-2} - C_2) - \frac{8}{R^2} C_{-4} \right] \eta + \frac{12}{R^4} (3C_{-4} - C_4) \xi^2 \eta + \frac{4}{R^4} (C_4 + C_{-4}) \eta^2,$$

$$\frac{\partial^2 \Phi}{\partial \xi \partial \eta} = \left[ \frac{2}{R^2} (C_{-3} - C_2) - \frac{8}{R^2} C_{-4} \right] \xi + \frac{12}{R^4} (C_4 + C_{-4}) \xi \eta^2 + \frac{4}{R^4} (3C_{-4} - C_4) \xi^3, \quad (15)$$

$$\frac{\partial^2 \Phi}{\partial \eta^2} = -\left[ \frac{2}{R^2} (C_{-2} - C_2) - \frac{8}{R^2} C_{-4} \right] \eta + \frac{12}{R^4} (C_4 + C_{-4}) \xi^2 \eta - \frac{4}{R^4} (5C_{-4} + C_4) \eta^3.$$

სადაც

$$C_2 = -\frac{120\sigma^2 + 298\sigma + 169}{768(1+\sigma)} R^2 \mu, \quad C_{-2} = \frac{152\sigma^2 - 10\sigma - 135}{768(1+\sigma)} \mu R^2,$$

$$C_4 = \frac{196\sigma^2 + 204\sigma + 35}{3072(1+\sigma)} \mu R^2, \quad C_{-4} = \frac{36\sigma^2 + 108\sigma + 63}{3072(1+\sigma)} \mu R^2.$$

საქართველოს სსრ მეცნიერებათა აკადემია

ა. რუხაძის სახ. თბილისის შთოქმადის  
ინსტიტუტი

(რედაქციას მოუვლიდა 7.5.1947)

#### დამოწმებული ლიტერატურა

1. W. Voigt. Ann. Phys. Chem. (Wiedemann). Bd 52, 1894, p. 536.
2. F. Murraghan. Finite deformations of elastic solid. Amer. Journ. of Math. vol. LIX, № 2, 1937, p. 235.
3. Н. Зволинский и П. Риз. О законе Гука для конечных смещений. Известия АН ССР, Отделение технических наук, № 8-9, 1938, стр. 17-20.
4. Н. Зволинский и П. Риз. Кручение растянутого призматического бруса. ДАН, т. XX, вып. 2-3, 1938, стр. 101-103.
5. И. Риз. Изгиб растянутого призматического стержня. Прикладная математика и механика, т. III, в. 3, 1939, стр. 33-44.
6. А. Рухадзе. Изгиб силой растянутого призматического стержня. Сообщения АН Гр. ССР, т. II, № 7, 1941, стр. 609-617.
7. ა. გორგოძე და ა. რუხაძე. დაგრებული ძელის წვეთობითი ღუნვის ამოცანა. საქ. სსრ მეცნიერებათა აკადემიის მოამბე, ტ. V, № 3, 1944, გვ. 253-262.
8. А. Рухадзе. Задачи взаимодействия изгиба поперечной силой на изгиб парной стержня (печатается в журнале „Прикладная математика и механика“), 1947.

კლიმატოლოგია

ა. ბალაზაშვი

პლუმბომეტრიული გრადიენტების შესახებ საქართველოს პირობებში

(წარმოადგინა აკად. ნამდვ. წევრმა ი. ვეჯუამ 6.6.1947)

1. პლუმბომეტრიული გრადიენტების, ე. ი. ადგილის სიმაღლის მიხედვით ნალექების რაოდენობის ცვლილების რიცხობრივ მნიშვნელობათა, ცოდნა განსაკუთრებულ ინტერესს წარმოადგენს მთაგორიანი ქვეყნებისათვის—როგორც იმ პროცესების მექანიზმის გასაგებად; რომლებიც განსაზღვრავენ სინესტეს, ისე აგრეთვე პრაქტიკული მიზნებისათვის: ნალექების განაწილების რუკების ასაგებად. მეტეოროლოგიურ ლიტერატურაში უხვად მოგვეპოვება ასეთი სიდიდეების მოცემის ცდები. მაგრამ ჩვეულებრივი სტატისტიკური მეთოდით მიღებულ ყველა სიდიდეს აქვს მხოლოდ ვიწრო ადგილობრივი მნიშვნელობა და არ იძლევა რაიმე საერთო დასკვნების გაკეთების შესაძლებლობას.

ამ მდგომარეობის კარგ ილუსტრაციას წარმოადგენს შემდეგი ავტორიტეტული მეოროლოგი მითითება: „ამჟამად არავითარ თეორიულ განვარაზღვრებას არ შეუძლია მოგვეცეს... ნალექების ვერტიკალური გრადიენტის სიდიდე და ეს მონაცემები შესაძლოა მიღებულ იქნეს თითოეულ ცალკე შემთხვევაში მხოლოდ უშუალო საკმაოდ ხანგრძლივი დაკვირვებებით<sup>1</sup> [1].

2. საკითხის ასეთი მცირესანუგეშო მდგომარეობა გვაიძულებს ვეძიოთ მისი გადაწყვეტა თვით მოვლენის გენეზისის შესწავლის გზით, ე. ი. გრადიენტზე რელიეფისა და იმ ატმოსფერული პროცესების ხასიათის გავლენის შესწავლის გზით, რომლებიც განაპირობებენ ნალექებს. შრომები ამ მიმართულებით, განსაკუთრებით მეორე საკითხის (ატმოსფერული პროცესების გავლენა) გადასაწყვეტად, მცირერიცხოვანია. მათ შორის ყველაზე უფრო საინტერესო პოულტერის შრომა [2] შეეხება რაიონებს სუსტად განვითარებული რელიეფითა და ატმოსფერული პროცესების განსაკუთრებული ხასიათით (ბრიტანეთის კუნძულები).

3. ავტორის მიერ ჩატარებულია პლუმბომეტრიული გრადიენტის გამოკვლევა საქართველოს ტერიტორიაზე. გამოკვლევის ძირითადი ამოცანა ატმოსფერული პროცესების ეფექტის შესწავლაში მდგომარეობდა. ამ მიზნით გამოთვლილი იყო გრადიენტები სადგურების სამი წყვილისათვის: თბილისი (ობსერვატორია—404 მ. ზღვის დონიდან)—კოჯორი (1340 მ., თბილისის დასავლ-

<sup>1</sup> ხაზგასმულია ჩვენ მიერ, ა. ბ.

თით); თბილისი (ობსერვატორია)—დუშეთი (840 მ., კავკასიონის ქედის სამხრეთ კალთებზე); დუშეთი—გუდაუთი (2204 მ., კავკასიონის ქედის მაღალ ზონაში). ისინი გამოთვლილი იყო ყოველი დოკლამური მონაცემის მიხედვით 35 თვის დაკვირვებებისათვის, რომლებიც მოიცავენ პერიოდს 1935 წლიდან 1939 წლამდე ჩათვლით. თვეები მეტ-ნაკლებად თანაბრად იყო განაწილებული ყველა სეზონის მიხედვით.

სადგურების შერჩევა, მათი რიცხვი და აღებული პერიოდების ხანგრძლიობა განპირობებული იყო სინოპტიკურ-კლიმატური და მეტეოროლოგიური რებრეზენტატივობით, დაკვირვებათა სინქრონულობით, მათ თვისებათა და ავტორის დროის ბიუჯეტით. მონაცემების დამუშავება შემდეგნაირად ჩატარდა: ნალექების ყველა ყოველდღღამური რაოდენობა შეტანილი იყო ცალკეულ ჯგუფებში იმ პროცენტების შესაბამისად, რომლებმაც განაპირობებ ნალექები. გამოყოფილი იყო 11 ასეთი ჯგუფი, სახელდობრ: ფრონტალური პროცენტების 7 ჯგუფი: ცივი ფრონტების გავლა (გავლა კავკასიონის ქედის დასავლეთიდან, აღმოსავლეთიდან და ორივე მხრიდან), თბილი ფრონტების გავლა, ოკლუზიების გავლა, ტალღურ აღრევათა გავლა (ამიერკავკასიაზე ღებ მის სამხრეთით); შიდაზღობის ნალექების 4 ჯგუფი: 3 ჯგუფი პოლარულ მასებში (შემოჭრა დასავლეთიდან, აღმოსავლეთიდან, გრადინტის არა ნათელი გამოსახულობით) და ერთი ჯგუფი ტროპიკულ მასებში. თითოეული ჯგუფისათვის ხდებოდა მონაცემების გასაშუალება და გრადინტის მნიშვნელობათა გამოთვლა ერთი შემთხვევისათვის. გამოთვლები ჩატარდა წლიური მნიშვნელობებისათვის და აგრეთვე წლის თბილი და ცივი ნახევრისათვის ცალ-ცალკე.

გარდა ამ ძირითადი მუშაობისა, გამოთვლილი იყო საშუალო წლიური გრადინტები ამიერკავკასიის უმნიშვნელოვანესი მეტეოროლოგიური სადგურებისათვის და გადატანილი რუკაზე. რადგან ამ უკანასკნელი გამოთვლის ამოცანას შეადგენდა საერთო წარმოდგენის მიღება ამიერკავკასიის მთელი ტერიტორიის საშუალო გრადინტების სიდიდეთა და განაწილების შესახებ, ამიტომ გამოსავალი სიდიდეები აღებული იყო ერთ პერიოდზე დაუყვანებლად; ეს მით უმეტეს შესაძლოა, რადგან გრადინტების სიდიდეები მნიშვნელოვნად უფრო მდგრადია. ვიდრე ნალექების სიდიდეები.

გრადინტების სიდიდეთა დიდი რყევა და სიკრულე მათ ტერიტორიულ განაწილებაში დამოკიდებულია გავლენის მომხდენი ფაქტორების მნიშვნელოვან რიცხვზე. უმთავრესი მათგანია: თვით ნალექების რაოდენობა, სიმაღლე ზღვის დონიდან, რელიეფი, ქვესაგები ზედაპირის გავლენა და ატმოსფერულ პროცესების ხასიათი.

ადვილი დასანახავია, რომ პირველი აქ მითითებული ფაქტორებიდან, ე. ი. თვით ნალექების რაოდენობა, გვაძლევს არსებით ეფექტს, რომელიც ძლიერ ჩრდილავს დანარჩენი მიზეზების გავლენის ეფექტს. ამ გავლენის თავიდან ასაცილებლად მოხერხებულად მივაჩინია ვისარგებლოთ გრადინტის (*gr*) შეფარდებით ნალექების რაოდენობასთან ქვედა სადგურში (*Q*). ეს სიდიდე აღებული იყო როგორც ძირითადი მაჩვენებელი ჩატარებული ანალიზის დროს. ეს შეფარდება შემდეგნაირად გამოისახება:

$\frac{gr}{Q} \cdot 100$ , ე. ი. შეფარდებულია  $Q=100$  მმ-თან.

გენეტური ანალიზი ჩატარებული იყო 317 შემთხვევისათვის მთლიანად; მიღებული სიდიდეები წარმოდგენილია (ზხოლოდ წლიურ რაოდენობათათვის) თანდართულ ცხრილში.

4. კვლევის შედეგად მიღებული ძირითადი დასკვნები შეიძლება მოკლედ ჩამოყალიბდეს შემდეგი დებულების სახით:

ა)  $\frac{gr}{Q} \cdot 100$  შეფარდების საშუალო წლიური სიდიდე, როგორც ჩანს, მთე-

ლი ამიერკავკასიისათვის ბევრად უფრო მდგრადია, ვიდრე გრადიენტის ( $gr$ ) აბსოლუტური სიდიდე; შემთხვევათა უმეტესობისათვის იგი ირყევა შედარებით მცირე საზღვრებში—5-დან 20 მმ-მდე. არის საფუძველი ვიფიქროთ, რომ ეს სიდიდე განისაზღვრება შესაძარბელი სადგურების სინოპტიკურ-კლიმატური პირობების მსგავსების ხარისხით და არ არის დამოკიდებული მოცემული წყვილის განლაგების რაიონის სინესტის საერთო ღონეზე. ატმოსფერული პროცესების ერთგვაროვანი ხასიათის მქონე უბნებისათვის  $\frac{gr}{Q} \cdot 100$  საშუალო მნი-

შენელობა ახლოსაა 5—6 მმ (მაგ., წყვილი: ბათუმი—მწვანე კონცხი, ბორჯომი—ბაკურიანი, თბილისი—კოჯორი, გუდაუთი—ჯვრის გადასავალი). თუ სადგურების წყვილი განლაგებულია ისეთ რაიონებში, რომლების პროცესების ხასიათი განსხვავებულია (მაგამ დაახლოებულია), ეს სიდიდე დებულობს მნიშვნელობებს 10—20 მმ რიგისა (მაგ., გორი—ბორჯომი, თბილისი—დუშეთი, კობი—ჯვრის გადასავალი, ყაზახი—იჯევანი, ბაქო—შემახა). პროცესების უფრო

შეტი განსხვავებისას  $\frac{gr}{Q} \cdot 100$  მნიშვნელობა შესაბამისად ნატულობს (მაგ., რიკოთის გადასავალი—სურამი). ამ დამოკიდებულებებს მივყავართ საინტერესო დასკვნამდე, რომ ნალექების ცვლილება სიმაღლის მიხედვით ერთი სინოპტიკურ-კლიმატური რაიონიდან (ან სარტყლიდან) მეორეში გადასვლისას უნდა ხდებოდეს ნახტომებით. ეს წინასწარი მოსაზრება, თუმცა მას დასაბუთება აქვს ატმოსფერული პროცესების ცვლილებების ხასიათში, მაინც საჭიროებს შემდგომ შესწავლას.

ბ)  $\frac{gr}{Q} \cdot 100$  შეფარდების მნიშვნელობანი სხვადასხვა ატმოსფერული პრო-

ცესისათვის (იხ. ცხრილი) ირყევა უმეტესი შემთხვევებისათვის ზემონაჩვენები სიდიდეების საზღვრებში (5-დან 20 მმ-მდე). გამონაკლისს შეადგენს ზხოლოდ

$\frac{gr}{Q} \cdot 100$  მნიშვნელობა თბილი ფრონტის გავლისათვის თბილისი—დუშეთის წყვილის შემთხვევაში (52 მმ).

გამოკვლევაში მიღებული სიდიდეები არ ჩაითვლება გრადიენტების სავსებით დამახასიათებელ რიცხობრივ მნიშვნელობებად ამა თუ იმ პროცესებისათვის, რადგანაც შემთხვევათა საერთო რიცხვი ჯერ კიდევ არასაკმაოა და,

რაც მთავარია, ცალკეულ გამოთვლათა მნიშვნელობანი (შემთხვევათა რიცხვის სხვადასხვაობის გამო) არაერთნაირია. ამასთან ერთად მათი მნიშვნელობების შეფარდებითი რიგი კარგად ეთანხმება სათანადო პროცესების ხასიათს. ამ თვალსაზრისით მიღებული მნიშვნელობანი დიდ ინტერესს წარმოადგენენ და გვაძლევენ შესაძლებლობას გავაკეთოთ შემდეგი დასკვნები: გრადიენტის მნიშვნელობა ერთგვარი პროცესებისათვის ირყევა რელიეფისა და სეზონის მიხედვით (მნიშვნელობები სეზონისათვის ცხრილში არაა მოყვანილი); ამასთან ერთად საინტერესოა აღვნიშნოთ, რომ ოროგრაფიულ გავლენათა ეფექტზე დამოკიდებული რყევა ახლოსა თავის სიდიდით იმ რყევასთან, რომელსაც აპირობებს პროცესების ხასიათის სხვადასხვაობა, მაგრამ რელიეფის ეფექტი მთელი წლის განმავლობაში რამდენადმე მაინც აღემატება ატმოსფერული პროცესების ეფექტს.

აღებული სამი წყვილისაგან ყველაზე მეტი რყევა აღნიშნულია თბილისი—დუშეთის წყვილისათვის, რაც მიგვითითებს პროცესების ცვლილებებში აქ საზღვრის არამდგრადობაზე. წყვილი თბილისი—კოჯორი გვიჩვენებს გრადიენტთა ყველაზე უფრო ნაკლებ რყევას, ე. ი. ყველაზე უფრო მეტ ერთგვარობას პროცესებისა ამ წყვილის განლაგების რაიონში. ცალკეული პროცესების მიხედვით (ყველა სადგურისთვის) ყველაზე დიდი რყევები აღინიშნება თბილი ფრონტებისათვის (+3—52 მმ), განსაკუთრებით წლის თბილი ნახევრის დროს. დანარჩენი პროცესები გვიჩვენებს რყევათა შედარებით არა დიდ და მცირედ განსხვავებულ მნიშვნელობებს: უნციერეს—წლის ცივი ნახევრისთვის ცივი ფრონტებისას, რომლებიც შემოდინ ხოლმე კავკასიონის ქედის ორივე მხრიდან, ტალღების დროს სამხრეთში და სამხრეთ-დასავლეთში და პოლარული ჰაერის შემოჭრისას აღმოსავლეთიდან ( $A=4-5$  მმ). თბილ ნახევარწელიწადში ყველაზე მცირე რყევა აღნიშნულია ოკლუზიის დროს ( $A=2$  მმ) და საშუალოდ წლის განმავლობაში—ოკლუზიებისა და აღმოსავლეთიდან პოლარული ჰაერის შემოჭრის დროს ( $A=3$  მმ). დანარჩენი სიტუაციები იძლევა გრადიენტის სიდიდეთა რყევას 12—13 მმ ფარგლებში მთელი წლის განმავლობაში.

გ) მეტად საინტერესოა შევადაროთ  $\frac{\sigma}{Q} \cdot 100$  რყევათა აქ მოყვანილი მნიშვნელობები ნალექების შეფარდებით რაოდენობას, რომელიც განისაზღვრება

ამა თუ იმ ატმოსფერული პროცესებით. ის პროცესები, რომლებს დროსაც გრადიენტის სიდიდე ყველაზე ნაკლებად მდგვრადია, ე. ი. თბილი ფრონტები, განსაზღვრავენ ნალექების მთელი რაოდენობის მეტად უმნიშვნელო ნაწილს აღნიშნულ რაიონებში,—არა უპეტესს  $5\%$ , ხოლო პროცესების დროს, რომლებიც იძლევიან ჯამში ნალექების ძირითად მასას ( $60-65\%$ ), სახელდობრ: კავკასიონის ქედის ორივე მხრიდან და დასავლეთიდან ცივი ფრონტების გავლისას, ოკლუზიებისა და სამხრეთში და სამხრეთ-დასავლეთში ტალღურ აღრევათა დროს—პლუვიომეტრიული გრადიენტს რყევა რაიონში არ აღემატება  $13\%$ — $15\%$ . ეს გარემოება შესაძლებლობას იძლევა მიღებული მნიშვნელობებით ვისარგებლოთ გამოყენებითი თვალსაზრისით.

პლუვიომეტრიული გრადიენტები სხვადასხვა ატმოსფერული პროცესის დროს აღმ. საქართველოს მეტეოროლოგიური სადგურების სამი წყვილისათვის (შეფარდებული მოცემული სიზუსტის ერთ შემთხვევისადმი)

ატმოსფერული პროცესის სახელწოდება	შემთხვევების რიცხვი	თბილისი—კოჯორი			თბილისი—ღუშეთი			ღუშეთი—გუდაუთი		
		Q	gr	$\frac{gr}{Q} \cdot 100$	Q	gr	$\frac{gr}{Q} \cdot 100$	Q	gr	$\frac{gr}{Q} \cdot 100$
ცივი ფრონტების გავლა დასავლეთიდან . . . . .	53	3,4	+0,06	+2	3,4	+0,20	+6	4,4	+0,61	+14
ცივი აღმოსავლეთიდან . . . . .	12	4,9	+0,38	+8	4,9	+0,29	+6	6,3	-0,15	-3
ცივი დასავლეთიდან და აღმოსავლეთიდან . . . . .	15	8,7	+0,34	+4	8,7	+0,10	+1	9,2	+0,60	+7
თბილი ფრონტების გავლა . . . . .	35	0,5	+0,001	+3	0,5	+0,26	+52	1,8	+0,27	+15
ოკლუზიების გავლა	61	4,4	+0,36	+8	4,4	+0,43	+10	6,5	+0,44	+7
ტალღურ აღრევათა გავლა ა/კავკ ხვ .	14	7,3	+0,43	+6	7,3	+1,56	+21	14,9	-0,05	<-1
ცივი ამირკავკასიის საზღვრითა და საზღვრეთ დასავლეთით . . . . .	54	7,6	+0,38	+5	7,6	+0,67	+9	10,9	+0,11	+1
პოლარული ჰაერის შემოჭრა დასავლეთიდან . . . . .	19	4,3	+0,24	+6	4,3	+0,78	+18	8,1	+0,03	+0,4
ცივი აღმოსავლეთიდან . . . . .	30	0,5	+0,10	+20	0,5	+0,10	+20	1,0	+0,17	+17
უნდენსაციური პროცესი პოლარულ ჰაერში გამოუვლინებელი გრადიენტით . . . . .	18	1,9	-0,01	<-1	1,9	-0,10	-5	1,4	+0,06	+4
ცივი ტროპიკულ ჰაერში . . . . .	11	6,3	-0,17	-3	6,3	-0,31	-5	4,1	+0,11	+4
საშუალო ყველა პროცესისათვის .		4,2	+0,23	+5	4,2	+0,45	+11	6,4	+0,25	+4

5. გარდა ზემომოყვანილი საერთო დასკვნებისა, აღნიშნული გამოკლევა (სხვა არსებული მონაცემების ანალიზთან ერთად) საშუალებას იძლევა დავსახოთ რიგი დასკვნები, რომლებიც პრაქტიკულ ინტერესს წარმოადგენენ.

უმნიშვნელოვანესს ამ დასკვნები შორის, ავტორის შეხედულებით, წარმოადგენს ის დებულება, რომ ნალექების განაწილების რუკის აგებისათვის ამჟამად მიღებული იზოჰიეტების მეთოდი მთავორიანი ადგილებისთვის, განსაკუთრებით მსხვილმასშტაბიანი რუკის შემთხვევაში, მიზანშეწონილია, რადგან მთავორიანი ადგილებში არ არსებობს ამ მეთოდისათვის აუცილებელი პლუვიომეტრიული გრადიენტის ტერიტორიული მუდმივობის პირობა, ან არსებობს აქ, რა თქმა უნდა, აგრეთვე იზოჰიეტების მნიშვნელობათა მუდმივობა, და ამიტომ იზოხაზებს შორის ინტერპოლაცია ფიქტიურია.

უფრო მიზანშეწონილია აღნიშნული ამოცანისათვის ნალექების რაიონული განაწილების მეთოდის გამოყენება, ამ შემთხვევაში გამოყოფილი რაიონის დამახასიათებელს წარმოადგენს ნალექების რაოდენობა გარკვეულ დამრგვალებულ ფარგლებში (აქედან-აქამდე), რაც დადგენილი უნდა იყოს ადგილობრივი პირობებით დასაშვები სიზუსტის მიხედვით. გამოყოფილი რაიონის შიგნით ნალექების რაოდენობანი შესაძლოა განაწილდნენ დიდი ნაირსხვაობით, რომელიც არ ემორჩილება კანონზომიერებას რომელიმე ერთი მიმართულებით. რაოდენობის საზღვრები მიგვითითებს ნალექების რაოდენობის დამახასიათებელი დიაპაზონის ცვლილებაზე რაიმე ერთგვარობის გაუოვალისწინებლად თვით საზღვრის გასწვრივ.

ასეთი რუკების აგებისათვის უეჭველად მნიშვნელოვან დახმარებას გაგიწევენ პლუვიომეტრიული გრადიენტის სიდიდეების ზემომოყვანილი კანონზომიერებანი, მაგალითად: იმ რაიონების ან სარტყლების გამოყოფისათვის, რომლებშიც პროცესებს მეტ-ნაკლები ერთგვარობა ახასიათებს, და ამ პროცესებში ცვლილებებისადმი მიდრეკილებათა (ტენდენციის) დასადგენად; მოცემული ტერიტორიისათვის სადგურთა ყველაზე უფრო რეპრეზენტატიური წყვილის არჩევისათვის; გრადიენტების სიდიდეთა საიმედოობისა და მიახლოებითობის ხარისხის დასადგენად და, ბოლოს, გრადიენტების მიახლოებებით მნიშვნელობების მისაღებად მხოლოდ ჭკვედა სადგურების არსებობისას, ან იმ რაიონებისათვის, რომლებიც სრულიადაც არაა გაშუქებული დაკვირვებებით.

კერძოდ, აღნიშნული კანონზომიერებანი მიგვითითებენ, რომ იმ რაიონებისათვის, სადაც წინასწარი მოსაზრებით მოსალოდნელია ზემოაღნიშნული „ნახტომის“ არსებობა გრადიენტებში (ე. ი. პროცესების ცვლილებანი), აუცილებელია გამოვიყენოთ რაც შეიძლება მეტად რეპრეზენტატიური სადგურები, რომლებიც ამავე დროს განლაგებულნი არიან ერთმანეთისაგან უმცირეს ვერტიკალურ მანძილზე.

6. ბოლოს უნდა აღინიშნოს, რომ პლუვიომეტრიული გრადიენტის სიდიდეებისთვის მიღებული კანონზომიერებანი შესაძლოა წარმოადგენდნენ მნიშვნე-

ლოვან ინტერესს შებრუნებული ამოცანის გადაწყვეტის დროსაც, ე. ი. ცალკეული კონკრეტული შემთხვევებისა ან პერიოდებისათვის ამა თუ იმ ფიზიკურ-გეოგრაფიულ პირობებში ატმოსფერული პროცესების ხასიათისა და ადგილობრივ გარდაქმნათა განსაზღვრისა და დაზუსტებისათვის.

საქართველოს სსრ მეცნიერებათა აკადემია  
ფიზიკისა და გეოფიზიკის ინსტიტუტი  
თბილისი

(რედაქციას მოუვიდა 10.10.1946)

დაამუშავებული ლიტერატურა

1. Б. П. Алисов, В. Н. Извеков, Т. В. Покровская, Е. С. Рубинштейн. Курс климатологии, Л.—М., 1940, стр. 85.
2. R. M. Poulter. Configuration, air mass and rainfall. Quarterly Journal of the R. Met. Soc., Vol 62, № 263, Jan., 1936.



## გეოლოგია

ი. ბუაჩიძე

## ალაზნის არტეზიული აუზის ჰიდრო-გეოლოგიის ფორმირების საკითხი

(წარმოდგინა აკად. ნამდვ. წევრმა ა. ჯანელიძემ 6.6.1947)

ალაზნის ველის მარჯვენა სანაპიროს ჰიდრო-გეოლოგიური შესწავლა მრავალი მკვლევარის მიერაა ჩატარებული მორწყვისა და წყალმომარაგების საკითხებთან დაკავშირებით [1, 2, 3].

ეს მკვლევარები, აღნიშნავენ რა ამ რაიონის მეოთხეულის წინა ნაღველების წყალსიმცირეს, იძულებული იყვნენ მთავარი ყურადღება მიექციათ თანამედროვე და მეოთხეული ასაკის ალუვიურ ნაღველებში გავრცელებული მიწისქვეშა წყლის ჰორიზონტებისათვის. წყალმომარაგების ძირითად წყაროდ მდ. ალაზნის მარჯვენა მხარეზე, ქ. თელავიდან სოფ. წნორისწყლამდე, მათ ეს წყლები მიაჩნდათ. მაგრამ მიწისქვეშა წყლების ამ ჰორიზონტებთან დაკავშირებული წყაროების მცირე დებიტი, მერყევი რეჟიმი და დაბალი ხარისხობრივი მაჩვენებლები ვერ აკმაყოფილებდნენ მოსახლეობის გაზრდილ მოთხოვნილებებს. თუმცა უკანასკნელ ხანებში აქ მრავალი პატარა წყალსადენი იქნა აგებული, მიუხედავად ამისა, შიდა კახეთის ეს ნაწილი ჯერაც დიდ წყალსაკლებობას განიცდის.

1943—44 წლებში საქართველოს შეჯამებითი ჰიდრო-გეოლოგიური რუკის შედგენის მიზნით გეოლოგიური და ჰიდრო-გეოლოგიური მასალების დამუშავებისა და კახეთის ქედისა და ალაზნის ველის დაზვერვის შედეგად, ჩვენ მიერ გამოთქმულ იქნა აზრი, რომ ალაზნის ველის მარჯვენა მხარეში, სოფ. რუისპირიდან სოფ. ძველ ანაგამდე, ე. წ. ალაზნის წყების ნაღველებში უნდა მოველოდეთ მტკნარი წყლის არტეზიულ ჰორიზონტებს.

ეს მოსაზრება მოწონებულ იქნა საქართველოს ჰიდრო-გეოლოგიური ექსპედიციის კონსულტანტის, საქ. მეცნ. აკად. ნ. წევრის პროფ. ა. ჯანელიძისა და საქ. გეოლოგიური სამმართველოს ხელმძღვანელობის მიერ და 1944—45 წლებში ამ მიმართულებით ჩატარებულ იქნა იორისა და ალაზნის წყალშუეთის ჰიდრო-გეოლოგიური შესწავლა სოფ. ახმეტასა და სოფ. წნორისწყლის მერიდიანებს შორის. საძიებო ბურღვამ გამოთქმული აზრი სავსებით დაადასტურა. მრავალ ადგილას გაკვეთილ იქნა მიწისქვეშა წყლის არტეზიული ჰორიზონტები.

შესწავლილი რაიონის ცენტრულ ნაწილში მოქცეულია კახეთის ქედი, რომლის ჩრდილო-აღმოსავლეთით ალაზნის ატმოსფერული ველი მდებარეობს, ხოლო სამხრეთ-დასავლეთით—იორის ველი. ქედის აბსოლუტური სიმაღლე ჩრდილო-დასავლეთ ნაწილში 1900 მეტრს აღწევს, ხოლო სამხრეთ-აღმოსავ-

ღვით 1000 მეტრს არ აღემატება. სიმაღლეთა სხვაობა ველებსა და ქედს შორის ჩრდილო-დასავლეთიდან სამხრეთ-აღმოსავლეთისაკენ კლებულობს და 400—1300 მეტრის ფარგლებში ცვალებადობს.

რაიონის კლიმატის თავისებურება განისაზღვრება კახეთის ქედზე ატმოსფერული ნალექების წლიური რაოდენობის შედარებითი სიჭარბით (8 0—900 მმ), ხოლო ველებზე მათი სიმცირით (300—400 მმ). საერთოდ, რაიონში ატმოსფერული ნალექების რაოდენობა კლებულობს ჩრდილო-დასავლეთიდან სამხრეთ-აღმოსავლეთის მიმართულებით. ჰაერის საშუალო წლიური ტემპერატურა 8—12°-ის ფარგლებში ქანაობს.

კახეთის ქედს აქ რთული ანტიკლინური აგებულება აქვს (იხ. ნახ.). მის გულში ცარცული და პალეოგენური ნალექებია გავრცელებული, ამითვე უთანხმოდ განლაგებული არის პლიოცენის (აღზაგილ-აფშერონის) ნალექები, რომლებიც ალაზნის წყების სახელითაა ცნობილი [4, 5]. ეს ნალექები კახეთის ქედზე დიდ ნორმულ ანტიკლინს შეადგენენ. ანტიკლინის ღერძი დაახლოებით ქედის წყალგამყოფ ხაზს გასდევს. ანტიკლინის ჩრდილო-აღმოსავლეთი ფრთა ალაზნის ველზე მეოთხეული და თანამედროვე ასაკის ნალექებს ქცემ იძირება [6]. ამ ფრთაში დაქანების კუთხე დაქანების მიმართულებით კლებულობს 45—50 გრადუსიდან 5 გრადუსამდე. მდ. ჩაილურის აღმოსავლეთით ანტიკლინის სამხრეთ-დასავლეთი ფრთის დაქანების კუთხეც თანდათან კლებულობს დაქანების ნიმართულებით. ეს ფრთა სამხრეთით წითელიწყაროს სინკლინში გადადის [5, 7].

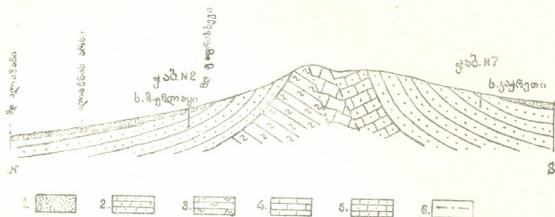
ქედის ჩრდილო-დასავლეთ ნაწილში ანტიკლინის თალი ინტენსიურადაა ეროდებული და ალაზნის წყების ქვეშიდან ცარცული და პალეოგენური ნალექებია გაშიშვლებული, ხოლო კარდანახის ხევის აღმოსავლეთით გადარეცხვა შედარებით სუსტია და ალაზნის წყების ნალექები ხეების მიერ მთლიანად არცაა გაკვეთილი [6].

ალაზნის წყების ნალექები წარმოდგენილია თიხების, ქვიშიანი თიხების, ნარიყალისა და კონგლომერატების ფენების მორიგეობით. ეს წყება, მისი ლითოლოგიური შედგენილობის მიხედვით, სამ ნაწილად იყოფა [4]. ქვედა ნაწილი წარმოდგენილია კონგლომერატების, ნარიყალისა და თიხოვანი ქანების მორიგეობით, რომელთა შორის ნარიყალსა და კონგლომერატებს გაბატონებული მდგომარეობა უჭირავთ; შუა ნაწილი შედგება თიხებისა და ნარიყალისგან, რომლებიც ერთიმეორეში მორიგეობენ, თუმცა თიხები სჭარბობენ ნარიყალს, ხოლო ქვედა ნაწილში გვაქვს ნარიყალის, კონგლომერატებისა და თიხების მორიგეობა. აქ ნარიყალი და კონგლომერატები ისევ მკვეთრად სჭარბობენ თიხებს.

ალაზნის წყების ნალექების საერთო სისქე 1000—1400 მეტრამდე აღწევს. ამ წყებაში შემავალი ნარიყალი და კონგლომერატები შედგებიან ქვიშაქვების, კირქვების, სხვადასხვა კრისტალური ქანის, ფიქლის, კვარცისა და სხვა ნაგორები მასალისაგან. მაგრამ ზოგიერთ შემთხვევაში გვხვდება ისეთი შრეებიც, რომლებიც თითქმის მთლიანად ფიქლისა და კვარცის ნაგორები მასალისგან არიან შემდგარი. მაგალითად, ჩვენ მიერ შრომისხევეში აღნიშნულია ასეთი

შემადგენლობის 80 მეტრის სისქე შრე, რომელიც გაკვლეულ იქნა ჩრდილო-დასავლეთით მდ. კისისიგვამდე და სამხრეთ-აღმოსავლეთით მდ. გურჯაანის-ხევამდე. ამ შრის შემადგენელი მასალა ძლიერ წააგავს კავკასიონის სამხრეთ ფერდობზე გავრცელებულ ფიქლებრივ ქანებს. კახეთის ქედის გარდღეარდმო კვეთში ჩრდილო-აღმოსავლეთიდან სამხრეთ-დასავლეთისაკენ ფიქლისა და კვარცის მასალა იკლებს, ხოლო ქვიშაქვები და ვულკანოგენური ქანების მასალა მატულობს.

იბადება კითხვა, როგორ მოხვდა კავკასიონის სამხრეთ ფერდობის ნაოქა ზოლში გავრცელებული ქანების ნაგორები მასალა კახეთის ქედზე აღჩავილ-



კახეთის ქედ-ს გარდღეარდმო გამავალი სქემატური გეოლ. ჭრილი. მასშტაბი 1 : 200.000

1. თანამედროვე და მეოთხეულის ასაკის ალუვიურ-პროლუვიური ნალექები.
2. აღჩავილ-აფშერონის საროულეების კონტინენტალური ნალექები (ალაზნის წყება).
3. ოლიგოცენისა და ზედა ეოცენის ქვიშაქვიან-თიხოვანი ნალექები.
4. ზედა ცარცის კირქვები და მერგელები.
5. ქვედა ცარცის თიხიან-ქვიშაქვიანი წყება.
6. რლევის ნაზები.

აფშერონის ასაკის ნალექებში? ამ კითხვაზე პასუხს იძლევა რაიონის გეოლოგიური ისტორია. ცნობილია, რომ კახეთის ქედის აწევა მოხდა ზედა პლიოცენის ან ქვედა მეოთხეულის დროს, ხოლო ალაზნის წყების ნალექები კონტინენტური ალუვიურ პროლუვიური წარმოშობის არიან. აკადემიკოს ალ. ჯანელიძის აზრით, აღჩავილ-აფშერონის დროს კახეთის ქედის ადგილას წინაგაკის დებრესია არსებობდა, რომელშიც მდინარეებს უამრავი მასალა შემოჰქონდათ როგორც ჩრდილოეთიდან და ჩრდილო-აღმოსავლეთიდან, ასევე სამხრეთიდან. უნდა ვივარაუდოთ, რომ ამ დებრესიის უფრო დაბალი მდებარეობა უნდა სჭეროდა, ვიდრე თანამედროვე ალაზნის ველს.

ამრიგად, ეს კავკასიონისა და ანტიკავკასიონის შორის მოქცეული დებრესია წარმოადგენდა ნალექების დაგროვების ზონას, ხოლო აწინდელი ალაზნისა და იორის ველები—გადატანის ზონებს. შეიძლება აღვნიშნოთ, რომ დებრესია, რომელშიაც ალაზნის წყების ნალექები ილექებოდა, ბევრად უნდა ჰგავნებოდა თანამედროვე ალაზნის ველს.

## ალანხის არტეზიული აუზის წნევითი წყლების

№ რიგ.	კაბურღილების ადგილმდებარეობა	კაბურღი- ლის ნომ- რები	კაბურღილ- ის სიღრმე მეტრში	საერთო სიღრმე მ	მიწისქვეშა წყლების ჰორი- ზონტების ნომერი და სიღრმე მ	წყალშემცავი ფე- ნების ლითოლო- გიური შემადგენ- ლობა
1	ს. კოლოთო . . .	4	—	260,00	I. 217,0 — 223,7	ნარიცალი ქვიშით
2	ქ. თელავი . . . .	3	—	194,0	I. 94,2 — 103,2 II. 115,5 — 118,3	" "
3	ს. წინანდალი . .	8	600,20	140,0	I. 115,0 — 140,0	" "
4	ს. ველისციხე . .	10	—	260,0	I. 142,0 — 168,7 II. 238,1 — 244,4	" "
5	ს. ქვედა ჩუმლაყი	2	376,08	262,0	I. 85,3 — 87,7 II. 239,0 — 162,0	ქვიშა ქვიშა ზვინჯით
6	ს. ზედა ჩუმლაყი .	9	412,0	276,0	I. 197,5 — 198,5 II. 271,0 — 276,0	ქვიშა ნარიცალი ქვიშით
7	ქ. გურჯაანი . . .	1	391,3	181,0	I. 97,8 — 116,0 II. 118,2 — 151,2 III. 157,6 — 181,0	ქვიშა ზვინჯით ნარიცალი ქვიშით " "
8	ს. კოლაგი . . . .	6	—	298,00	I. 293,0 — 298,0	" "
9	ს. ძველი ანავა . .	5	—	301,00	I. 83,8 — 86,0 II. 175,3 — 193,1	" "
10	ს. კაჭრეთი . . . .	7	576,75	224,00	I. 146,7 — 154,5 II. 172,7 — 185,3 III. 202,05 — 208,00	" "

პორიზონტების ჰიდრო-გეოლოგიური მონაცემები

ცხრილი

პიენომეტრული დონე	წნევა მიწის ზედაპირზე	მიღებული მონაცემები	წყლის ტემპერატურა	ჰერის ტემპერატურა	საბოლოო ტემპერატურა	წყლის საერთო სიხისტე	წყლის დახასიათება კურლოვის ფორმულის მიხედვით
—	უარყოფითი	—	17	15	55	19,6	$M_{0,6} \frac{HCO_3 56 SO_4 33}{Ca 56 Mg 33}$
—	დადებითი	0,5	12	20	55	11,6	$M_{0,8} \frac{HCO_3 93}{Ca 71 Mg 25}$
—	"	0,1	12	23			
>610,20	"	0,5	12	9	75	11,7	$M_{0,6} \frac{HCO_3 66}{Ca 36 Na 31 Mg 24}$
—	"	0,5	14	22	55	19,9	$M_{0,5} \frac{HCO_3 67 SO_4 26}{Ca 48 Mg 42}$
—	"	0,5	16	23			
—	"	0,2	14	21	83	14,7	$M_{0,4} \frac{HCO_3 52 Cl 25 SO_4 22}{Ca 46 Mg 32}$
>386,0	"	7,4	18	22			
406,38	უარყოფითი	—	14	19	75	—	$M_{0,8} \frac{HCO_3 70 SO_4 28}{Ca 46 Na 38}$
416,38	დადებითი	1,1	17	22		18,6	$M_{0,8} \frac{HCO_3 81}{Ca 63 Mg 33}$
401,31	"	1	16	18			
401,3	"	2,5	16,5	20	65	7,9	$M_{1,1} \frac{HCO_3 46 SO_4 35 Cl 19}{Ca 73 Mg 21}$
401,31	"	2,5	17	20			
—	უარყოფითი	—	14	12	65	6,3	$M_{0,6} \frac{HCO_3 57 Cl 24}{Na 61}$
—	დადებითი						
—	"	უმნიშვნ.	16	28	65	15,6	$M_{0,8} \frac{SO_4 46 Cl 32 HCO_3 22}{Mg 44 Na 40 Ca 16}$
551,75	უარყოფითი	—	16	20			
—	"	—	16	23	75	11,8	$M_{0,8} \frac{HCO_3 48 Cl 36}{Na 46 Ca 28 Mg 25}$
—	"	—	17	18			

თქმულის მიხედვით უნდა ვივარაუდოთ, რომ ალაზნის წყების ნალექები მდ. ალაზნის მარცხენა სანაპიროზეც უნდა იყოს გავრცელებული და ამ მიმართულებით მათი გავრცელება კავკასიონის სამხრეთ ფერდის კალთების ძირში გამავალი რეგიონული რღვევის ხაზით უნდა იმიჯნებოდეს.

ალაზნის წყების შემადგენელი ნალექები, რომლებშიც შემჩნეულია პრაქტიკულად წყალგაუვალი თიხივანი და წყალგამტარი ნარიყალ-ჭვიზიანი შრეების მორიგეობა, კახეთის ქედიდან მისი ორივე მხარისკენ მონოკლინურად არის დაქანებული და ამ ქედის ფერდობებზე ჩამომავალი მრავალი მდინარე და ხევი ღრმად კვეთს ამ ნალექებს. ქედის ზედა ნაწილში, ანტიკლინის თხემისაკენ, შრეების დაქანების კუთხე მატულობს და რელიეფი მათ კვეთს. ამ პირობებში უნდა დავუშვათ, რომ ატმოსფერული ნალექები და ზედაპირული წყლები, ჩაიფონებიან რა წყალგამტარ ფენებში, მოძრაობენ შრეების დაქანების გასწვრივ და, წყალგაუვალი ფენების არსებობის შედეგად, რომლებშიც მოქცეულია ხოლმე წყალგამტარი ფენები. წარმოშობენ მიწისქვეშა წყლის წნევიან ჰორიზონტებს. ამ ჰორიზონტების კვების არე მოქცეული უნდა იყოს კახეთის ქედის მალაღ ფერდობებზე, ხოლო განტვირთვის ზონა—ალაზნისა და იორის ველებზე.

ამ მოსაზრებებზე დაყრდნობით, საქ. გეოლ. სამმართველოს მიერ გაყვანილ იქნა ჰიდრო-გეოლოგიური სტრუქტურული ჰაბურდილები ალაზნისა და იორის ველებზე (იხ. ცხრილი).

როგორც ამ მონაცემებიდან ჩანს, ალაზნის წყების ზედა ნაწილში, სამახსი მეტრის სიღრმემდე, მოიპოვება წნევიანი წყლის 2—3 ჰორიზონტი, მართალია, ჯერ არ გვაქვს საკმაო საბუთი დავასკვნათ, რომ ამ ჰორიზონტებს საყოველთაო გავრცელება აქვთ გამოკვლეულ უბანზე, მაგრამ ამ კითხვას მომავალმა კვლევამ უნდა გასცეს პასუხი.

ჰაბურდილების დებიტი ირყევა 0,5-დან 8 ლიტრამდე სეკუნდში. შემჩნეულია, რომ ყველა ქვემდებარე წყალშემცავი ჰორიზონტი ზემდებარესთან შედარებით უფრო წყალუბვია, ამის საილუსტრაციოდ შეიძლება გამოვიყენოთ გურჯაანისა და ჩუშლაცის ჰაბურდილებით გაკვეთილი წყალშემცავი ჰორიზონტების დებიტი [8].

მიწისქვეშა წყლები სუსტად მინერალიზებულია. მშრალი ნაშთი არ აღემატება 0,3—1,17 გრამს ლიტრ წყალში. წყლები მიეკუთვნება ჰიდრო-კარბონატულ-ქლორიდულ კალციუმიან-მაგნიუმიან ან ჰიდრო-კარბონატულ-სულფატურ კალციუმიან-მაგნიუმიან ტიპს. ალაზნის ველის გამოკვლეულ ზოლში წნევიანი ჰორიზონტების წყლის მინერალიზაცია მატულობს ჩრდილო-დასავლეთიდან სამხრეთ-აღმოსავლეთისკენ, შრეთა დაქანების მიმართულებით და სიღრმის მიხედვით.

წყლის ტემპერატურა ცელსიუსის 12—18°-ის ფარგლებში ქანაობს და რაიონის საშუალო წლიურ ტემპერატურას 2—5 გრადუსით აღემატება [8].

გამოვლინებული მიწისქვეშა წყლების ჰორიზონტების რეჟიმი ჯერ შესწავლილი არაა, მაგრამ უკვე დაგროვილი მონაცემები საშუალებას გვაძლევს

დაეცვანთ, რომ ჭაბურღილების დებიტი და წყლის ფიზიკურ-ქიმიური თვისებები წლის განმავლობაში უმნიშვნელოდ იცვლება.

უნდა ვიფიქროთ, რომ წნევიანი წყლის აღნიშნული ჰორიზონტები დაწდომის განიკდიან ალაზნისა და იორის მიერ. ჰორიზონტების დაწდომას ხელს უწყობს ასევე მრავალი აღმავალი წყარო, რომლებაც ალაზნისა და იორის ველებზეა გავრცელებული. არ გაგვაჩნია უშუალო საბუთი იმისა, რომ მდინარე ალაზნის კალაპოტში ხდებოდეს წნევიანი წყლების ჰორიზონტების დაწდომა, მაგრამ ამის სასარგებლოდ დაპარაკობს ველის ცენტრული ნაწილისაკენ ალაზნის წყების ნალექების თანდათან გაგავება, რაც არ გამოორიციხავს ამ მიმართულებით წნევიანი წყლის ზედა ჰორიზონტების მეოთხეული ასაკის ფენების ქვეშე გამოსოვლას.

ალაზნის ველის მარჯვენა სანაპიროში მრავალი აღმავალი წყაროა აღნუსხული (თვალწყალი, კოდისწყალი და სხვა), რომლებიც შეიძლება ალაზნის წყების ზოგიერთი წნევიანი წყლის ჰორიზონტას ხარჯზე იკვებებოდნენ. ამ წყაროების წყლის მინერალიზაცია მეტია, ვიდრე იმავე განაკვეთში სამხრეთ-დასავლეთით ჭაბურღილებით გაცვეთილ წნევიანი წყლის ჰორიზონტებისა. სოფ. ბაკურციხის ბოლოზე გამოძავალი აღმავალი წყარო (თვალწყალი) გოგირდწყალბადს შეიცავს, რაც უჩვეულოა ამ უბნის მეოთხეულ ქანებში გავრცელებული წყლებისათვის და შეეფერება ალაზნის წყების ჰორიზონტების წყალს.

ალაზნისა და იორის ველებზე ალაზნის წყების ნალექებში გამოვლინებული მიწისქვეშა წყლების წნევიანი ჰორიზონტებს დიდი პრაქტიკული მნიშვნელობა აქვს კახეთის წყლით მოპარაკ ბისათვის. ეს წყლები შეიძლება გამოყენებულ იქნეს როგორც სასმელად, ისევე სამეურნეო საჭიროებისათვის და, ზოგიერთ შემთხვევაში, მორწყვისათვისაც კი. აუტეხიული ჭაბურღილები ქ. თელავში, ქ. გურჯაანში, ს. ველისციხეში, ს. ქვედა ჩუმლაყში, ს. ზედა ჩუმლაყში ექსპლოატაციაში არის. მრავალმა დასახლებულმა პუნქტმა, რომლებიც წყალსიმცირეს განიცდიან, შეიძლება მიიღოს იმავე გზით კარგი ხარისხის არტეზიული წყალი ალაზნის ველის მარჯვენა სანაპიროში სოფ. რუსპირიდან სოფ. ძველ ანაგამდე.

გამოვლინებული წნევიანი წყლის ჰორიზონტები დამატებით შესწავლას მოითხოვს; განსაკუთრებით საჭიროა გამოკვლეულ იქნეს ალაზნის მარცხენა სანაპირო და ალაზნის ველის სამხრეთ-აღმოსავლეთი ნაწილი.

იორის ველზე გამოვლინებული წნევიანი წყლის ჰორიზონტები გაცილებით უფრო სუსტად არის შესწავლილი და დეტალურ ჰიდრო-გეოლოგიურ კვლევას მოითხოვს.

საქართველოს სსრ მეცნიერებათა აკადემია  
გეოლოგიისა და მინერალოგიის ინსტიტუტი  
თბილისი

(რედაქციას მოუვიდა 9.6.1947)

## დამოწმებული ლიტერატურა

1. И Нацвлишвили. Об источниках водоснабжения селения Кондоли. Грузгеолфонд, Тбилиси, 1941.
2. С. Элердашвили. Гидрогеологическая записка к проекту Шалаурского водопровода. Архив НКВХ Грузии, Тбилиси, 1938.
3. С. Элердашвили. Гидрогеологическое заключение по вопросу Руиспирского водопровода. Архив НКВХ Грузии, Тбилиси, 1938.
4. И. Карстенс. Полный геологический отчет о работах в Горной Кахетии. Архив Треста Грузнефть, Тбилиси, 1934.
5. И. Кахадзе. Литологическое описание территории Грузинской ССР, расположенной к югу от  $42^{\circ}$  с. ш. и к востоку от  $45^{\circ}$  в. л. Грузгеолфонд, Тбилиси, 1944.
6. И. Буачидзе. Результаты работ 1944 года по гидрогеологическому исследованию Кахетинского хребта, Алазанской долины и Иорской котловины. Грузгеолфонд, Тбилиси, 1945.
7. Н. Кудрявцев. Геологический очерк нефтеносного района Южной Кахетии. Архив Треста Грузнефть, Тбилиси, 1936.
8. ო. ბუაჩიძე. ალაზნისა და იორის ველების ჰიდროგეოლოგიის საკითხისათვის. ს. მ. კოროის ს. ხ. საქ. ინდუსტრიული ინსტიტუტის მეათე სამეც. კონფ. მოხსენებათა ანოტაციები, თბილისი, 1947.



პალეონტოლოგია

ლ. ღაბიაშვილი

(აკადემიის ნამდვილი წევრი)

ტიპების, კლასებისა და ორგანული სამყაროს სხვა დანაყოფების  
ეპოქენია

ორგანიზმებისა და გარემოს ეკოლოგიურ დამოკიდებულებათა განვითარების ევოლუციურ პროცესს ეკოგენეზს<sup>(1)</sup> ვუწოდებთ.

ბიოლოგი-ევოლუციონისტი ყოველ ნაბიჯზე ხვდება ეკოგენეტურ მოვლენებს: სახეთა წარმოშობის პროცესი ხომ მჭიდროდ უკავშირდება ორგანიზმის გარემოსთან დამოკიდებულების შეცვლას. მსგავს ფაქტებს ხვდება პალეონტოლოგი გეოლოგიური ისტორიის ამა თუ იმ პერიოდის რომელიმე ჯგუფის ცხოველთა შესწავლის დროს.

სანიმუშო ეკოგენეტური გამოკვლევები ეკუთვნის ვ. კოვალეცკის, რომელიც არკვევდა თანდათანობით ცვლილებებს მესამეულის ჩლიქოსანთა ეკოლოგიაში, მავალითად, ცხენის ოჯახში და ნაწილობრივ სხვა ფიტოფაგური ძუძუმწოვრების წარმოშობადგენლებში. გასაკვირველი არაა, რომ ცხოველთა სამყაროს ბუნებრივი კლასიფიკაციის ცალკეულ ოჯახთა და სხვა დანაყოფთა ეკოგენიის საკითხების შესწავლა სწორედ ხერხემლიანთა და უპირველესად ძუძუმწოვართა პალეონტოლოგიაში დაიწყო.

ვ. კოვალეცკისა და მისი უახლოესი მიმდევრების დროს (XIX საუკუნის 70-იანი და 90-იანი წლები) ამ ცხოველთა განამარბებული ნაშთები, თუნდაც იზოლირებულნი და გაჟანტულნი, ყველაზე უფრო მაღლიერ ობიექტს წარმოადგენდა გეოლოგიური წარსულის საცოცხლას შეასაწავლად. ნამარხ უხერხემლოთა ეკოგენეზის შესწავლა იმ დროს თითქმის განუხორციელებლად მიაჩნდაო. განსაკუთრებით ძნელი იყო ყველაზე ფართოდ გავრცელებულ ნამარხ უხერხემლოთა—მოლუსკების ეკოლოგიისა და ეკოგენიის გამოკვლევა. შემდგომ მდგომარეობა არსებითად შეიცვალა. ეკოლოგიურ თავისებურებათა ცვლილებების პროცესი შემჩნეულ იქნა, სხვათა შორის, ნეოგენური მოლუსკების ჯგუფებში. ჯერ კიდევ ნ. ანდრუსოვი [3] მიუთითებდა იმ ცვლილებებზე, რომელიც განიცადეს უფრო-ღრმა ნაწილებში გადასვლის შემდეგ ზედა მიოცენის სარმატული ზღვის მოლუსკთა სანაპირო სახეებმა.

<sup>(1)</sup> საქართველოს აკადემიის განმარტება ამ ტერმინის გამო. დეტო [1] და შემდეგ ნეგერი [2] ეკოგენეზში გულისხმობდნენ შეგუების პროცესს (der Vorgang der Anpassung). თუმცა ეს სიტყვა მეცნიერულ ლიტერატურაში ძლიერ იშვიათად გვხვდება და შეიძლება ითქვას, რომ იგი თითქმის დაიწყებულია კიდევ. ჩვენ მას სრულიად სხვა მნიშვნელობით ვხმარობთ.

ამგვარი მონაცემები ამჟამად საკმაოდ ბლომდაა დაგროვილი.

ფრიალ საინტერესო იქნებოდა პალეონტოლოგიურად მნიშვნელოვანი ორგანიზმების ჯგუფების ამ თვალთახედვით გადათვლიერება. აქ ჩვენ დავკმაყოფილდებით ცხოველთა სამყაროს ისტორიიდან აღებული რამდენიმე მაგალითით.

1. ყველაზე სრულყოფილად დაორგანიზებული პლანქტონური ფორამინიფერები—გლობიგერინიდები და მათი მსგავსი ფორმები სხვა ოჯახებიდან—ქვედა ცარცულ ეპოქაში ჩნდებიან. ამრიგად *Foraminifera*-მ, რომელსაც ასეთი თვალსაჩინო ადგილი უკავია თანამედროვე ზღვების პლანქტონში, ეს ადგილი გეოლოგიურად არა შორეულ წარსულში დაიკავარა. ეს ფაქტი მათ უფრო სასურადადგება, რომ ეს ფესვფეხიანები ორგანიზებული სამყაროს ერთ უძველეს რიგს ეკუთვნიან. ამჟამად ფორამინიფერები უფრო უხვადაა პლანქტონში, ვიდრე ბენტონში, მაგრამ ცარცულ პერიოდამდე, ცხადია, უკუდამოკიდებულება იყო გაბატონებული.

2. ნაწლავურიანთა ვრცელი ტიპი, რომლიდანაც, შესაძლებელია, გამოირიცხოს სავარცხლურები (*Ctenophora*), ალბათ იმ მოძრავე ცხოველებისაგან განვითარდა, რომელნიც თხელი წყლის ეფვოტურ ზოლში ცხოვრობდნენ. „ზედა კამბრიულის ზედა ნაწილისა და ქვედა სილურულის ქვედა ნაწილის უძველესი გრაბტოლითები, *Dendroidea*-ს ჯგუფიდან, წარმოადგენენ მიმაგრებულ ბენტონურ ცხოველებს, რომელთაც შემდგომ დასაბამი მისცეს როგორც ფსევდოპლანქტონურ, ისე პლანქტონურ ფორმებს“ [4].

უახლესი მონაცემების თანახმად, კლასი *Scyphozoa*-ს მედუზები წარმოშობილი არიან *Conularida*-საგან, რომელთა უძველესი ფორმები მიმაგრებული ბენტონური ცხოველები იყვნენ. მიმაგრებული კონულარიდებისაგან წარმოიშენენ თავისუფლად მცურავი კონულარიდები, ხოლო ამ უთანასწოებისაგან გარეგანი ქიტინოვანი სკელეტის რედუქციის გზით წარმოიშვა ნამდვილი სციფოიდური *Neoscyphozoa*. კიდრლენის მიხედვით ამ სციფოიდებს, როგორც ჩანს, არა აქვთ უშუალო ფალოგენეტური კავშირი იმ უძველეს ჯგუფთან, რომელსაც ეკუთვნიან ჯერ კიდევ უოლკოტის მიერ აღწერილი კამბრიული მედუზები.

ძლიერ დიდი ცვლილებები მოხდა *Anthozoa*-ს ეკოლოგიაში, მათ განაწილებაში ზღვის სხვადასხვა ბათიმეტრული არეებში მიხედვით. კერძოდ, პალეოზოური ცალედი *Zoantharia* რიგი *Rugosa*-დან ფართოდ იყო გავრცელებული თხელი წყლის შლამიანი ფსკერის უბნებში, —მეზოზოური და კინოზოური ზოანთარიებისათვის უჩვეულო პირობებში. სილურიდან კინოზოურამდე არსებითად შეიცვალა, გაიზარდა ზოანთარიების როლი რიფების აგებაში [5].

3. გეოლოგიური დროის მანძილზე მნიშვნელოვნად შეიცვალა მხაროთფეხიანთა სხვადასხვა ჯგუფის გავრცელების არეები. თანამედროვე მხაროთფეხიანები იშვიათად გვხვდებიან თხელი წყლის ზოლში [6]. მხაროთფეხიანთა დიდი უმეტესობა ცხოვრობს დიხფოტურ და აფოტურ ზონებში, ე. ი. 80 მ იზობატის უფრო ღრმად. ზოგიერთი მათგანი არ იყო შემჩნეული აბისური არის საზღვარს იქით. პალეოზოურში კი ცნობილი იყო ეფვოტურ ზოლში მცხოვ-

რები მრავალი ფორმა, მრავალი ლიტორული სახე. შედარებით ღრმა წყლის ფორმები, ალბათ, საგრძნობლად, ნაკლები იყო.

4. ეკალკანიანთა პალეონტოლოგიური ისტორიაა ეკოგენეტური თვალსაზრისით ბევრ ძლიერ მნიშვნელოვან ფაქტს ამკლავებს.

ზღვის შროშნები პალეოზოოურში და მეზოზოოურშიც კი უმთავრესად თხელი წყლის ზოლში იყვნენ გავრცელებული, უპირატესად ევფოტურ პირობებში მხოლოდ უმწიფეწლო უმცირესობა იყო დაკავშირებული სხვა საბინადროსთან. მოგვიანებით არსებითი ცვლილებები ხდება. ამაზე მიუთითებს ზღვის შროშნების, როგორც ქანაშაშენთა, როლის სწრაფი დაცემა და კრიზიდებთან კირქვების წვლილის შემცირება ორგანოგენული კარბონატული ქანების საერთო ჯამში.

ძლიერ საყურადღებოა ზღვის ზღარბთა ეკოგენია. უძველესი, უპრიმიტივესი ზღარბები თხელი წყლის ზღვის ბინადარნი იყვნენ, ისინი, ალბათ, ევფოტურ ზონაში და ამასთანავე მეტ-ნაკლებად დაცულ რბილიადაგიან უბებში სახლობდნენ [7]. შემდეგ, ზედა პალეოზოურიდან კანოზოურამდე, ზღარბების კლასი მნიშვნელოვან ეკოგენეტურ ცვლილებებს განიცდის და მისი სხვადასხვა ტოტი სულ სხვადასხვაგვარ ეკოლოგიურ ნიშებს ესწრაფვის [7, 8]. „ზღვის ფსკერის თითოეულ სახესხვაობას, ამბობს ჰოუკინსი ([7], გვ. 53), თვისი ექინოიდური ბინადარნი ახასიათებთ, იქნება ეს მყუდრო ლაგუნა თუ ქარიშხალს ჩვეული რიფი, ტალღათა მოქცევა-მიქცევის პლიაჩი თუ აბისური მორევი; გარემოს თითოეულ სახესხვაობაში ზღარბებს ისეთი აღნაგობა მიუღიით, რომელიც ზუსტად უზუსუებს ადგილის მოთხოვნებს“. ამრიგად, ზღარბების ისტორია გრანდიოზული ეკოგენეტური ექსპანსიის მაგალითს წარმოადგენს.

5. პალეონტოლოგები მოლუსკების ტიპის ეკოგენიის მრავალ ფაქტს იცნობენ. უძველესი მოლუსკები, ალბათ, მოძრავი, ბილატერალურ-სიმეტრიული ფსკერის ცხოველები იყვნენ. კლ. *Amphineura*, რომელმაც შეინარჩუნა გადაადგილების ეს საშუალება, ხეულის აღნაგობის ძირითადი ნაშენების მიხედვით მოლუსკების წინაპარ ჯგუფთან უფრო ახლო დვას. მოძრავ-ბენტონური ცხოვრების პირობები დამახასიათებელია აგრეთვე *Scaphopoda*, *Gastropoda* და *Lamellibranchiata*-სათვის...

ადრიან მეზოზოურში ზოგიერთ მუცელთფეხიანს უფითარდება სიფონოსტომური აპერტური, ხოლო მასთან დაკავშირებულმა მორფოფიზიოლოგიულმა თავისებურებებმა ამ ფორმებს ნაკლებ ხელსაყრელ და უფრო ღრმა საბინადროში გადასვლის ახალი საშუალებანი მიანიჭა, რაც მანამდე ამ კლასისათვის მიუწვდომელი იყო. პლანქტონური მუკლოფეხიანები — *Heteropoda* და *Pteropoda* — უთუოდ ბენტონური ფორმებიდან განვითარდნენ. თავთფეხიანები, ისე როგორც მოლუსკების სხვა კლასები, მოძრავ-ბენტონურ წინაპართაგან წარმოიშენენ... თავთფეხიანებში საუკეთესო მცურავეებს წარმოადგენს ტრიასში (ან რამდენამდე უფრო ადრე) გაჩენილი *Endocochlia*, რომელსაც გაშლალ ოკეანეთა დიდი სიგრძეების ათვისება შეუძლია, სადაც წინათ დასახლება ძნელი იყო ცურვაში ნაკლებად დახელოვნებულ *Ectocochlia*-სათვის. უფრო აქტიური

და ძლიერი მცურავები შიგანიჭარიანებრდან — *Senioidea* და *Teuthoidea*, ცხაღია, *Belemnioidea*-ზე უფრო გვიან გაჩნდნენ... თანამედროვე ენდოკოქლიათა შორის ღრმა წყლის ფსკერის ფორმებიც მოიპოვებიან. ცხოვრების ასეთ რაგვარობას, ამ შემთხვევაში, უდავოდ შეორადი ხასიალი აქვს ([4], გვ. 20).

6. პალეონტოლოგები დიდ ყურადღებას აქცევენ ფეხსახსრიანების ზოგიერთი ჯგუფის ეკოგენიის საკითხებს.

სამეცნიერო ლატერატურაში ევრიპტერიდების ეკოგონეტურმა ისტორიამ გაცხოველებული მსჯელობა გამოიწვია, გამოითქვა და ახლაც გამოითქმის შრავალი ერთიმეორის საწინააღმდეგო მოსაზრება. გრაბაუ [9, 10] და ო. კონელი [11] ამტკიცებენ, რომ სილურული ევრიპტერიდები ძირითადად მდინარეთა ბინადარნი არიან, მაშინ როდესაც რიუდემანი ([12], გვ. 382) ამ ფეხსახსრიანებს თვლის ზღვური წარმოშობის, სილურულ ზღვებში მცხოვრებ ჯგუფად, თუმცა კარბონულში ისინი უკვე მტკნარი წყლის ცხოველებს წარმოადგენენ. ევრიპტერიდების საცხოვრებელი გარემოა და პალეოზოურ აუზებში მათი ცხოვრების პირობების შეცვლის შესახებ ძლიერ საინტერესო მოსაზრებანი აქვს მოყვანილი რომერს ერთ-ერთ თავის შრომაში [13].

7. რაც შეეხება პირველად-წყლის ხერხემლიანებს, მაგალითად, უძველეს თევზებს (ვრცელი გაგებით), ისინი წარმოადგენენ ძლიერ თხელ წყალში მცხოვრებ ფსკერის ცხოველებს.

ამ ვრცელი ჯგუფის ნექტონურ, ნამდვილ თევზებისათვის ტიპობრივ ცხოვრებაზე გადასვლის ისტორიის მოკლე მიმოხილვა შეიძლება ინახოს ა. ჰეინციის [14] სტატიაში „როგორ ისწავლეს თევზებმა ცურვა“.

უძველეს ხერხემლიანთა მტკნარი წყლიდან წარმოშობის ჰიპოთეზს მრავალი მკვლევარი ავითარებს. ამ შეხედულებას იზიარებს არა ერთი მეცნიერი გეოლოგი, პალეოზოოლოგი და პალეობოტანიკოსი, და კერძოდ ჩემპერლენი [5], მაკფარლენი [16], რომერი [13]. ჩემპერლენის მიხედვით, უძველესი თევზები ცხოვრობდნენ და ვითარდებოდნენ მიმდინარე წყლებში, ზუღეში მდინარეებში (სადაც ამ ცხოველთა წინაპრებს შეეძლოთ მიგრირება ოკეანიდან). ასეთ მოსაზრებებს გამოსთქვამდნენ არა მარტო პალეონტოლოგები და გეოლოგები, არაჲდ აგრეთვე ეკოლოგები, ფიზიოლოგები და ბიოქიმიკოსები. ე. ბოლდვინი შრომაში „შედარებითი ბიოქიმიის შესავალი“ [17] იმ დასკვნამდე მიდის, რომ „ყველა თევზი, ალბათ, მტკნარი წყლის წარმოშობის არის“. უნდა აღვნიშნოთ, რომ პირველად-წყლის ხერხემლიანთა მტკნარ წყალში წარმოშობა არ შეიძლება დამტკიცებულად ჩაითვალოს. ვ. გროსი ([18], გვ. 14) აღნიშნავს, რომ ძველი პალეოზოური თევზების გეოლოგიური ისტორიის დასაწყისში ჩვენ მათ ვხვდებით როგორც მტკნარ კონტინენტურ, ისე ლავუნურ და ზღვურ საბინადროებში. ამ ავტორს ეჭვი არ ეპარება, რომ „თევზების ისტორია ზღვაში დაიწყო“ და მიუთითებს ძველპალეოზოურ ზღვურ თევზთა ცნობილ საბინადროებზე (კუნძ. ვხელი, პოდოლია. ჩეხია, რაინის ოლქი, ინგლისი, ჩრდილო ამერიკა და სხვა).

ძვლიანი თევზების, განსაკუთრებით სხივურფარულიანების, ისტორია დევონურიდან კაინოზოურამდე იძლევა ძვლიანების (*Teleostei*-ს) მიერ მაქსიმალ-

ლურად მიღწეული საერთო ევოლუციური პროგრესისა და ეკოგენეტური ექსპანსიის ნათელ და დამაჯერებელ სურათს.

8. ოთხფეხა ხერხემლიანთა *Tetrapoda*-ს ეკოგენიის მრავალი საერთო ნიშანი საკმაოდ ცნობილია. ამფიბიები, ქვეწარმავლები, ფრინველები და ძუძუმწოვრები შეეგუენ ხმელეთასა და წყლის გარემოს სხვადასხვა პირობას. ამ ოთხი კლასის წარმომადგენლები ადაპტაციის ძლიერ დიდ სხვადასხვაობას ამჟღავნებენ. ტეტრაპოდათა ეკოგენეტური ექსპანსია დამოკიდებულია არა მარტო ადაპტურ რადიაციებზე, არამედ ევოლუციური პროგრესით მიღწეულ წარმატებებზე, რომელნიც ზოგჯერ ძლიერ მნიშვნელოვანნი არიან.

9. ბევრი დაიწერა აგრეთვე მცენარეთა სამყაროს ეკოგენეტური ექსპანსიის მნიშვნელობაზე. ერთ-ერთ ჩვენ მიერ ამასწინათ გამოქვეყნებულ შრომაში ვცადეთ მოგვეცა ამ ისტორიული პროცესის საერთო მიმოხილვა ჩვენთვის მისაწვდომი გეოლოგიური დროის მანძილზე [4]. აქ ჩვენ დავკმაყოფილდებით მხოლოდ ფარულთესლიანთა ექსპანსიის ერთ-ერთი ძირითადი მომენტის აღნიშვნით, იმ მომენტის, რომელსაც პირველად ყურადღება მიაქცია ჯერ კიდევ ვ. კოვალევსკიმ—ესაა გაშლილი სივრცეების ბალახოვანი მცენარეულობით დაფარვა, რაც ნამდვილი ტრამალის ფლორის გამოუმუშავებასთან არის დაკავშირებული. როგორც ცნობილია, ვ. კოვალევსკი ამასთან აკავშირებდა მესამეული პერიოდის მეორე ნახევარში ჩლიქოსანთა გამოსვლას ტყის გარემოდან გაშლილ სივრცეებზე.

იმ დასკვნამდე, რომ ბალახოვან ფარულთესლიანთა ექსპანსია შეიძლება მომხდარიყო არა უადრეს მესამეული პერიოდის მეორე ნახევრისა, მიუყვართ აგრეთვე უკანასკნელ ათეულ წელთა ბოტანიკურ და პალეობოტანიკურ გამოკვლევებს [19, 20, 21, 22]. უახლესი პალეობოტანიკური მონაცემები ადასტურებს, რომ ტრამალთა და პერიიათა ფარულთესლიანები გავრცელდნენ არა შორეულ გეოლოგიურ დროში, ალბათ, არა უადრეს მესამეული პერიოდის მეორე ნახევრის დასაწყისისა. ეს დასტურდება ელიასის გამოკვლევებით [23, 24].

ეკოგენიის საკითხების გამორკვევა შესაძლებელია ნამარხ ორგანიზმთა ყველა ძირითადი ტიპის ისტორიაში. მაგრამ ასეთი კვლევა დიდ სიძნელესთან არის დაკავშირებული და განხორციელდება მხოლოდ მაშინ, როდესაც ყოველმხრივად იქნება შესწავლილი სიცოცხლის განვითარება და შესატყვის ეპოქათა და პერიოდების გეოლოგიური ისტორია. ამასთანავე განსაკუთრებით მნიშვნელოვანია მუდამ გვახსოვდეს გეოლოგიური მატინის უსრულობის დარღვის ისტორიული კონცეფცია. წინააღმდეგ შემთხვევაში ჩვენი ეკოგენეტური მოსაზრებანი შეიძლება მცდარნი აღმოჩნდნენ. ამრიგად, ამა თუ იმ ჯგუფის ეკოგენეტური ექსპანსია მისი ისტორიის გარკვეულ მომენტში შესაძლოა მოჩვენებითი იყოს, გამოწვეული მით, რომ ჩვენ არა გვაქვს საკმარისი წარმოდგენა წინა ეპოქაში ამ ჯგუფის გავრცელების შესახებ. თუ, მაგალითად, სილურულში ჩვენ მხოლოდ თხელი წყლის ზღვის შროშნები გვხვდება, ეს კიდევ არ მოასწავებს იმას, რომ ისინი იმ დროს ზღვის გარემოს სხვა არეებში არ მოიპოვებოდნენ. ძველ სისტემათა ღრმა ზღვის ფაციესები უფრო სუსტა-

დაა შესწავლილი, ვიდრე თხელი წყლის, ამიტომ სილურის ბათიალურ და აბისურ შროშანთა ირგვლივ ცნობების უქონლობა არ ჩაითვლება იმის დამადასტურებელ საბუთად, რომ შროშანები იმ დროს მართლაც არ არსებობდნენ.

ეკოგენის საკითხების გამორკვევის დროს პალეონტოლოგს არ შეუძლია შემოიფარგლოს მხოლოდ იმ ისტორიული ფაქტებით, რომელნიც პირდაპირ მიუთითებენ შესასწავლ ორგანიზმთა ჯგუფის ეკოლოგიური გავრცელების ცვლილებებზე, ასეთი ფაქტები, ჩვეულებრივ, ძლიერ მცირე და იშვიათია და ამიტომ ვერ ჩაითვლებიან სერიოზულ ეკოგენეტურ წარმოდგენათა ერთადერთ საფუძვლად. ამ ფაქტების მეშვეობით მიღებული დასკვნები უნდა განმტკიცდეს სხვა წყაროებიდან მიღებული მონაცემებით და ზოგადი თეორიული მოსაზრებებით.

ეკოგენეტური დებულებები უნდა დადასტურდეს, უპირველეს ყოვლისა, ფილოგენეტურ დამოკიდებულებათა გამორკვევით, იმ ფორმათა განვითარების თანამიმდევრობით, რომელნიც ბუნებრივი კლასიფიკაციის ერთსა და იმავე ჯგუფს ეკუთვნიან. ცხენის ოჯახის კენტოლიქიან წარმომადგენლებს არ შეეძლოთ მრავალჩლიქიანზე უფრო ადრე გაჩენა, და ამიტომ, ამ შემთხვევაში, ეკოგენეზი მოდიოდა არა ტრამალთა და პრერიათა ბინადართაგან ტყეების ბინადრებთან, არამედ წინაუქმო. კარგად დადგენილი ადაპტური რადიაციის თითოეულ შემთხვევაში ეკოგენეზის გზებზე მაშინაც კი ნათელია, როდესაც გეოლოგიური მატიაზე თვისი სიღარიბის გამო არავითარ დადებით ფაქტებს არ იძლევა.

ეკოგენეტური განვითარების, განსაკუთრებით კი ეკოგენეტური ექსპანსიის მსვლელობა შეიძლება განმტკიცდეს აგრეთვე შესატყვისი ჯგუფების ევოლუციური პროგრესის მონაცემებით. თევზები კი არ წარმოშობილან ამფიბიებისაგან, არამედ ამფიბიები თევზისნაირი პირველად წყლის ხერხემლიანებისაგან; ქვეწარმავლებმა კი არ მისცეს დასაბამი ამფიბიებს, არამედ ამფიბიებმა ქვეწარმავლებს. ამიტომ, ამ შემთხვევაში ეკოგენეზი მოდიოდა წყლის გარემოდან ხმელეთის გარემოსკენ და არა წინაუქმო.

გარდა ამისა, თვით ცხოვრების სარბიელის იმ არეების ხასიათი, რომლებსაც გაივლიან ორგანიზმთა გარკვეული კლასები და რიგები თავის ეკოგენეზში, ხშირად მიგვითითებს ერთი გარემოდან მეორეში, მეორედან მესამეში და ა. შ. გადასვლის ერთადერთ შესაძლებელ წესზე. უძველესი ხმელეთის მცენარეები არავითარ პირობაში არ შეიძლება ყოფილიყვნენ ქსეროფიტები. წყლიდან ახლადამოსული ხერხემლიანები ვერ იქნებოდნენ არიდულ პირობებისადმი შეგუებულნი. ფრენის უნარიანობას მწერებში, რეპტილიებში, ფრინველებსა და ძუძუმწოვრებში წინ უსწრებდა ლოკომოციის გარკვეული სახმელეთო ხერხები. წყლის ძუძუმწოვრები ვერ იქნებოდნენ ამ კლასის ხმელეთის წარმომადგენლების მთელი ლეგიონის მამამთავარი. იგივე შეიძლება ითქვას წყლის ქვეწარმავალთა სხვადასხვა რიგზეც.

დაბოლოს, ეკოგენეტური მოსაზრებანი პალეონტოლოგისა, რომელიც სწავლობს ნამარხ ორგანიზმთა ისტორიას, შეიძლება განმტკიცდეს თანამედ-

როვე ცხოველთა და მცენარეთა ეკოლოგიისა და ზოოლოგიის მონაცემებით. ეს შესაძლოა ითქვას, მაგალითად, წყლის ზოგიერთი ცხოველის წარმოშობის საკითხზე, ორგანიზმების წყლის გარემოს ერთი არიდან მეორეში გადასვლაზე და სხვა.

საქართველოს სსრ მეცნიერებათა  
აკადემია

(რედაქციას მოუვიდა 15.2.1947)

დანიშნული ლიტერატურა

1. Dettò. Die Theorie der direkten Anpassung. Jena, 1904.
2. F. W. Neger. Biologie der Pflanzen. Stuttgart, 1913.
3. Н. И. Андрусов. О характере и происхождении сарматской фауны. Горный журнал, т. 1, 1891, стр. 241—280.
4. ლ. შ. დავითაშვილი. Дарвинизм и проблема накопления горючих ископаемых. Вестник Государственного Музея Грузии, XII-A, 1943.
5. Н. Н. Яковлев. Существуют ли коралловые рифы в палеозое? Издательство Геол. ком., XXX, № 10, 1911, стр. 847—857.
6. J. A. Thomson. Brachiopod morphology and genera (recent and tertiary). New Zealand Board of Science and Art. Manual, No. 7, 1927.
7. H. L. Hawkins. Evolution and habit among the Echinoida: some facts and theories Quart. Journ. Geol. Soc. Lond., Vol. XLIX, parts 1 and 2 1943, p. LII—LXXV.
8. A. Tornquist. Die biologische Deutung der Umgestaltung der Echiniden im Paläozoikum und Mesozoikum. Zeitschr. für Indukt. Abstammungs u. Vererbungslehre. Bd VI, H. 1 u. 2, 1911, S. 29—60.
9. A. W. Grabau. Ancient delta deposits of North America. Bull. Geol. Soc. of North Amer., Vol. XXIV, 1913, p. 498—526.
10. A. W. Grabau. Principles of stratigraphy. N. Y., 1932.
11. M. O'Connell. The habitat of the Eurypterida. Bull. Geol. Soc. of North Amer., Vol. XXIV, 1913, p. 499—515.
12. R. Ruedemann. Eurypterids in graptolite shales. Amer. Journ. of Sci., 5—th ser., Vol. XXVII, No. 101, 1934, p. 374—385.
13. A. S. Romer. Eurypterid influence on vertebrate history. Science, vol. 78, N. 2015, 1933, p. 114—117.
14. A. Heintz. How the fishes learned to swim. Smithsonian rept. for 1934, p. 223—245.
15. T. C. Chamberlin. On the habitat of the early vertebrates. Journ. Geol., vol VIII, No 1, 1900, p. 400—412.
16. Mac Farlane. The Evolution and Distribution of Fishes. N. Y., 1923.
17. E. Baldwin. An introduction to comparative biochemistry. N. Y., 1937.
18. W. Gross. Die phylogenetische Bedeutung der altpaläozoischen Agnathen und Fische. Paläont. Zeitschr., Bd 15, Nr 2/3, 1933, S. 102—137.
19. A. J. Eames. On the origin of the herbaceous type in the angiosperms. Ann. Bot., vol. 25, 1911, p. 215—229.
20. E. W. Sinnott and J. W. Bailey. Investigations on the phylogeny of the angiosperms. Ann. Bot., vol. 28, 1914, p. 547—600.

21. E. W. Sinnott. The evolution of herbs. Science, n. s., v. 44, 1916.
22. F. H. Knowlton. Evolution of geologic climates. Bull. Geol. Soc. Amer., vol. 30, 1919, p. 499—566.
23. M. K. Elias. Tertiary grasses and other prairie vegetation from High Plains of North America. Amer. Journ. Sci. Vol. XXIX, 1935, p. 24—33.
24. M. K. Elias. Tertiary Prairie Grasses and other herbs from the High Plains. Specta, papers of the Geol. Soc. of Amer., No. 41, 1942.



ტექნიკა

რ. ლორთქიფანიძე

## სწორკუთხოვანი კვეთის თხელკედლიანი ძელის რხევა

(წარმოადგინა აკად. ნამდვ. წევრმა კ. ზავრიეშვილმა 3.4.1947)

ნაშენი, სეისმომდგრადობაზე ანგარიშის დროს, ნაწილდება ბრტყელ სისტემებად და უყურადღებოდ რჩება ნაშენის სივრცითი სიხისტე. ამის გამო ნაშენის სეისმომდგრადობაზე ანგარიში, მისი სივრცითი სიხისტის გათვალისწინებით, საინტერესო საკითხს წარმოადგენს. ამ ამოცანის ზუსტი ამოხსნა რთულია იმდენად, რამდენადაც იგი მოთხოვს ბევრ მათემატიკურ გამოთვლას, ამისათვის საჭიროა ზოგიერთი ისეთი გამარტივების შეტანა, რომელიც არ იქონიებს გავლენას მის სიზუსტესა და საბოლოო შედეგზე.

დასაწყისში ჩვენ ვიანგარიშებთ თავისუფალი რხევის პერიოდს და იძულებითი რხევის ამპლიტუდას სწორკუთხოვანი კვეთის თხელკედლიანი ძელისათვის. ასეთი ძელი წარმოადგენს ნაშენის კონტურის პირველ მიახლოებას და მას თავისთავადაც აქვს მნიშვნელობა წყალსაწინევი კოშკის სეისმოძღვრადობაზე ანგარიშის დროს.

ავიღოთ ერთი ბოლოთი ჩამაგრებული სწორკუთხოვანი-ღრუკვეთიანი ძელი, რომლის  $l$  სიმაღლე 2—3-ჯერ აღემატება განივკვეთის ზომებს (იხ. ნახ. 1). აღნიშნული ფარდობის გამო და კედლების სიხისტის დაშვებით, ძელი საკმაო სიზუსტით ექვემდებარება ბრტყელ კვეთთა ჰიპოთეზას ღუნვაში. ამავე მიზეზით რხევის დროს  $y$  ღერძის გასწვრივ კედელში წარმოშობილი ადგილობრივი მლუნავი მომენტები იქნება მცირე სიდიდეები და შეგვიძლია არ მივიღოთ მხედველობაში.

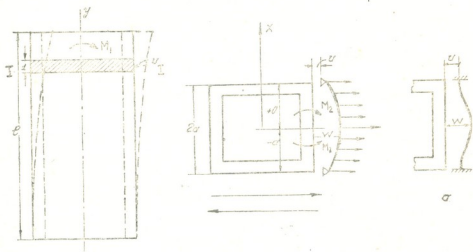
საკმაო სიდიდის იქნება ძელის განივკვეთის სიბრტყეში ინერციის ძალეზისაგან წარმოშობილი მომენტები. ეს კანონი ირღვევა მხოლოდ ძელის საფუძველთან ჩამაგრების სიბრტყეში, ვინაიდან აქ, კედელში, შესაძლებელია გაჩნდეს  $y$  ღერძის გასწვრივ მოქმედი ადგილობრივი გრძივი მომენტები, რომლებიც მცირე გავლენას იქონიებენ მთლიანი სისტემის ღუნვაზე, უფრო სწორად რომ ვთქვათ, მის დინამიკურ სიხისტეზე. ამ დაშვებას ხელს უწყობს ის გარემოებაც, რომ თვით საფუძველს, ვინაიდან იგი ლენტისებურია, აქვს მცირე გადაადგილების შესაძლებლობა განივი მიმართულებით, რაც გამოიწვევს ადგილობრივ გრძივი მომენტის შემცირებას.

ზემო დაშვების შედეგად ძელის კედლებში წარმოიშობა ორგვარი სახის ნორმალური ჰინგები და მისი შესაბამისი დეფორმაციები.

უპირველეს ყოვლისა, თუ კედლების დეფორმაციას არ დავუშვებთ და ძელს განვიხილავთ როგორც კონსოლიან კოქს, ადგილი ექნება მთლიანი ძელის ლუნვისაგან გამოწვეულ გრძივ ჭინვებს. ეს ჭინვები იქნება

$$\sigma_1 = \frac{M_1}{W_1},$$

სადაც  $W_1$  არის მთლიანი ძელის განივკვეთის წინაღობის მომენტი,  $M_1$  არის  $I-I$  კვეთში მოქმედი გრძივი მლუნავეი მომენტი.



ნახ. 1

მეორე წხრივ, გვექნება ძელის კედლის განივი მიმართულებით  $M_2$  მლუნავეი მომენტით გამოწვეული ნორმალური ჭინვა

$$\sigma_2 = \frac{M_2}{W_2}.$$

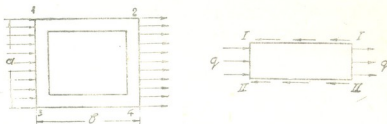
სადაც  $W_2 = \frac{1 \cdot d^2}{6}$ . აქ  $d$  კედლის სისქეა.

ადგილობრივ გრძივ დეფორმაციას არ ვიღებთ მხედველობაში, რაც შემდგომის ტოლფასია: თუ წარმოვიდგინოთ, რომ  $I-I$  და  $II-II$  განივი კვეთით გამოვყავით ერთეული სიმაღლის ძელის ნაწილი, მაშინ, კედლებში ადგილობრივი გრძივი ჭინვების უგულვებელყოფის გამო, გამოყოფილი ნაწილის განივი დეფორმაცია შეგვიძლია განვიხილოთ ისე, თითქოს  $I-I$  და  $II-II$  კვეთები არ იყოს განხორციელებული, ე. ი. კედელში გრძივი შეკავშირების უკუგდება გავლენას არ ახდენს მომენტების განაწილებაზე.

დავუშვათ, რომ ძელიდან გამოყოფილ ნაწილზე მოქმედებს ინერციის ძალებისაგან გამოწვეული თანაბრად განრიგებული ტვირთი, როგორც ნაჩვენებია მე-2 ნახაზზე. საბოლოოდ საინგარიშო სქემა დაიყვანება შეკრული კონტურის მქონე ერთუჯრედიან ჩარჩოზე, რომელიც იღუნება  $q$  ინტენსივობით განაწილებული დატვირთვის ზეგავლენით.

ჩარჩოზე მოქმედი ძალები წონასწორდება 1—2 და 3—4 კედლის წვრივ მოქმედი ტანგენციალური ძალებით. აღნიშნული მდგომარეობა ძალიან ამარტივებს თბულკედლიანი ძელის რხევითი ნოძრაობის დიფერენციალური განტოლების ამოხსნას. აქვე აღვნიშნავთ, რომ დიფერენციალური განტოლების შედგენის ჩვენ მიერ მიღებული ხერხი ისეთია, რომ ღრუ ძელის განივი კვეთის რთული მოხაზულობის დროსაც არ იწვევს არაერთარ პრინციპულ გართულებას, თუ კი დაცულია მისი სიმეტრია. გართულება ნხოლოდ ტექნიკური ხასიათისაა, რაც გამოაჯელებათი საშუალოს გაზრდაში გამოიხატება. გამოთვლები საკმაოდ დიდი ჩვენს შემთხვევაშიც.

ვინიდან ჩვენი მიზანია კედლის მოქნილობის მთლიან დინამიკურ სიხისტეზე გავლენის შეფასების დაზუსტება, ამიტომ დავეყუფილდებით ორი უკიდურესი შემთხვევის განხილვით.



ნახ. 2

პირველ შემთხვევაში ნახ. 1-ზე აღნიშნული რხევის მიმართულების დროს ვუშვებთ, რომ კედლები 1—2 და 3—4 საკმაოდ მოქნილია, ამ შემთხვევაში 1—3 და 2—4 კედლები შეგვიძლია განვიხილოთ როგორც ბოლოებით თავისუფლად დაყრდნობილი სისტემა. მეორე შემთხვევაში ვუშვებთ, რომ 1—2 და 3—4 კედლები ხისტია და 1—3 და 2—4 კედლებს წარმოვიდგენთ როგორც ბოლოებით ხისტად ჩამაგრებულს.

განვიხილოთ ის შემთხვევა, როდესაც განივი კედლები თავისუფლად და დაყრდნობილი გრძივ კედლებზე შევადგინოთ დიფერენციალური განტოლება. პირობის თანახმად, დეფორმაციები განაწილდება ისე, როგორც ნაჩვენებია 1-ელ ნახაზზე.

მიღებულია აღნიშვნები:

- $I_1$  — ღრუ ძელის ინერციის მომენტი,
- $q_1$  — მთლიანი ძელის გრძივი მეტრის წონა,
- $I_2$  — ერთეული სივანის გაღუნული კედლის ინერციის მომენტი,
- $q_2$  — გაღუნული კედლის კვადრატული მეტრის წონა,
- $2a$  — გაღუნული კედლის მალი,
- $E$  — დრეკადობის მოდული.

იმავე ნახაზზე ისრებით ნაჩვენებია რხევის მიმართულება.

აღნიშნოთ მთლიანი ძელის გადაადგილება ( $y$ ,  $z$ ). ეს გადაადგილება წარმოადგენს  $y$  ღერძისა და დროს  $t$ -ს ფუნქციას.

$w(x, y, t)$ -ით აღვნიშნოთ კედლის გადაადგილება. ეს გადაადგილება სხვადასხვა წერტილში სხვადასხვაინარია, იგი დამოკიდებულია  $y$  ღერძის გასწვრივ გამოყოფილი უბნისა და  $x$  ღერძის მიმართ კედლის წერტილის მდებარეობაზე.

კედლიდან გამოყოფილი ნაწილის რხევის დიფერენციალური განტოლება დაიწერება:

$$\frac{\partial^4 w(x, y, t)}{\partial x^4} = \frac{q_2}{gEI_2} \frac{\partial^2 w(x, y, t)}{\partial t^2}. \quad (1)$$

მთლიანი დგარის რხევის დიფ. განტოლება მიიღებს შემდეგ სახეს:

$$\frac{\partial^4 u(y, t)}{\partial x^4} = \frac{P(y, t)}{EI_1}, \quad (2)$$

სადაც  $P(y, t)$  არის  $y$  ღერძის გასწვრივ ერთეული სიგრძის ძელის სრული ინტენსივობა.

ვინაგარიშით  $P(y, t)$ . უპირველეს ყოვლისა, მთლიანი ძელის რხევით გამოწვეული ინერციის ძალა, განივი მიმართულებით დამატებითი მოქნილობის მიუხედავად, იქნება  $P_1$ . იგი ტოლია

$$P_1(y, t) = -\frac{q_1}{g} \frac{\partial^2 u(y, t)}{\partial t^2}. \quad (3)$$

$y$  ღერძის გასწვრივ ერთეული სიგრძის ძელის ღუნვისაგან გამოწვეული დამატებითი ინერციის ძალა ტოლია

$$P_2(y, t) = -2 \frac{q_2}{g} \int_{-a}^{+a} \left[ \frac{\partial^2 w(x, y, t)}{\partial t^2} - \frac{\partial^2 u(y, t)}{\partial t^2} \right] dx. \quad (4)$$

ამრიგად, ინერციის ძალა

$$P(y, t) = P_1(y, t) + P_2(y, t). \quad (5)$$

ვინაიდან ჩვენ ვიხილავთ მდგარ ტალღებს, შეგვიძლია მივიღოთ:

$$\left. \begin{aligned} w(x, y, t) &= w_0(x, y) \cos pt \\ u(y, t) &= u_0(y) \cos pt \end{aligned} \right\} \quad (6)$$

ამრიგად,

$$\left. \begin{aligned} \frac{\partial^2 u(y, t)}{\partial t^2} &= -p^2 u_0(y) \cos pt \\ \frac{\partial^2 w(x, y, t)}{\partial t^2} &= -p^2 w_0(x, y) \cos pt \end{aligned} \right\} \quad (7)$$

(3), (4), (5), (6), (7) დიფ. განტოლებების საშუალებით (1) და (2) მიიღებს სახეს

$$\frac{\partial^4 w_0(x, y)}{\partial x^4} = \alpha^4 w_0(x, y). \quad (1')$$

აქ

$$\alpha^4 = \frac{q_2 p^2}{gEI_2}$$

და

$$\frac{\partial^4 u_0(y)}{\partial y^4} = \frac{q_1 p^2}{g E I_1} u_0(y) + 2 \frac{q_2 p^2}{g E I_2} \int_{-a}^{+a} [w_0(x, y) - u_0(y)] dx, \quad (2')$$

ასეთია დასმული ამოცანისათვის ზოგადი ინტეგრირ-დიფერენციალური განტოლება. ჩვენ აქ სასაზღვრო პირობები არ მიგვაღია მხედველობაში, ამის გამო ეს განტოლებები ზოგადი სახისაა და გამოდგება ჩამავრების ყოველგვარი შემთხვევისათვის.

განვიხილოთ განივი ძელის სახსრული დაყრდნობის შემთხვევა. მიღებული (1') დიფ. განტოლების ზოგად ამოხსნას ექნება სახე:

$$w_0(x; y) = c_1(\cos ax + ch ax) + c_2(\cos ax - ch ax) + c_3(\sin ax + sh ax) + c_4(\sin ax - sh ax).$$

სიმეტრიის გამო  $w_0(x, y) = w_0(-x, y)$ , რაც გვაძლევს, რომ  $c_3 = c_4 = 0$ . ამრიგად,

$$w_0(x, y) = c_1(\cos ax - ch ax) + c_2(\cos ax + ch ax). \quad (8)$$

სასაზღვრო პირობების თანახმად (ნახ. 1),

თუ

$$x = a; \quad w_0(x, y) = u_0(y); \quad \frac{\partial^2 w_0(x, y)}{\partial x^2} = 0$$

და გავიხსენებთ, რომ

$$\mu = a a, \quad (9)$$

მივიღებთ:

$$c_1 = \frac{ch \mu + \cos \mu}{4 \cos \mu ch \mu} u_0(y), \quad c_2 = \frac{ch \mu - \cos \mu}{4 \cos \mu ch \mu} u_0(y).$$

განსახილველი შემთხვევისათვის მწელი არ არის გამოთვლა, რომ

$$w_0(x, y) = \frac{u_0(y)}{2 \cos \mu ch \mu} (\cos \mu ch ax + ch \mu \cos ax). \quad (10)$$

განვიხილოთ ახლა განტოლება (2'). რამდენადაც

$$\int_{-a}^{+a} [w_0(x, y) - u_0(y)] dx = \frac{a u_0(y)}{\mu \cos \mu ch \mu} (\cos \mu sh \mu + ch \mu \sin \mu - 2\mu \cos \mu ch \mu) = \frac{a u_0(y)}{\mu} (th \mu + tg \mu - 2\mu),$$

(2') განტოლება გადაიწერება შემდეგი სახით:

$$\frac{\partial^4 u_0(y)}{\partial y^4} = \frac{p^2}{g E I_1} \left[ q_1 + \frac{2 q_2 a}{\mu} (th \mu + tg \mu - 2\mu) \right] u_0(y). \quad (11)$$

$u_0(y)$ -ის კოეფიციენტი არ არის დამოკიდებული  $y$ -ზე, ამისათვის შეიძლება დაიწეროს

$$\frac{\partial^4 u_0(y)}{\partial y^4} = \beta^4 u_0(y), \text{ სადაც} \quad (12)$$

$$\beta^4 = \frac{p^2 q_1}{g E I_1} \left[ 1 + \frac{k}{\mu} (\operatorname{th} \mu + \operatorname{tg} \mu - 2\mu) \right], \quad k = \frac{2q_2 a}{q_1}. \quad (13)$$

(12) და (13) განტოლებიდან გამომდინარეობს, რომ თხელკედლიანი ძე-ლისთვის მიღებული დიფ. განტოლება ემთხვევა მთლიანი კვეთის ძელის (14) განტოლებას იმავე ინერციის მომენტით.

$$\frac{\partial^4 u}{\partial y^4} = \beta_1^4 u, \quad (14)$$

სადაც 
$$\beta_1^4 = \frac{p^2 q}{g E I_1},$$

მაგრამ აქ 
$$q = q_1 \left[ 1 + \frac{k}{u} (\operatorname{th} \mu + \operatorname{tg} \mu - 2\mu) \right] = s q_1. \quad (15)$$

ამრიგად, მამრავლი  $s$  წარმოადგენს შემასწორებელ კოეფიციენტს, რომლის ნამრავლი  $q_1$ -ზე გვაძლევს  $q$  დატვირთვისათვის ეკვივალენტურ ინტენსივობას. მთლიანკვეთიან ძელს ეკვივალენტური დატვირთვით იგივე თავისუფალი რბევის სიხშირე აქვს, რაც განსახილველ ღრუ ძელს.

თავისუფალი რბევის სიხშირის კოეფიციენტების განმსაზღვრელი მახასიათებელი განტოლება ერთი ბოლოთი ჩამაგრებული ძელისათვის, როგორც ვიცით, იქნება:

$$1 + \cos \rho \operatorname{ch} \rho = 0, \quad (16)$$

სადაც 
$$\rho = \beta l.$$

აქედან ამოიხსნება პირველი ორი ფესვი:  $p_1 = 1,875$ ,  $p_2 = 4,6941$ .

თუ ამოვხსნით (16) შესაბამის მნიშვნელობას  $\beta$ -სას და ჩავსვამთ მას 13-ში, მივიღებთ ტრანსცენდენტულ განტოლებას, საიდანაც შეგვიძლია ამოვხსნათ  $p_1, p_2, \dots$  ა. შ. სიხშირის კოეფიციენტები. იგივე ანალოგია შეიძლება გამოვიყენოთ დგარის იძულებითი რბევის ელემენტების განსაზღვრის დროს, თუ დგარის ჩამაგრებული ბოლო განიცდის ჰარმონიულ რბევას შემდეგი კანონით:

$$u(o, t) = b \cos mt. \quad (17)$$

მოვიყვანოთ შუა შედეგი გრძივი მლუნავი  $M_1$  მომენტისათვის [1]:

$$M_1 = E I_1 \frac{\partial^2 u}{\partial y^2} = \frac{1}{2} E I_1 \beta^2 \left\{ (\operatorname{ch} \beta y - \cos \beta y) + \frac{1}{1 + \cos \rho \operatorname{ch} \rho} [\sin \rho \operatorname{sh} \rho (\operatorname{ch} \beta y + \cos \beta y) - (\cos \rho \operatorname{sh} \rho + \operatorname{ch} \rho \sin \rho) (\sin \beta y + \operatorname{sh} \beta y)] \right\}. \quad (18)$$

$\beta$ -ს მნიშვნელობა იგივეა, რაც (13)-ში, რასაკვირველია, იმ პირობით, თუ  $p$ -ს შევცვლით  $m$ -ით.

გრძივი მლუნავი მომენტი დგარის ფუძეში, როცა  $y=0$ , ტოლია

$$M_{1y=0} = E I_1 \beta^2 \frac{\sin \rho \operatorname{sh} \rho}{1 + \cos \rho \operatorname{ch} \rho}. \quad (19)$$

$u_0(y)$ -ის კოეფიციენტი არ არის დამოკიდებული  $y$ -ზე, ამისათვის შეიძლება დაიწეროს

$$\frac{\partial^4 u_0(y)}{\partial y^4} = \beta^4 u_0(y), \quad \text{სადაც} \quad (12)$$

$$\beta^4 = \frac{p^2 q_1}{g E I_1} \left[ 1 + \frac{k}{\mu} (\operatorname{th} \mu + \operatorname{tg} \mu - 2\mu) \right], \quad k = \frac{2q_1 a}{q_1}. \quad (13)$$

(12) და (13) განტოლებიდან გამომდინარეობს, რომ თხელკედლიანი ძელისთვის მიღებული დიფ. განტოლება ემთხვევა მთლიანი კვეთის ძელის (14) განტოლებას იმავე ინერციის მომენტით

$$\frac{\partial^4 u}{\partial y^4} = \beta_1^4 u, \quad (14)$$

$$\text{სადაც} \quad \beta_1^4 = \frac{p^2 q}{g E I_1},$$

$$\text{მაგრამ აქ} \quad q = q_1 \left[ 1 + \frac{k}{\mu} (\operatorname{th} \mu + \operatorname{tg} \mu - 2\mu) \right] = s q_1. \quad (15)$$

ამრიგად, მამრავლი  $s$  წარმოადგენს შემასწორებელ კოეფიციენტს, რომლის ნამრავლი  $q_1$ -ზე გადაძლევს  $q$  დატვირთვისათვის ეკვივალენტურ ინტენსივობას. მთლიანკვეთიან ძელს ეკვივალენტური დატვირთვით იგივე თავისუფალი რხევის სიხშირე აქვს, რაც განსაზღვრულ ღრუ ძელს.

თავისუფალი რხევის სიხშირის კოეფიციენტების განსაზღვრელი მახასიათებელი განტოლება ერთი ბოლოთი ჩამაგრებული ძელისათვის, როგორც ვიციტ, იქნება:

$$1 + \cos \rho \operatorname{ch} \rho = 0, \quad (16)$$

$$\text{სადაც} \quad \rho = \beta l.$$

აქედან ამოიხსნება პირველი ორი ფესვი:  $\rho_1 = 1,875$ ,  $\rho_2 = 4,6941$ .

თუ ამოვხსნით (16) შესაბამის მნიშვნელობას  $\beta$ -სას და ჩავსვათ მას 13-ში, მივიღებთ ტრანსცენდენტულ განტოლებას, საიდანაც შეგვიძლია ამოვხსნათ  $\rho_1, \rho_2, \dots$  ა. შ. სიხშირის კოეფიციენტები. იგივე ანალოგია შეიძლება გამოვიყენოთ დგარის იძულებითი რხევის ელემენტების განსაზღვრის დროს, თუ დგარის ჩამაგრებული ბოლო განიცდის ჰარმონიულ რხევას შემდეგი კანონით:

$$u(\rho, t) = b \cos mt. \quad (17)$$

მოვიყვანოთ მზა შედეგი გრძივი მლუნავი  $M_1$  მოპენტისათვის [1]:

$$M_1 = E I_1 \frac{\partial^2 u}{\partial y^2} = \frac{I}{2} E I_1 b \beta^2 \left\{ (\operatorname{ch} \beta y - \cos \beta y) + \frac{I}{1 + \cos \rho \operatorname{ch} \rho} [\sin \rho \operatorname{sh} \rho (\operatorname{ch} \beta y + \cos \beta y) - (\cos \rho \operatorname{sh} \rho + \operatorname{ch} \rho \sin \rho) (\sin \beta y + \operatorname{sh} \beta y)] \right\}. \quad (18)$$

$\beta$ -ს მნიშვნელობა იგივეა, რაც (13)-ში, რასაკვირველია, იმ პირობით, თუ  $\rho$ -ს შევცვლით  $m$ -ით.

გრძივი მლუნავი მომენტი დგარის ფუძეში, როცა  $y=0$ , ტოლია

$$M_{1y=0} = E I_1 b \beta^2 \frac{\sin \rho \operatorname{sh} \rho}{1 + \cos \rho \operatorname{ch} \rho}. \quad (19)$$

განივი მღუნავი მომენტი კედელში (10) ფორმულის საშუალებით განისაზღვრება:

$$M_z = EI_2 \frac{\partial^2 w_n(x, y)}{\partial x^2} = EI_2 \frac{u_0(y) \alpha^2}{2 \cos \mu \operatorname{ch} \mu x - \operatorname{ch} \mu \cos \alpha x}. \quad (20)$$

როცა  $x=0$ , მივიღებთ

$$M_{z_{x=0}} = \frac{I}{2} EI_2 u_0(y) \alpha^2 \frac{\cos \mu - \operatorname{ch} \mu}{\cos \mu - \operatorname{ch} \mu}. \quad (20')$$

განივი ხილვით განივი კედლების გრძივთან ხისტად ჩამაგრების შემთხვევაში, შევადგინოთ დიფერენციალური განტოლება იმ შემთხვევაში, როდესაც განივი კედელი ხისტად არის ჩამაგრებული გრძივთან. ამოხსნის ხერხი ანალოგიურია ზემოთაღნიშნულ ანგარიშისა.

მერვე განტოლებაში ნებისმიერი მუდმივების განსაზღვრისათვის ნახ. 1-ის მიხედვით უნდა მივიღოთ მხედველობაში, რომ როცა

$$x=a, \quad w_n(x, y) = u_0(y) \quad \text{და} \quad \frac{\partial w}{\partial x} = 0.$$

მივიღებთ:  $w_n(-x, y) = u_0(y) \frac{\sin \mu \operatorname{ch} \alpha x + \operatorname{sh} \mu \cos \alpha x}{\sin \mu \operatorname{ch} \mu + \cos \mu \operatorname{sh} \mu}. \quad (21)$

ინერციის ძალების გამოთვლის შემდეგ ვნახავთ, რომ (2') განტოლება მიიღებს შემდეგ სახეს:

$$\frac{\partial^4 u_0}{\partial y^4} = \gamma^4 u_0(y), \quad (22)$$

სადაც  $\gamma^4 = \frac{q_1 b^2}{g E I_1} \left[ 1 + 4 \frac{q_2 a}{q_1} \cdot \frac{I}{\mu} \cdot \frac{(2 \sin \mu \operatorname{sh} \mu - \mu \sin \mu \operatorname{ch} \mu - \mu \cos \mu \operatorname{sh} \mu)}{(\sin \mu \operatorname{ch} \mu + \cos \mu \operatorname{sh} \mu)} \right]$ .

ამრიგად, თხელკედლიანი ძელის დიფ. განტოლება განივი კვეთის სიხისტის დაშვებით დაიყვანება მთლიანკვეთიანი ძელის დიფერენციალურ განტოლებაზე. ყველა წინა განტოლება, კერძოდ, თუ დგარის ბოლო ჰარმონიულად ირხევა, მღუნავი მომენტისათვის ინარჩუნებს თავის სახეს, როცა  $\beta$ -ს შევცვლით  $\gamma$ -ით.

ანალოგიურად შეიძლება ამოიხსნას განივი კვეთის გრძივში ჩამაგრების უფრო რთული ამოცანაც.

მაგალითი. განვსაზღვროთ კვადრატული განივი კვეთიანი კოშკის თავისუფალ რბევათა სიხშირე, თუ სიმაღლე  $l=20$  მეტრს, სიგანე  $b=5$  მ და კედლის სისქე  $\delta=0,5$  მ., კედლის მოცულობითი წონა  $\gamma=1,7$  ტონი/მეტ<sup>3</sup>, დრეკადობის მოდული  $E=250,000$  ტონი/მეტ<sup>2</sup>.

მოვნახოთ ინერციის მომენტი  $I_1=30,75$  მეტ<sup>4</sup> და  $I_2=0,0104$  მეტ<sup>4</sup>.

კოშკის გრძივი მეტრის წონა  $q_1=(5^2-4^2) \cdot 1 \cdot 1,7=15,3$  ტ/მეტ.

კოშკის ერთი მეტრის სიგანის კედლის გრძივი მეტრის წონა  $q_2=0,85$  ტ/მ.  $2a=5$  მეტ.

დავუშვათ, რომ კოშკი აბსოლუტურად ხისტია და განვსაზღვროთ თავისუფალი რბევის სიხშირე. ამ შემთხვევაში ცნობილია თავისუფალ რბევათა სიხშირე, იგი ტოლია

$$p = \frac{3,515}{l^2} \sqrt{\frac{g E I_1}{q_1}} = 19,5 \text{ } ^1/\text{სმკ.}$$

ვიანგარიშით თავისუფალ რბევათა სიხშირე კედლის მოქნილობის მხედველობაში მიღებით, (13), (9) და (11) მიხედვით მოცემული შემთხვევისათვის გვექნება:



$$k = \frac{2 \times 0,85 \times 2,5}{15,3} = 0,278,$$

$$\alpha^4 = \frac{0,85 p^2}{9,81 \times 250000 \times 0,0104} = 0,0000334 p^2, \quad \alpha = 0,0759 \sqrt{p},$$

$$\mu = \alpha z = 0,19 \sqrt{p},$$

$$\beta^4 = \frac{15,3 p^2}{9,81 \times 250000 \times 30,75} \left[ 1 + \frac{0,278}{0,19 \sqrt{p}} (\text{th } 0,19 \sqrt{p} + \text{tg } 0,19 \sqrt{p} - 0,38 \sqrt{p}) \right],$$

ამრიგად, ჩვენ მიერ მიღებული ტრანსცენდენტური განტოლება

$$\beta^4 = 203 p^2 \left[ 1 + \frac{1,46}{\sqrt{p}} (\text{th } 0,19 \sqrt{p} + \text{tg } 0,19 \sqrt{p} - 0,38 \sqrt{p}) \right],$$

სადაც  $\beta^4$  რხევის ძირითადი სიხშირისათვის მიიღებს შემდეგ მნიშვნელობას:

$$\beta^4 = \frac{1,875^4}{l^4} = 0,00009509.$$

საბოლოოდ კოშკის რხევის სიხშირე იქნება

$$p_1 = 19,2^1 / \text{სეკ.}$$

თუ შევადარებთ ამ მნიშვნელობას  $p_0 = 19,5^1 / \text{სეკ.}$  ჩვენ დავსკვნით, რომ კედლის მოქიბლობის გავლენა კოშკის თავისუფალ რხევაზე უმნიშვნელოა.

ჩვენ მიერ ჩატარებულმა ანგარიშებმა კოშკის გეომეტრიული ელემენტების რეალური ზომების სხვადასხვა შეთანასწორების დროს იგივე შედეგი მოგვცა.

ჩვეულებრივ, ნაგებობათა სეისმური ანგარიშის დროს ნაშენის სიერცობრივ სიხისტეს არ ითვალისწინებენ. ნაშენი ნაწილდება რბვ ბრტყელ სისტემებად და თითოეული ცალკე იანგარიშება. ცდილობენ შეძლებისდაგვარად მიიღონ მხედველობაში ერთი ბრტყელი სისტემის შეორუსთან დამაგრების ხასიათი. მაგალითად, ზემომოყვანილი კოშკის სეისმური ანგარიში შემდგენაირად განხორციელდებოდა. კოშკს წარმოვიდგენდით ხისტი კედლების მქონე კონსტრუქციად, მაშინ მთლიანად კოშკის ანგარიში, კერძოდ კი გრძივი მომენტი, მოინახება ისე, როგორც ფუძით ჩამაგრებული ძელისთვის. ამის შემდეგ უნდა მოინახოს კედელში ინერციის ძალების მიერ გამოწვეული მღუნავი მომენტი განივი მიმართულებით.

ზემომოყვანილი კოშკის მუშაობის ანალიზი მთლიანად ასახულებს პრაქტიკაში მიღებული გამარტივებული ანგარიშის მეთოდის სამართლიანობას.

საქართველოს სსრ მეცნიერებათა აკადემია  
ანტისეისმური მშენებლობის ბიურო  
თბ. ლიხი

(რედაქციას მოუვიდა 3.4.1947)

დასკვნებითი ლიტერატურა

1. А. Г. Назаров. Сейсмостойкость сооружений башенного типа с учетом упругости основания. Сборник Сейсмостойкость сооружений, вып. XXVIII, Тбилиси, 1937.

## ენტომოლოგია

დ. ლოჯოვი

სუნიანი მერქნიჭამია (*COSSUS COSSUS L.*) თბილისის  
პარკების ნარგავებში

(წარმოადგინა აკად. წევრ-კორესპონდენტმა ლ. კალანდაძემ 1.6.1947)

სუნიანი მერქნიჭამია (*Cossus cossus L.*) წარმოადგენს თბილისის პარკების ნარგავთა ერთ-ერთ ფრიალ სერიოზულ მავნებელს. უკანასკნელი ათეული წლის განმავლობაში მას დიდი ზიანი მოჰქონდა ყოფილ ხუდადოვის ტყესა და განსაკუთრებით ბოტანიკური ბაღის პირობაში. მერქნიჭამიამ მოსპო ათობით და, შესაძლებელია, ასობით ძვირფასი ხე. სუნიანი მერქნიჭამია უნდა მიჩნეულ იქნეს ქალაქისა და მისი მიდამოების ნარგავების საშიშ და ტიპობრივ მავნებლად. ტეობალი [1] აღნიშნავს ლონდონისა და პარიზის გარშემო, კერძოდ ბულონის ტყეში, მერქნიჭამიის მიერ პარკების ხეების მასობრივი მოსპობის ფაქტს.

სუნიანი მერქნიჭამია საქართველოში საქმაოდ გავრცელებულია, როგორც ტყეებში, ისე ბილვებში, და გვხვდება რომელიმე სხვა მავნებლების მიერ წინასწარ დაზიანებულ ხეებზე. მაგალითად, აჯამეთის ტყეებში (დასავლეთ საქართველო) ჩვენ ვხვდებით მერქნიჭამიას მუხის დიდი ხარაბუხის მიერ დაზიანებულ მუხებზე.

თუმცა ამავე დროს უნდა აღინიშნოს, რომ, ი. შევირევის აზრით, „თავისთავად მერქნიჭამიას სატყეო მეურნეობაში არა აქვს დიდი მნიშვნელობა და იგი შეიძლება მიეკუთვნოს, როგორც ამას რაცებურგი აკეთებს, „მხოლოდ შესაძენვეად მავნებელ მწერებს“ [2].

მიუხედავად იმისა, რომ მერქნიჭამიას სატყეო მეურნეობაში დიდი მავნებლობა მოაქვს, თბილისის პირობებში მას დღემდე არ ექცეოდა ყურადღება, არ ჰარდებოდა ღონისძიებანი მასთან საბრძოლველად და, მაგალითად, ბოტანიკური ბაღის შესახებ გასული წლების ენტომოლოგიურ ანგარიშებში იგი სრულიად არ არის მოხსენებული. თუმცა იკვე შეიძლება ითქვას მერქნის მთელ რიგ სხვა მავნებლებზეც, როგორც არიან: ხარაბუხას სხვადასხვა წარმომადგენელი, პენიანები, ქერქიჭამიები და სხვ.; ხის ღეროსა და ტოტების ეგრეთწოდებული მავნებლების მთელ ამ ჯგუფს სერიოზული სამეურნეო მნიშვნელობა აქვს თბილისის ქალაქისა და პარკების ნარგავებში.

მერქნიჭამია ეტანება ტყის სხვადასხვა ფოთლოვან ჯიშსა და ხე-ბილვს, გარდა იმ ჯიშებისა, როგორც ეს თავის დროზე შეაქმნია ი. შევიროვმა, რომლებიც გუმფისს გამოყოფენ [3].

საქართველოში დაკვირვებით გამოკვლეულია, რომ არ არის განსაკუთრებული საფუძვლები ითქვას, თითქოს სუნიანი მერქნიჭამია მერქნის რბილი ჯიშებისთვის უფრო საშიშია, ვიდრე მაგარი ჯიშებისათვის.

ბევრი ავტორი: ბოლდირევი, შჩელკანოვი და სხვ. [4, 5], ფიქრობს, რომ სუნიანი მერქნიჭამია უფრო ეტანება ტირიფს, ალვის ხეს და სხვა რბილ ჯიშებს, ხოლო გერმანელებმა მას ტირიფის მერქნიჭამიაც (*veidenbohrer*) კი დაარქვეს, მაგრამ ჯერ კიდევ შევირევმა აღნიშნა, რომ „ასეთი აზრი საექვოა სწორი იყოს“ [2]. თბილისის პირობებში ხარაბუხან მიერ ძლიერ დაზარულ ალვის ხეებსა და ტირიფებზეც კი სუნიანი მერქნიჭამია იშვიათად გვხვდება, მაშინ როდესაც იმავე ნარგავებში იგი ფრიად სერიოზულ ზიანს აყენებს მაგარ ჯიშებს. ბოტანიკურ ბაღში მერქნიჭამია უმთავრესად ზიანს აყენებს ნეკერჩხალს, სახელდობრ ლეკის ხეს (*Acer lactumi*), უფრო იშვიათად — თელას, კიდევ უფრო იშვიათად — მუხას, ხოლო ერთ შემთხვევაში მერქნიჭამიას მატლი ძელქვაზეც იპოვეს.

ზრეინერის, ხოლო დკოვსკის, შესტაკოვისა და სხვების [6] ცნობებით, მერქნიჭამიას მატლს ხის ღეროს სისქეში ვაჭყავს ფართო, უმთავრესად გასწვრივი ხერელები. ტალმანისა და იაცეცკოვსკის მიხედვით [7] ეს მანებელი გამჭოლ ხერელებს აკეთებს მერქანში.

მერქნიჭამიას მატლის ასეთი ხერელები ხის ღეროში და ტოტებზეც კი შემჩნეულია საქართველოშიც. ისინი ცოტად თუ ბევრად დამახასიათებელი არიან ხეხილისთვის, ხოლო ბოტანიკური ბაღის ტერიტორიაზე და თბილისის მიდამოების სხვა ნარგავებში ჩვენ შეგვიმჩნევია დაზიანებანი, უმთავრესად, ფესვის ყელის არეში, ჩვეულებრივ ხის მთელი ღეროს ან მისი ნაწილის გარშემო.

ზშირია შემთხვევები, როდესაც ხის ღეროს რგოლურად დაზიანებული ნაწილი 10—15 სანტიმეტრზე დაბლაა ნიადაგის ზედაპირიდან, რგოლის სიგანე ზშირად აღემატება 8—10 სმ, მაგრამ შეიძლება 20 სანტიმეტრს და მეტსაც აღწევდეს. ზოგიერთი მატლის ხერელები რგოლურის ფარგლებში იჭრება მერქნის სიღრმეში, მაგრამ, ჩვეულებრივად, არა უმეტეს 5—10 სანტიმეტრისა. აღწერილი დაზიანება განსაკუთრებული სერიოზული ფიზიოლოგიური ხასიათისაა; რგოლურად დაზიანებული ხეები იღუპება, თუმცა დაზიანებას არა აქვს ტექნიკური ხასიათი.

ამგვარად, თბილისის პარკების ნარგავებს სუნიანი მერქნიჭამია, უწინარეს ყოვლისა, აყენებს დიდ ფიზიოლოგიურ და ნაწილობრივ ტექნიკურ ზიანს. მთლიანად შემორგოლური ხე შემდეგ წელს საბოლოოდ იღუპება, ხოლო მატლები, რომლებსაც არ დაუმთავრებიათ განვითარება, სხვა ხეებზე გადადიან. ხის გახმობას ამ შემთხვევაში განსახლერავს რგოლურად დაზიანების ფაქტი, რაც შეიძლება იყოს მეტად მცირე რაოდენობის ყოველგვარი მატლების მოქმედების შედეგი. თუ რგოლური დაზიანება არ არის, ძლიერ დაზარულმა ხემაც კი შეიძლება იცოცხლოს მთელი რიგი წლების განმავლობაში.

ტეობალდის დაკვირვებით, ინგლისში 1891 წელს დაავადებული იფანი მხოლოდ 1903 წელს დაიღუპა [1]. მატლების იერიშებისადმი ხის ღეროს წი-

ნალმდევობის ვადები მეტად სხვადასხვანაირია და დამოკიდებულია ამ ხეზე მათი რაოდენობის რიცხვზე. ერთ-ერთ მსხლის ხეში ბასშტენიმა იპოვა 266 მატლი [2]; მათი ასეთი რაოდენობა, რასაკვირველია, განსაკუთრებულ შემთხვევას წარმოადგენს, რამდენიმე ათეული მატლი ერთ ხეში კი ჩვეულებრივი მოვლენაა. მერქნიჭამიათა დაავადებულ 75 ხეზე თბილისში 1946 წელს ჩვენ ვიპოვეთ მხოლოდ 679 მატლი. ერთ ხეზე საშუალოდ 9 მატლი მოდის, მაშინ როცა მათი მაქსიმალური რაოდენობა ერთი ხის ღეროსთვის 77-ს უდრის.

გადავდივართ რა მერქნიჭამიას გაძლიერებული აქტივობის მიზეზებზე თბილისის პარკების ნარგავთა პირობებში, საინტერესოა ყურადღება მივაქციოთ შემდეგ გარემოებებს. ი. შვეიცრევის აზრით, სუნიანი მერქნიჭამია თავს ესხმის დასუსტებულ ხეებს მათი ჯიშების მიუხედავად. ახალგაზრდა ჯანსაღ ხეებზე იგი მეტად იშვიათად გვხვდება და არასოდეს არ არის ხმელ ხეებზე [2].

ბოტანიკური ბაღის „აღმოსავლეთ საქართველოს ტყის“ ნაკვეთის ტერიტორიაზე დაავადებული ხეების აღრიცხვისას, რაც 1946 წელს ჩატარდა, დაზიანებული აღმოჩნდა ლეკის ხის 75 ღერო და 2 მუხა, სხვა ჯიშებზე მერქნიჭამია არ ყოფილა. მერქნიჭამიას მიერ ჯიშების ამორჩევის უნარი, რაც ამ შემთხვევაში მკვეთრად გამოვლინდა, მოწმობს, რომ მისგან განსაკუთრებით ზიანდება ლეკის ხე და რომ ეს უკანასკნელი რამდენადმე დასუსტებული იყო, რაც თავის მხრივ ალბათ იმით აიხანება, რომ მთელი რიგი წარსული წლების მანძილზე ნაკვეთი საკმაოდ არ ყოფილა მოწვეული. პროფ. ვინოგრადოვი ნიკიტინი თავის ერთ-ერთ ნაშრომში შექმნის მოგვიანბრებს არასაკმარის ტენიანობის გამო მთის ფერდობებზე მერქნიჭამიების მიერ ნარგავების დაზიანების შესახებ: „მთის ყურობებზე ზოგჯერ ჩნდება ახალგაზრდა ტყე; ტენის ხარჯვა ხეების სატრანსპირაციო ფუნქციონირებისათვის დიდდება მათი ზრდის მიხედვით და მაქსიმუმს აღწევს მაშინ, როცა ტყეში ხეები იფარება ფოთლის ან წიწვის უდიდესი რაოდენობით, ფოტოსინთეზის პროცესები უდიდეს განვითარებას აღწევენ და ამასთან დაკავშირებით მატულობს აორთქლებაც. ეს ხდება ხეების ზრდის კულმინაციისას—30 დან 60 წლამდე. შეიძლება მოხდეს, განსაკუთრებით მცირეწლიანებთან ადგილებში, რომ ტყის მზარდი შთოხვნის ხარისხი მხრივ აღემატოს უკანასკნელას რაოდენობას ნიადაგში.“

ამ შემთხვევებში იწყება ხეების მწვავე, ბრძოლა ტენისათვის და წარმოებს ნარგავების ბუნებრივი გაემჩნობა; როგორც კი ზოგიერთ ხეს გაუძნელდება ტენის მიღება და იგი იკვალბა, ქერქიჭამიები მას ბოლოს უღებენ; თუმცა ზოგჯერ დავალების ამ სტადიას ხანგრძლივი ხასიათი აქვს და იგი რამდენიმე წელს გრძელდება; ქერქიჭამიები ჯერ აზიანებენ ზოგიერთ ტოტს, ხმება კენწერო და, ბოლოს, თვით ხის ღერო“ [8].

მერქნიჭამიასთან ერთად პენიანაც (*Agrilus viridis* L.) სახლდება ლეკის ხის ღეროზე, რაც ერთხელ კიდევ ადასტურებს სწორედ ამ ჯიშის მერქნის დაბალი წინააღმდეგობის ფაქტს. დამახასიათებელია, რომ მინდვრის ნეკერჩხლის (*Acer campestre* L.) იქვე მდგომ ხეებს, რომლებიც, როგორც ცნობილია, კარგად იტანენ სიმშრალეს, მავნებლები არ აზიანებენ.

ყოფილი ხუდადოვის ტყის ტერიტორიაზე და ქალაქის სხვა მწვანე ობიექტებზე ლეის ხის მაგვარად მავნებლებისაგან ზიანდებიან თელის ჯიშებიც. თელაზეც მეტად ჩვეულებრივია სუნიანი მერქნიჭამია, მაქაურა (*Zeuzera pyrina* L.), ხარაბუზა (*Saperda genclata*) და თელის ქერქიჭამიების მთელი კომპლექსი, რომელთა შორის უარბობს ცალკეა *Scolytus orientalis* Egg.

თბილისისა და მისი მიდამოებისათვის დამახასიათებელია 30—40 წლის თელების მასობრივი გახშობა. თელაზე სახლდებიან მენე მწერები ზაფხულის თვეებში, რომლებიც კრიტიკული ნაკლები ტენიანობის თვალსაზრისით. თელების მასობრივად გახშობა თბილისში შემჩნეული იყო განსაკუთრებულ გვალვასთან დაკავშირებით 1933 წელს. ხეების ერთგვარი რაოდენობა დაიღუპა 1945 წელსაც, რომელიც აგრეთვე გამოირჩეოდა არასაკმაო ტენიანობით. მაგრამ ხეების დაღუპვის უშუალო მიზეზი, თითქმის ყველა შემთხვევაში, მათზე მწერების დასახლება იყო. მანვე მწერების არსებულ მარაგს ასეთ შემთხვევებში გადამწყვეტი როლი ეკუთვნის.

ხეებს, რომლებსაც, მათი დროებითი დასუსტების მიუხედავად, შეეძლოთ შემდგომ გამოკეთება, ბოლოს უღებენ მწერები. ამა თუ იმ ნარგავების ხის ღეროში მავნებლების, მათ შორის სუნიანი მერქნიჭამიის, არსებობის ფაქტი მათთან ბრძოლის ღონისძიებათა არააისტემატურ და არასაკმაოდ გულმოდგინედ ჩატარების შედეგს წარმოადგენს.

შემონათქვამიდან ძნელი არ არის დასკვნის გამოყვანა, რომ სუნიან მერქნიჭამიასთან ბრძოლის ძირითად ღონისძიებას წარმოადგენს ნარგავთა გულმოდგინე მოვლა, უწინარეს ყოვლისა კი მათი დროული მორწყვა. გაძლიერებულ რწყვას მოითხოვენ თელა და ლეის ხე.

დროულ მორწყვას განსაკუთრებული მნიშვნელობა აქვს იმ ხეებისათვის, რომლებმაც წლების განმავლობაში თავისი ფესვების სისტემა შეუფუფეს რწყვას. ასეთი ხეები, წერს პ. ვინოგრადოვი-ნიკიტინი, შეიძლება გახდეს ქერქიჭამიების მსხვერპლი, თუ რწყვა იგვიანებს. ცნობილია შემთხვევები, როდესაც ქერქიჭამია სკოლიტუსისაგან დაღუპულა ხეხილის ბღები იმის გამო, რომ გვალვის დროს რწყვას დაუგვიანია ერთი-ორი კვირით; ამავე დროს ხეები, რომლებიც ურწყავ ნიადაგზე იზრდებოდნენ, გადარჩნენ, რადგან თავისი ფესვების სისტემით იღებდნენ წყალს ნიადაგის უფრო ღრმა ჰორიზონტებიდან [8].

ბრძოლის წინასწარ ზომად ჩვეულებრივ ასახელებენ ხეების ქვედა ნაწილის შეღვსვას თიხის, ძროხის ნეხვის, კირის რძის და სხვა ნარევით; კვერცხის დებისა და გაჩენილი მატლების ჩასვლის ხელის შეშლის მიზნით. შეუესვა წარმოებს კვერცხია დება დაწყებას წინ, აპრილ-მაისში. ბატანიკო-ქაღალში ამ მიზნით 1946 წელს რამდენიმე საცდელ ხეზე გამოყენებულ იქნა ნავთობ-სკიმიდარი და კროზოტი. ამ უკანასკნელ ნივთიერებას ძლიერ მწვავე სუნი აქვს, იგი ძნელად ჩამოსარეცხავია და ჯერჯერობით მას შესამჩნევი უარყოფითი ფიზიოლოგიური გავლენა არ მოუხდენია დამუშავებულ ხეებზე. ამავე დროს კროზოტით დამუშავებული და დაუშავებელი ხეების მერქნის ანატომიური და

მიკროკოპიური გამოკვლევების დროს (თ. კეხელი) მნიშვნელოვანი განსხვავებანი არაა აღმოჩენილი.

პარკების პირობებში სრულიად მისაღებ განმანადგურებელი ხასიათის ზომას წარმოადგენს მერქნიჭამიას მატლების ხელით შეგროვება და მოსპობა. იმ ნარგავებში, სადაც მოსალოდნელია მერქნიჭამიათი დაავადებული ხეები, საჭიროა გულმოდგინედ გაისინჯოს თითოეული ხე. ამ გასინჯვით ადვილად შეიძლება ყველა დაავადებული ხის გამოვლინება განავალითა და ჩეულებრივად მოწითალო ფერის მერქნის ნაღრღნი ფქვილით, რომლებსაც მატლები ყრიან ქერქის ხვრელებიდან. აღმოჩენილი ხვრელები უნდა გაიხსნას და შიგ მყოფი მატლები ამოიკრიფოს. როგორც ზემოთ იყო აღნიშნული, მატლები ჩადიან მერქნის უმნიშვნელო სიღრმეზე და ამიტომ მათი ამოყვანა იქიდან შედარებით ადვილია ფოლადის მავთულის სპეციალური კაეებით. მატლებისაგან განთავისუფლებულ ხეებს რამდენიმე დღის შემდეგ კვლავ ყურადღებით სინჯავენ და ის შემთხვევაში, თუ აღმოჩნდა ახალი კვალი განავალისა და ნაღრღნი ფქვილის სახით, დამატებით წმენდენ. თუ აღმოჩნდა, რომ ხვრელი ღრმად შედის მერქანში და შეუძლებელია იქიდან მატლების გამოყვანა, ხვრელში უნდა ჩაიდოს ბამბის ტამპონები, რომლებიც წინასწარ უნდა დასველდეს გოგირდნახშირბადში ან ქლოროპიკრინში და შემდეგ ხვრელი ცემენტით უნდა ამოიღეს. ამასთანავე ისიც აღსანიშნავია, რომ ქლოროპიკრინს, როგორც ეს თ. კეხელმა გამოარკვია, წლის განმავლობაში არ მოუხდენია რამდენადმე არსებობის უარყოფითი გავლენა ხის ფიზიოლოგიაზე<sup>1</sup>.

აღწერილი ოპერაციების შემდეგ ხის ღეროს ყველა გაშიშვლებულ ნაწილს უნდა წაესვას ესა თუ ის ანტისეპტიკური ნივთიერება (შაბაამისი, კრეოზოტის და სხვ. 3%/ოანი ხსნარი), რათა თავიდან აცილებულ იქნეს ლპობა, შემდეგ კი დაზიანებული ადგილებიც საბოლოოდ უნდა ამოივლისოს ცემენტით ან ასფალტისა და ნახერხის ნარევით. ხვრელების ამოვსების დროს მათ დასაწყისში ნახევარ სიგრძეზე უნდა ჩაიჭედოს ერთი ან ორი ლურსმანი, რომლებიც, ცემენტში ჩაგლესილნი, სიმყარეს აძლევენ ცემენტის საცობს და თავიდან გვაცილებენ მისი გამოვარდნის შესაძლებლობას.

უფრო ხშირად პრაქტიკაში საჭირო ხდება ხის ღეროს გაშიშვლებული ზედაპირის დაფარვა ცემენტით ან ასფალტით. ამ შემთხვევაში გაშიშვლებულ ფართობზე ორ რიგად ჩაასობენ სათანადო ზომის ლურსმნებს, რომლებზეც გაჭიმავენ რბილი რკინის მავთულის ბადეს და მხოლოდ ამის შემდეგ ხდება ცემენტით ამოვსება. შევსების შემდეგ მავთულის ბადე და ლურსმნის თავები მაგრად შეგლესილი იქნება ცემენტის მასაში.

ცემენტის ბენის გარე ზედაპირს შენიღბავენ სათანადო ფორმის მიცემითა და შეღებვით.

ბოძოლის აღწერილი მეთოდი საესებით რადიკალურია პარკის ნარგავების პირობებში. 1946 წელს ბოტანიკური ბაღის ტერიტორიაზე მოსპობილ იქნა მერქნიჭამიას 800-ზე მეტი მატლი და, ამგვარად, ნამდვილი დაღუპვისაგან გადარჩენილ იქნა ათობით ძვირფასი ხე.

<sup>1</sup> გამოკვლეულ იქნა ლეკის ხე, ნუში, მუხა.

ზემონატქამის შეჯამებით შეიძლება დავასკვნათ, რომ სუნიან მერქნიჭამიას სერიოზული ფიზიოლოგიური და ნაწილობრივ ტექნიკური ზიანი მოაქვს თბილისის პარკია ნარგავებში. მერქნიჭამია ეტანება ამა თუ იმ მიზეზის განოერთვადრად დასუსტებულ ხეებს. ამ მიზეზთა შორის ძეფლსაჩინო ადგილი ეკუთვნის არას კვაო ტენიანობას. მერქნიჭამია ადგილობრივ პარობებში განსაკუთრებით აზიანებს ლეკის ხესა და თელებს, რომლებიც მეტისმეტად სუსტდებიან წყლის რეჟიმის დარღვევასთან დაკავშირებით.

დაზიანების მეტად გავრცელებულ ტიპს წარმოადგენს ხის ლეროს რგოლურად დაზიანება ფესვის ყელის არეში, ამასთან რგოლის სიგანე 8 - 20 სმ. აღწევს. გამძლეობის მოკლევადიან დაკარგვასაც კი შეიძლება მოჰყვეს მერქნიჭამია მატლებით და სხვა მავნებლებით დაავადება, ხოლო თუ მათი მარაგი მნიშვნელოვანია, მაშინ შეიძლება ამას მოჰყვეს მათი მასობრივი გაპრაღლება. მერქნიჭამიასთან ბრძოლის ღონისძიებანი ორგვარია: წინასწარ-გამაფრთხილებელი და გამანადგურებელი.

პირველს ეკუთვნის ნარგავთა გულმოდგინე მოვლა, კერძოდ, მათი დროული რწყვა, იმ ხეების შელესვა, რომლებსაც შექმნილი აქვთ მერქნიჭამიით დაავადების საფრთხე, მავნებლისთვის არასასიამოვნო ნივთიერებებით.

ქალაქის ნარგავთა პირობებში სავსებით რადიკალურ და შესაძლებელ გამანადგურებელი ხასიათის ღონისძიებას წარმოადგენს მატლების შეგროვება და მოსპობა ხერელების გახსნის შემდეგ, შემდგომი ანტისეპტაცია და ცემენტირება ქერქისაგან ვაშიშეღებული ხის ლეროს ადგილებისა.

საქართველოს სსრ მეცნიერებათა აკადემია

თბილისის ბოტანიკური ბაღი

(რედაქციას მოუვიდა 5.6.1947)

#### დამოწმებული ლიტერატურა

1. V. Fred, Theobald. The insect and other allied pests and their prevention and treatment, Wye, 1909.
2. И. Я. Шевырев. О вредных насекомых степных лесничеств в 1889 г. Петербург, 1891.
3. И. Я. Шевырев, Описание вредных насекомых степных лесничеств и способов борьбы с ними. Петербург, 1893.
4. В. Ф. Болдырев и др. Основы защиты с. х. растений от вредителей и болезней, ч. II, Москва, 1936.
5. Я. Шелкановцев. Очерки по биологии лесных вредных насекомых и меры борьбы с ними. Воронеж, 1932.
6. Я. Ф. Шрейнер. Древесница вездная и древоточец пахучий, вред их в садоводстве и борьба с ними. С.-Петербург, 1905.
7. И. Н. Тальман и А. В. Яценковский. Вредные насекомые еловых и елово-лиственных лесов и меры борьбы с ними. Ленинград, 1938.
8. П. З. Виноградов—Никитин и Ф. А. Зайцев. Материалы к изучению короедов Кавказа. Изв. Тифл. Госул. Полит. Инст., в. 2, 1926.

## თ. ქიქილაშვილი

 ნიკერჩხლის ახალი მახვებელი (*PHYLLOTOMA FLAVICOLLIS* GUSS.)  
 (Hymenoptera, Tentredinidae)

(წარმოადგინა აკად. ნამდვ. წევრმა ფ. ზაიცემა 26.2.1947)

ნიკერჩხლის ერთ-ერთ ძლიერ მდებარე უნდა ჩაითვალოს მხერხავი *Phylotoma flavicollis* Guss. ეს სახეობა 1946 წელს აღწერა გუსაკოვსკი მთილისში შეგროვილი ჩვენივე ნასაღების მიხედვით.

წარმოდგენილ წერილში ვეხებით *Ph. flavicollis* ბოლოვას.

ზრდასრული მატლის სხეული მობრტყოა. ყველაზე მეტი სივანე აქვს შუამკერდს. შეფერადება მოყვითალო-მწვანეა. თავი შედარებით მცირეა, ღია მიხაკისფერი და ძლიერ შეწეულია წინამკერდში. სხეული 13 სეგმენტისაგან შედგება; უკანასკნელი ორი სეგმენტი არამკვეთრადაა ვამიჯნული ერთიმეორისაგან. მკერდის ფეხები დასაწყისში განიერი და მიხაკისფერი რგოლი ახლავს, ხოლო წვერი კონუსური წაწვეტებით მთავრდება (ნახ. 1, V, a).

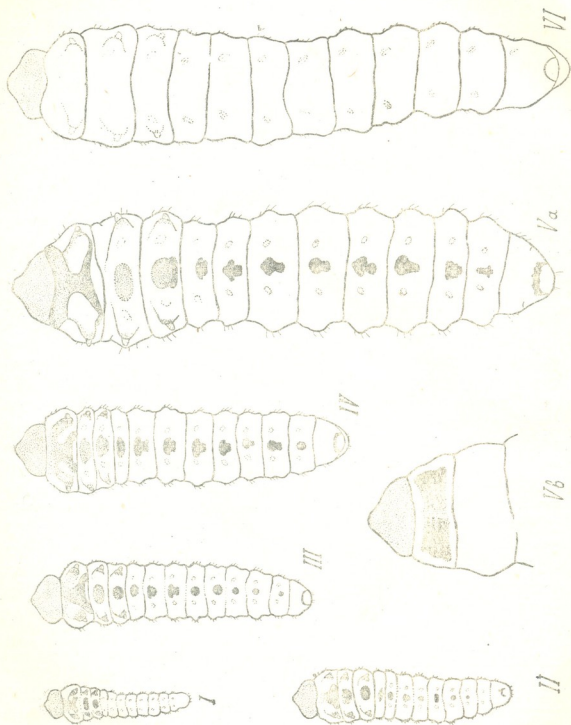
მკერდის პირველი სეგმენტის დორზალურ მხარეზე ორი განიერი ტრაპეციისებრი ზოლი აქვს, რომელნიც ერთიმეორისაგან გამოყოფილია ღია ფერის გასწვრივი ზოლით (ნახ. 1, V, b); ვენტრალურ მხარეზე ემჩნევა განიერი V მსგავსი მიხაკისფერი ხალი, რომელიც მკერდის ფეხებამდე აღწევს. დანარჩენ სეგმენტებზე (გარდა უკანასკნელი ორისა) ვენტრალურ მხარეზე მოიპოვება თითო მორგვალო მუქი ხალი; უკანასკნელი სეგმენტი მორგვალო-კონუსურია; მის ვენტრალურ მხარეზე წინ წახრილი (ნახევარმთავრისებური) მიხაკისფერი ზოლია (ნახ. 1, V, a). აღნიშნული ხალები მოეპოვებათ III და IV ასაკის მატლებსაც. II ასაკისას ერთი ხალი ნაკლები აქვს, სახელდობრ, იგი არ მოეპოვება ბოლოდან მესამე სეგმენტზე (ნახ. 1, II). I ასაკის მატლებს ხალები ეჩნევათ მკერდის მხოლოდ სამ სეგმენტზე (ნახ. 1, I). მატლების ზომები (მმ-ით) ასაკის მიხედვით მოცემულია 1-ელ ცხრილში.

*Phylotoma flavicollis*-ის მატლების ზომები ასაკის მიხედვით (მმ-ით) ცხრილი 1

ასაკი	თავის სივანე	სხეულის უდიდესი სივანე	სხეულის საერთო სიგრძე
I	0,342—0,380	0,427—0,465	1,510—1,890
II	0,391—0,408	0,503—0,579	2,175—2,602
III	0,503—1,560	0,731—1,750	2,982—3,210
IV	0,691—0,761	0,940—1,130	3,780—4,340
V		1,472—1,510	6,800—7,465

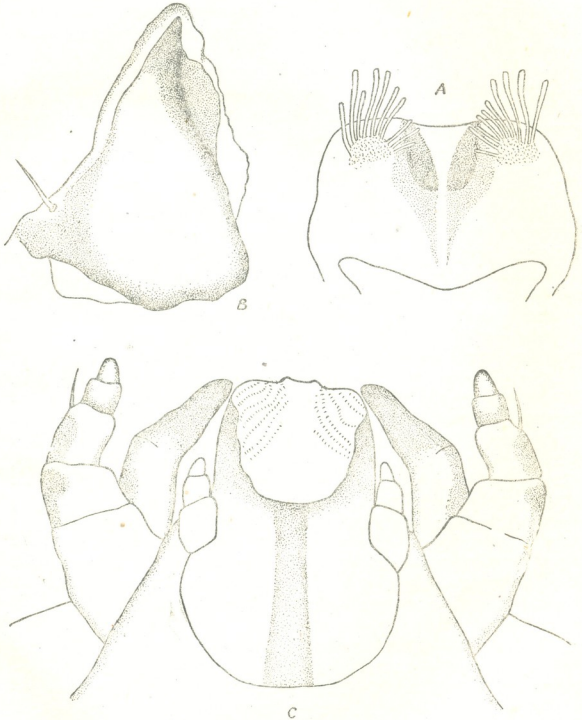


კუპრისწინა სტიდია ზურგისა და მუცლის მხარეზე კარგავს ხალებს, მკერდის ფეხების მოხაზულობა ხდება გაურკვეველი, ხოლო სხეული ვიწროვდება (ნახ. 1, VI).



ნახ. 1. *Pyryllotoma*-ს სხვადასხვა ასაკის მატლები

ზრდასრული მატლის ზედა ტუჩი შედარებით ნაკლებად ქიტინოვანია, ტრაპეციული ფორმის მომრგვალებული კუთხეებით; წინა კიდის გვერდებზე



ნახ. 2. ზრდასრული მატლის პირის ნაწილები

მოეპოვება ლენტისებური ბეწვების თითო კონა (ნახ. 2, a). ზედა ყბები ძლიერ გაქიტინებულია, სამკუთხოვანი ფორმისაა და არასწორად დაკბილული

მკრელი კიდები აქვს; გარეთა ფუძესთან თითო ქიცვი მოებოვება (ნახ. 2, ბ). ქვედა ყბები წაგრძელებულია მორგვალო-წაწვეტებული მღეჯავი ლაპოტებით. ქვედაყბის საცეცები 5—5 ნაწვევრიანებია, რომელთა მესამე ნაწვევარს ქაცვი მოებოვება. ტუჩის საცეცები 3—3 ნაწვევრიანებია. ქვედა ტუჩის წინა ნაწილს გვერდებზე მოებოვება არასწორ რიგებად განლაგებული პატარა ქაცვები (ნახ. 2, ც).

ეს მწერი კვერცხებს დებს ფოთლის მთელ ზედაპირზე, განსაკუთრებით მის ზედა მხარეზე, ხოლო იშვიათად ქვედა მხარეზე. უჯანსკელ შემთხვევაში კვერცხში ჩანასახი არ ვითარდება. მდებრი კვერცხს კვერცხსადებით ასობს ფოთლის ეპიდერმისის ქვეშ. ახლადდადებული კვერცხი თეთრია, ოვალური და 0,380—0,560 მმ აღწევს.

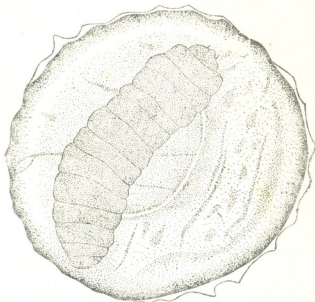
ერთ ფოთოლზე დადებული კვერცხების რაოდენობა აღწევდა 1—16 ცალამდე, ხოლო იშვიათ შემთხვევაში—39 ცალამდე.

კვერცხში განვითარებული მატლი ფოთლის ზედა მხრისკენ აკეთებს ხერელს და პარენქიმაში იჭრება, აქ იგი რამდენიმე ხანს უძრავად რჩება, შემდეგ იწყებს გაძლიერებულად კვებას და სულ სხვადასხვა სახის უსწორმასწორო ნაღმებს იკეთებს ფოთოლზე. ჩვენ მიერ განკეთილი იყო მრავალრიცხოვანი ნაღმები, რომლებშიც აღირიცხებოდა თავის ფარები, რაც აღასტურებს იმ მოვლენას, რომ მატლის განვითარების ყველა სტადია ერთსა და იმავე ნაღმში მიმდინარეობს.

ზრდასრული მატლი აკეთებს საკანს ბრტყელი კუთხოვანი ლინზის სახით, რომელსაც შიგნით აკრავს პრიალა ლორწოს, რომელიც სწრაფად მაგრდება. ზედა მხრიდან ლორწო ეწებება ფოთლის ზედა ეპიდერმისს; საკნის ქვედა კედელი წარმოქმნილია მხოლოდ გამკერივებული ლორწოს შრით. ამ დროისათვის მატლი ჭუპრისწინა სტადიაში გადადის და თავისი მკვეთრი მოძრაობით იწვევს ფოთლის ფირფიტადან საკნის მოცილებას. საკანი ვარდება ნიადაგზე, ხოლო ფოთოლზე ამის შედეგად რჩება მრგვალი ამონაკეთი-საკმელი, რომელიც ეპიდერმისის ქვემოთ გადაფარებულია აპკით. ჩამოცივებული საკნები, მათში მატლის მოძრაობის გამო, ხტებიან დაახლოებით 10 სმ-მდე. ეს მოვლენა უფრო მკვეთრად გამოიხატება ხოლმე ისეთ ადგილებში, სადაც მზის სხივების უშუალო მოქმედებას აქვს ადგილი. როგორც ჩანს, ეს ხდება დასაზამთრებლად ხელსაყრელი პირობების მოძებნის მიზნით. ასეთ მდგომარეობაში, ჩვეულებრივ ჩამონაცვიანი ფოთლების ქვეშ, საკნები რჩებიან შემდგომი წლის გაზაფხულამდე.

შემდეგი წლის აპრილის დასაწყისში მიმდინარეობს კანის ცვლა და ჭუპრად გარდაქმნა. კანის ცვლის წინ ჭუპრისწინა სტადიას თავზე ორი მუჭი ხალი (თვალი) უვითარდება და სხეული რამდენიმედ ღია ფერს ღებულობს. კანგამოცვლილი ჭუპრი ღია მოყვითალო-მომწვანო ფერისაა; აქვს ორი თვალის ლაქა, წყვილი ულვაში და წყვილი ფეხი. 7—8 დღის შემდეგ უვითარდება ფრთები, ჭუპრი მუჭდება და იმაგოდ გარდაიქმნება. საკანში იმაგო 1—2 დღე რჩება, იგი იწყებს მოძრაობას, აკეთებს ხერელს და გამოფრინდება. ზრდასრული მწერები ჩვეულებრივ სხდებიან მზით განათებულ ნეკერჩხლის მხარეზე,

ამავე დროს ნაკლებ მოძრავნი არიან. დაწყებულა 2 წუთამდე გრძელდება და მზიან ამინდში ხდება.



ნახ. 3. საკანი.

*Ph. flavicollis*-ის განვითარება თბილისის სხვიდასხვა უბანში ერთდროულად არ მიმდინარეობს. მეორე ცხრილში მოცემულია ვადები ამ მწერას განვითარებისა 1946 წლის განმავლობაში თბილისის ორ უბანში—ორჯონიკიძის სახ. კულტურისა და დასვენების პარკსა და სტალინის სახელობის კულტურისა და დასვენების პარკში, რომელიც პირველზე 326 მეტრით მაღალია.

*Ph. flavicollis*-ის განვითარების ვადები ცხრილი 2

№	სტადიის დასახელება	მ ა პ ო ვ ე ბ ი ს თ ა რ ი დ ი					
		ორჯონიკიძის სახ. კულტურისა და დასვენების პარკი			სტალინის სახ. კულტურისა და დასვენების პარკი		
		დასაწყ.	მასობრ.	დასასრ.	დასაწყ.	მასობრ.	დასასრ.
1	ჭუპრი . . . . .	10.IV	18.IV	26.IV	20.IV	28.IV	8.V
2	ზრდასრულა . . . . .	28.IV	5.V	13.V	6.V	13.V	24.V
3	კვერცხი . . . . .	22.IV	8.V	20.V	7.V	15.V	28.V
4	გამოჩეკა . . . . .	8.V	19.V	28.V	17.V	27.V	6.VI
5	ჯანის ცვლა I . . . . .	18.V	25.V	30.V	24.V	5.VI	10.VI
6	" " II . . . . .	23.V	28.V	3.VI	1.VI	6.VI	11.VI
7	" " III . . . . .	29.V	4.VI	11.VI	7.VI	12.VI	19.VI
8	" " IV . . . . .	4.VI	10.VI	15.VI	12.VI	11.VI	25.VI
9	ჭუპრისწინა სტადია . . . . .	6.VI	11.VI	18.VI	14.VI	19.VI	27.VI

ამგვარად, როგორც ვხედავთ, *Phyllotoma*-ს განვითარება სტალინის სახელობის კულტურისა და დასვენების პარკის პირობებში 10 დღით ჩამორჩება ორჯონიკიძის სახელობის კულტურისა და დასვენების პარკის პირობებში განვითარებას. ეს მოვლენა ტემპერატურული პირობებით აიხსნება: მეტეოროლოგიური მონაცემები 1946 წლის განმავლობაში, აკრთვე მრავალწლიურიც, გვიჩვენებს, რომ ჰაერის საშუალო დეკადური ტემპერატურა ფუნქციური 2<sup>0</sup> უფრო დაბალია, ვიდრე ქალაქის დაბლობ ადგილებში.

დაახლოებით ზაფხულის ნახევრიდან შემდგომი წლის გაზაფხულამდე *Ph. flavicollis* საკანში რჩება. უკანასკნელი ამ ხნის განმავლობაში რჩება ნიადაგზე, უკეთეს შემთხვევაში ნაყარი ფოთლებით იფარება. მწერების ამ პერიოდში გამძლეობის უნარიანობის გამოკვლევის მიზნით შეგროვილ იქნა საკნები (50×50 სმ ფართობზე), რომლებიც იკეთებოდა და ისინჯებოდა შიგთავსი. ამ ანალიზების შედეგი აღნიშნულია მესამე ცხრილში.

### ცხრილი 3

მოპოვებული საკნებისა და დახოცილი მატლების რაოდენობრივი ანალიზი

№№	ანალიზის თარიღი	საკნების რაოდენობა 0,25 მ <sup>2</sup> ფართობზე	რაოდენობა საკნებისა, რომლებშიც დახვ. მატლები იყო	დახოცილთა %
1	26.10.42	1074	707	66
2	11.7.43	498	108	22
3	21.8.43	1103	843	76
4	24.12.43	182	136	75
5	10.1.44	280	220	79

როგორც ვხედავთ, ხეების ქვეშ ნიადაგზე ძალიან ბევრი საკანი ცვივა, მათი საერთო რაოდენობა 1 კვ. მ-ზე დაახლოებით 4400 ცალამდე აღწევს, მაგრამ მათი დიდი პროცენტი ილუპება. ისინი მასობრივად ილუპებიან უკვე აგვისტოში. იმდენად, რამდენადაც მათი დაღუპვა პარაზიტებისაგან თითქმის სრულიად არ იყო აღნიშნული, ამიტომ ეს გარემოება შეიძლება ახსნილ იქნეს ზაფხულის დამლევისა და შემოდგომის დასაწყისის არახელსაყრელი პირობებით, უმთავრესად კი ნიადაგის ზედაპირზე სინოტივის მერყეობის არახელსაყრელი ზეგავლენით.

*Ph. flavicollis* აღმოჩენილია *Acer lac-tum*-ზე, *A. campestre*-ზე და *A. traut-vetter*-ზე. დაზიანება მეტად სერიოზულია.

ძლიერი დაზიანებისას ფოთლის ფირფიტაზე მწვანე ქსოვილი თითქმის არ რჩება, ფოთლები ჟანგისფერი ხდება. ყველაზე ძლიერ დაზიანებას ვაკვირდებოდით ორჯონიკიძის სახელობის პარკსა და ობსერვატორიის ბაღში.

ერთხელ ნახულ იქნა ნაღმები მუხის ფოთლებზე, ჩამოცვენილი საკნებით, მაგრამ არ არის გამორიცხული შესაძლებლობა, რომ ეს ნაღმები სხვა მწერს ეკუთვნოდა.

საქართველოს სსრ მეცნიერებათა აკადემია  
 ზოოლოგიის ინსტიტუტი  
 თბილისი

(რედაქციას მოუვიდა 4.3.1947)

ზოოლოგია

ა. ლეჟავა

**ჰისტოლოგიური ცვლილებები მიელინურ ნერვულ ბოჭკოებში  
ნერვის ზრდის დროს**

(წარმოადგინა აკად. ნამდვ. წევრმა ა. ნათიშვილმა 1.8.1946)

ნაშრომი შეეხება ჰისტოლოგიურ ცვლილებებს მიელინურ ნერვულ ბოჭკოებში ნერვის სიგრძეზე ზრდის დროს ჩვეულებრივ პირობებში. დიდი ხანია აინტერესებს მეკვლევარებს, თუ როგორ წარმოებს ნერვული მორჩების ზრდა მედულარული მილიდან მუშა. ორგანოების მიმართულებით. ეს საკითხი ჯერაც არ არის საბოლოოდ გადაწყვეტილი, მაგრამ ამ მოვლენის ასახსნელად სადღეისოდ წარმოდგენილია მოსაზრებათა რიგი. რაც შეეხება ბოლოებზე დამაგრებული (ცენტრში და პერიფერიაზე) ნერვული ბოჭკოების ზრდას, ამ მიმართულებით გამოკვლევათა რაოდენობა მეტად განსაზღვრულია. რანვიემ (Ranvier [1]) პირველმა გამოავლინა ნერვული ბოჭკოების ზრდა მათი შედარების საშუალებით ახალშობილ და ზრდადამთავრებულ ძაღლებზე. ზაზიბინი [2], როგორც ჩანს, არ იცნობს რანვიეს აღნიშნულ შრომას და ამიტომ თავის თავს მიაწერს ამ საკითხის დასმას და გამოკვლევის პრიორიტეტს. ზაზიბინის გამოკვლევის შედეგები აღწერილია მის მეტად საინტერესო შრომაში „პერიფერიული ნერვული სისტემის ჰისტოგენეზი“. არც ავტორის მიერ ნაწარმოები გამოკვლევის მეთოდი, არც მიღებული შედეგები არანაირად არ უკავშირდება აქ მოტანილ ჩვენს მონაცემებს. ნერვული ბოჭკოების ზრდის შესწავლის მიზნით ზაზიბინი ახდენდა ნერვის გაჭიმვის ცნობილ ოპერაციას, რომელსაც ქირურგები აწარმოებენ კიდურის დაგრძელების მიზნით. ამ ცდების შედეგების შესახებ დასახელებულ შრომაში ჩვენ ვკითხულობთ: „ასეთი გაჭიმული პატარა ნერვული ღეროს შესწავლამ<sup>1</sup> გაჭიმვიდან 15—20 საათის ვასელის შემდეგ მე მაჩვენა, რომ მისი ცილინდრული ღერძების ზოგი უმნიშვნელო ნაწილი დეგენერაციულად არის შეცვლილი. პატარა ღეროს დანარჩენი ცილინდრული ღერძები არ ამჟღავნებდნენ დეგენერატულ ცვლილებებს, მაგრამ მათ ეტყობოდათ გამსხვილება და ჰომოგენიზირება. პატარა ნერვული ღეროების გამოკვლევისას 6 თვის შემდეგ (ორი შემთხვევა) და ერთი წლის შემდეგ (ერთი შემთხვევა) გაჭიმვიდან მე ვერ ვნახე მათში ცვლილებები ნორმალურთან შედარებით“.

<sup>1</sup> არ არის აღნიშნული, რა წესით ჰქმავდა ავტორი ნერვს და რომელ ობიექტზე. ა. ლ.

უნდა აღვნიშნოთ, რომ ზაზიბინის ცდები ეხება არა ნერვული ბოკოს ჩვეულებრივ ზრდას სიგრძეზე, არამედ ნერვული ბოკოს ცვლილებებს მისი ხელოვნური ვაკუუმის შედეგად.

ნერვულ ბოკოებში ზრდასთან დაკავშირებულ ასაკოვან ცვლილებებს ჩვენ ვსწავლობდით ბაყაყის საჯდომ ნერვზე (*rana esculenta varies ridibunda*), სახელობრ, მის იმ ნაწილზე, რომელიც მოთავსებულია მენჯბარძაყისა და მუხლის სახსრებს შორის.

გამოკვლევის დროს სულ გამოყენებული იყო 17 ბაყაყი, წონით 1-დან 81 გრამამდე.

მინის ჩხირზე დამაგრებული და 2% ოსმიუმის მჟავაში ფიქსირებული ობიექტები ან ყალიბდებოდა პარაფინში, ან იწყებოდა სპირტში ცალკე ნერვულ ბოკოებად და ქსილოლში ვატარების შემდეგ ყალიბდებოდა ბალზამში. წარმოებდა მაკროსკოპული (ბარძაყისა და ნერვის in situ) და მიკროსკოპული გაზომვები (ჰისტოლოგიური პრეპარატებიდან).

საჯდომი ნერვის იმ ნაწილის გაზომვის შედეგები, რომელიც მოთავსებულია მენჯბარძაყისა და მუხლის სახსრებს შორის, გვიჩვენებს (ცხრილი 1), რომ ნერვის დასახელებული ნაწილის სიგრძე ბარძაყთან ერთად თანდათან მატულობს. ამ ნერვული ღეროს ზრდის ინტენსივობა ცოტად თუ ბევრად თანაბარ-ზომიერად მიმდინარეობს და მხოლოდ რამოდენიმედ სუსტდება ასაკთან დაკავშირებით.

ცხრილი გვიჩვენებს, რომ ნერვის დასახელებული ნაწილის სიგრძე ბაყაყს 20-გრამიან ასაკში გამოსავალ ეგზემპლართან შედარებით დაახლოებით უორკედება, 30-გრ. ასაკში უსამკეცდება და ცოტა მეტიც, უოთხკეცდება 50-გრამიან ბაყაყს და, ბოლოს, 63-გრამიან ბაყაყს ნერვული ნაკეთის სიგრძე 4,36-ჯერ მეტი აქვს.

ცხრილი 1

№	ბაყაყის წონა (ასაკი) გრამებით	მენჯბარძაყისა და მუხლის სახსრებს შორის მდებარე <i>n. ischiadicus</i> -ის ნაწილი სანტიმეტრებით	№	ბაყაყის წონა (ასაკი) გრამებით	მენჯბარძაყისა და მუხლის სახსრებს შორის მდებარე <i>n. ischiadicus</i> -ის ნაწილი სანტიმეტრებით
1	1,0	1,2	7	29,0	3,5
2	1,2	1,2	8	29,0	3,7
3	1,2	1,0	9	35,0	4,2
4	1,7	1,2	10	52,0	4,5
5	2,8	1,3	11	63,0	4,8
6	24,0	2,5			

ამასთანავე აღსანიშნავია, რომ ნერვული ღეროს დაგრძელება არ ხდება აღნიშნული ნერვის მენჯბარძაყის სახსრის ზემომდებარე ან მუხლის სახსრის ქვემომდებარე ნაწილების გადმონაცვლების ხარჯზე, ვინაიდან 63-გრამიან ბაყაყის ნერვის დასახელებული ნაწილის სიგრძე თვალსაჩინოდ აღემატება მცირე წონის ბაყაყის (1 გრამი; 1,2 გრამი) მთელ სიგრძეს მისი უკანა კიდურების სიგრძის ჩათვლით. ჩვენ არ შეგვიძლია დავეუშვათ ნერვის დაგრძელება მისი ბოლო მიდამოების, ე. ი. ცენტრალური და პერიფერიული ნაწილების ზრდის ხარჯზე, რაც დასტურდება ჩვენი დაკვირვებით (იხ. ქვემოთ).

ნერვის დაგრძელების გარდა, ჩვენ გვინტერესებდა საკითხი ნერვული ღეროს გამსხვილების ხარისხის შესახებ. ნერვული ღეროს გამსხვილების გამოსარკვევად ჩვენ ვზომავდით მას in situ და, გარდა ამისა, ვამზადებდით განივ ანათლებს ნერვის ოსმიუმის შევავში წინასწარი ფიქსაციისა და პარაფინში ჩაყალიბების შემდეგ. ერთმანეთს ვადარებდით სხვადასხვა ასაკის ბაყაყის საჯდომი ნერვის ისეთ ნაწილებს, რომლებიც ერთსა და იმავე დონეზე იყო ამოჭრილი პროქსიმალურ ბოლოსთან.

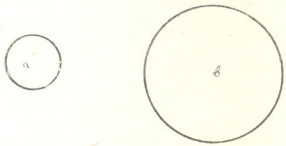
განივი ანათლების გაზომვამ გვიჩვენა, რომ დაგრძელებასთან ერთად წარმოებს ნერვის თანაბარზომიერი გამსხვილებაც. ამასთანავე გამსხვილება ხდება გაცილებით უფრო სწრაფად, ვიდრე დაგრძელება. მაგ., 2-გრ. და 34-გრ. ბაყაყის საჯდომი ნერვის განაკვეთის ზედაპირის გაზომვის შედეგად აღმოჩნდა, რომ უკანასკნელ შემთხვევაში ნერვი 6,5-ჯერ უფრო სქელია, ვიდრე პირველში (ნახ. 1).

იმ საკითხის გადასაწყვეტად, თუ რა წესით ხდება ნერვის გამსხვილება, სახელდობრ: ნერვული ბოჭკოების რაოდენობის მომატებით თუ მათი დიამეტრის გადიდების ხარჯზე, ჩვენ ვაწარმოვეთ ნერვული ბოჭკოების დათვლა და აგრეთვე ყველაზე დიდი განივი დიამეტრის მქონე ბოჭკოების ურთიერთშედარება იმავე 2-გრ. და 34-გრ. ბაყაყის მაგალითზე და აღმოჩნდა, რომ ბაყაყის საჯდომი ნერვის ნერვული ბოჭკოების აბსოლუტური რაოდენობა მატულობს დაახლოებით 3,5-ჯერ (1430/415), ყველაზე მსხვილი ბოჭკოების დიამეტრი კი დაახლოებით—2-ჯერ (ნახ. 2). მოყვანილ ნახატზე, გარდა ამისა, მკაფიოდ არის გამოხატული საზოგადოდ ყველა ბოჭკოს გამსხვილება. მიღებული შედეგები—ასაკთან დაკავშირებით ნერვული ბოჭკოების აბსოლუტური რაოდენობის მომატება—შეიძლება ავსხნათ ან ნერვულ ღეროში ახალი ბოჭკოების ჩაზრდით პროქსიმალური მხრიდან, ან უკვე არსებული უმიელინო ნერვული ბოჭკოების მიელინიზაციით. შეიძლება აგრეთვე დავუშვათ ორივე მომენტის მონაწილეობა ერთდროულად.

ბოლოს, ნერვის სიმსხოზე მოქმედი ფაქტორების შეფასების დროს ჩვენ ანგარიში უნდა გავუწიოთ აგრეთვე ნერვის სისქეში მდებარე მეზენქიმისა და მასში სისხლის ძარღვების განვითარებას.

რამდენადაც ნერვის გამსხვილების მექანიზმი ცოტად თუ ბევრად ნათლად წარმოგვიდგა, შევუდევით ჩვენი ძირითადი ამოცანის გადაწყვეტას—სახელდობრ, იმის განსაზღვრას, თუ როგორ ხდება ნერვის დაგრძელება.

ნერვის ან, რაც იგივეა, ცალკე ნერვული ბოჭკოების დაგრძელების გამოსარკვევად ჩვენ გადავწყვიტეთ გავგეზომა ნერვულ ბოჭკოებში Ranvier სეგმენტების სიგრძე და ამ მიზნისათვის გამოვიყენეთ ისევე, ის საჯდომი ნერვის ნა-



ნახ. 1. მოცემულია შეფარდება 2-გრამიანი (a) და 34-გრამიანი (b) ბაყაყის საჯდომი ნერვების დიამეტრებისა.



წილი, რომელიც მოთავსებულია მენჯბარძაყისა და მუხლის სახსრებს შორის. ამ შემთხვევაში ჩვენ გამოვდიოდით იმ წინასწარი მოსაზრებიდან, რომ ნერვული ბოჭკოს დაგრძელება შესაძლებელია ან ნერვულ ბოჭკოებში ახალი რანეის-სეგმენტების წარმოშობის ან უკვე არსებული სეგმენტების დაგრძელების ხარჯზე. ამ მიზნით ვაწარმოებდით წინასწარ ოსმიუმის მკვებაში ფიქსირებული ნერვული ღეროს გახლეჩის ცალკე ნერვულ ბოჭკოებად და ამას ვახერხებდით იმგვარად, რომ შეგვენარჩუნებინა დაუზიანებლად ნერვული ბოჭკო განუწყვეტლივ 2—5 რანეის სეგმენტის სიგრძეზე.



ნახ. 2.

ა—2-გრამიანი და ბ—34-გრამიანი ბაყაყის საჯდომი ნერვის განივი კვეთის ნაწილი მხედველობის არეში ერთისა და იმავე გადიდებით (ახხხ-ს აპარატით).

მე-2 ცხრილზე წარმოდგენილია გაზომვის შედეგები; ამავე დროს საჭიროა აღვნიშნათ, რომ რანეის სეგმენტების სიგრძის მაჩვენებელი ციფრები წარმოადგენს საშუალო არითმეტიკულს, რომელიც მიღებულია სამი მოსაზრებელი ცხრილი 2

№№	ბაყაყის წონა გრამებით	ნერვული ბოჭკოს დიამეტრი მიკრონებით	რანეის სეგმენტების სიგრძე მიკრონებით	№№	ბაყაყის წონა გრამებით	ნერვული ბოჭკოს დიამეტრი მიკრონებით	რანეის სეგმენტების სიგრძე მიკრონებით
1	2,0	750				15	2500
2	2,0	925		7	35,0	15	2350
3	28,0	725				15	2650
4	18,0	812				10	2650
		2250		8	55,0	10	22,5
		1910				10	2000
		1625				10	2150
5	24,0	1658		9	65,0	11	3100
		1762				15	2037
		1787				17,5	3722
		1900				5	1050
6	29,0	1471		10	81,0	10	1925

სეგმენტის გაზომვის შედეგად. აღმოჩნდა, რომ, როგორც წესი, რამდენადაც უფრო მსხვილია ნერვული ბოჭკო, იმდენად უფრო გრძელია რანვიეს სეგმენტები. მაგ., იმ ბოჭკოების რანვიეს სეგმენტებში, რომლებიც 10 მიკრონზე ნაკლები სისქისაა, ძლივს აღწევს 1000 მიკრონის სიგრძეს, 10 მიკრონის დიამეტრის მქონე ბოჭკოთა ზოგი სეგმენტი აღწევს 2.250 მიკრონს, ხოლო ის ნერვული ბოჭკოები, რომელთა სისქე 10 მიკრონს აღემატება, შეიცავს ისეთ სეგმენტებს, რომელთა საშუალო სიგრძე 3.722 მიკრონს აღწევს.

გარდა ამისა, აღმოჩნდა, რომ სხვადასხვა ასაკის ბაყაყების საჯდომი ნერვიდან ამოღებული ერთისა და იმავე სიმსხოს მქონე ნერვული ბოჭკოების რანვიეს სეგმენტებს, როგორც წესი, არათანაბარი სიგრძე აქვთ. სახელდობრ, რანვიეს სეგმენტები იმ ბოჭკოებშია უფრო გრძელი, რომლებიც ეკუთვნიან უფრო მეტი ასაკის ბაყაყს. ასეთი შეფარდებები ჩვენ აღმოვაჩინეთ რანვიეს სეგმენტების შედარების დროს რვა ბოჭკოებში, რომლებსაც აქვთ სისქე 5 მიკრონი, 10 მიკრონი, 11 მიკრონი და 15 მიკრონი (ცხრილი 2). ეს შედარება ჩვენ უფლებას გვაძლევს დავადგინოთ, რომ ნერვული ბოჭკოს ზრდა სისქეში შესამჩნევად ჩამორჩება მის ზრდას სიგრძეზე.

საჯდომი ნერვის სიგრძის (ცხრილი 1) და რანვიეს სეგმენტის სიგრძის (ცხრილი 2) ასაკოვანი ცვლილებების შედეგად მიღებული მონაცემის დაპირისპირება გვიჩვენებს, რომ საჯდომი ნერვის ზრდა ხდება არა ახალი რანვიეს სეგმენტების წარმოშობის გზით, არამედ უკვე არსებული სეგმენტების დაგრძელების ხარჯზე.

ვინაიდან მიელინური ბოჭკოს სტრუქტურას ახასიათებს არა მარტო რანვიეს სეგმენტები, არამედ შმიდტ-ლანტერმანის ნაქდევებიც, ამიტომ ვაღვწევით გამოვეყრკვია უკანასკნელთა დამოკიდებულება რანვიეს სეგმენტში ჩვენ მიერ აღმოჩენილ ასაკოვან ცვლილებებთან. ამ მიზნით დაეთვალეთ შმიდტ-ლანტერმანის ნაქდევები როგორც შედარებით მოკლე რანვიეს სეგმენტებში, რომლებიც ეკუთვნოდნენ უფრო ახალგაზრდა ბაყაყის-ნერვულ ბოჭკოებს, ისე უფრო გრძელ სეგმენტებში, რომლებიც გვხვდება უფრო ასაკში შესულ ბაყაყის ნერვულ ბოჭკოებში.

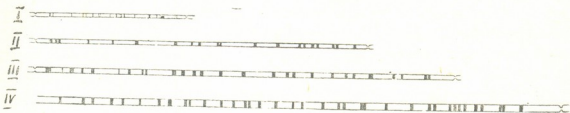
ცხრილი 3.

№	ბაყაყის წონა გრამებით	ნერვული ბოჭკოს დიამეტრი მიკრონებით	ნაქდევების რაოდენობა	№	ბაყაყის წონა გრამებით	ნერვული ბოჭკოს დიამეტრი მიკრონებით	ნაქდევების რაოდენობა
1	81,0	10	20	9	81,0	12	39
2	65,0	10	22	10	65,0	12	50
3	65,0	10	25	11	22,5	13	38
4	65,0	10	28	12	34,0	13	50
5	22,5	10	32	13	65,0	15	34
6	65,0	10	35	14	34,0	15	50
7	55,0	10	38	15	65,0	15	50
8	65,0	10	38				

მოტანილი შედეგები (ცხრილი 3) გვიჩვენებს, რომ ბაყაყის ასაკისა და, რაც იგივეა, რანვიეს სეგმენტების დაგრძელებასთან

ერთად თანდათან მატულობს შმიდტ-ლანტერმანის ნაქდევების რაოდენობა. სახელდობრ, 10 მიკრონის სისქის ნერვულ ბოჭკოებში ნაქდევების რაოდენობა მერყეობს 20-დან 38-მდე, მაშინ როდესაც 10 მიკრონზე უფრო მსხვილ ბოჭკოებში—34-დან 50-მდე.

ბოლოს ჩვენ შევარჩიეთ ნაქდევების შედარებით მცირე რაოდენობის შემცველი რანვიეს სეგმენტები როგორც ასაკით ერთმანეთთან მეტად დაშორებულ, ისე ერთისა და იმავე ასაკის ბაყაყებში და ხელშეორედ მივიღეთ ნაქდევების რაოდენობის მომატება (ნახ. 3). სახელდობრ, 858 მიკრონის სიგრძის რანვიეს სეგმენტში (ნ. ბოჭ. სისქით 8 მიკრონი), რომელიც ეკუთვნოდა 2-გრ. ბაყაყს, აღმოჩნდა 18 ნაქდევი (I), 1947 მიკრონის სიგრძის სეგმენტში (ნ. ბოჭ.



ნახ. 3

მოცემულია ნერვული ბოჭკოების შედარებითი სიგრძე, სიგანესთან შედარებით შემცირებული ოცჯერ. შმიდტ-ლანტერმანის მდებარეობა აღნიშნულია განივი ზაზებით, რომლებიც გავრცელების შესაბამისად სხვადასხვა სისქისაა (—Abbe-ს აპარატით).

სისქით 11 მიკრონი), რომელიც ეკუთვნოდა 65-გრ. ბაყაყს—40 ნაქდევი (II). 2500 მიკრონის სიგრძის სეგმენტში (ნ. ბოჭ. სისქით 15 მიკრონი), რომელიც ეკუთვნოდა 65-გრ. ბაყაყს,—27 ნაქდევი (III). 3100 მიკრონის სეგმენტში სიგრძე (სისქე—17,5 მიკრონი), რომელიც ეკუთვნოდა 65-გრ. ბაყაყს—37 ნაქდევი (IV).

თავის მხრივ, ნაქდევების განაწილება სეგმენტის ფარგალში მეტად არათანაბარი აღმოჩნდა. ერთ შემთხვევაში ნაქდევები ჯგუფადაა დალაგებული რანვიეს სეგმენტის მცირე ნაწილში. ზოგჯერ, პირიქით, ისინი ცალ-ცალკე ლაგდებიან ერთმანეთისაგან შედარებით დიდ მანძილზე. ცალკე მიდამოებში ორ მეზობელ ნაქდევს შორის მანძილი იმდენად მცირდება, რომ იგი მიკროსკოპში ძალიან გადიდებათაც ძნელი შესამჩნევი ხდება.

ამასთან საინტერესოა, რომ ბოჭკოს ღერძის გასწვრივ ნაქდევების სიგრძეც (რომელსაც ჩვენ ვზომავთ მკაფიოდ გამოხატულ გოლჯის ძაფების მიხედვით) არათანაბარია. ნაქდევების სიგრძე უფრო დიდია გრძელ რანვიეს სეგმენტებში, რომლებიც უფრო მოზრდილ ეგზემპლარებს ეკუთვნიან.

თუ მხედველობაში მივიღებთ ნაქდევების არათანაბარ სიგრძეს, რაც მატულობს ასაკის მიხედვით, და აგრეთვე ნაქდევებს შორის მანძილის თანდათან მომატებას, ოდნავ შესამჩნევიდან დაწყებული ძლიერ გამოხატულ ფარგლებამდის, მაშინ უნდა დავუშვათ ახალი ნაქდევების წარმოშობის შესაძლებლობა ძველი, განიერი ნაქდევების ფარგალში, სხვა სიტყვებით რომ ვთქვათ, ახალი

ცილინდრულ-კონუსური სეგმენტის გამოყოფა ძველი ასეთივე სეგმენტის შევიწროებულ ბოლოებზე.

ნერვული ბოჭკოების სისქესა და რანვიეს სეგმენტებს შორის ურთიერთობა, რაც ჩვენ მივიღეთ, ადასტურებს რანვიეს აღრიზდელ მონაცემებს ადამიანის, ძაღლისა და შინაური კურდღლის მასალაზე.

იგივე დაადასტურა ი. მეფთისაშვილმა [3] კატასა და ძაღლზე დაკვირვებით აკად. ბერიტაშვილის ლაბორატორიაში.

ყოველივე ზემოთ აღნიშნულის მიხედვით შეიძლება გამოვიტანოთ შემდეგი დასკვნები:

1. ბაყაყის მენჯბარძაყსა და მუხლის სახსრებს შორის მოთავსებული საჯდომი ნერვის ნაწილი და ბარძაყი მთლიანად ცოტად თუ ბევრად თანაბრად იზრდება სიგრძეზე. ნერვის ზრდა სიგრძეზე რამდენიმედ სუსტდება მის შემდეგ, როცა ბაყაყი 50 გრ. წონას მიაღწევს.

2. საჯდომი ნერვი სიგრძეზე ზრდასთან შედარებით უფრო მეტად მსხვილდება. ნერვის გამსხვილება ხდება: ა) ცალკე ნერვული ბოჭკოების გამსხვილების, ბ) მიეღწეული ნერვული ბოჭკოების რაოდენობის მომატებისა და გ) მეზენქიმისა და მის სისქეში მდებარე სისხლის ძარღვების ზრდის ხარჯზე.

3. ნერვული ბოჭკოების გამსხვილებასთან ერთად ხდება რანვიეს სეგმენტების დაგრძელება, მაშასადამე, ნერვული ბოჭკოების დაგრძელებაც.

4. ნერვული ბოჭკოების გამსხვილება საკმარისად ჩამორჩება მათ ზრდას სიგრძეზე.

5. ნერვული ბოჭკოების (და, მაშასადამე, რანვიეს სეგმენტების) დაგრძელებასთან ერთად მატულობს შშიდტ-ლანტერმანის ნაქდევების რაოდენობა და სიგრძე.

6. რანვიეს სეგმენტებში ნაქდევები განაწილებულია მეტად არათანაბრ-ზომიერად.

7. შესაძლოა დაგუშვათ ახალი ნაქდევების წარმოშობა ძველი ნაქდევების მიდამოში, სხეანაირად რომ ვთქვათ, ახალი ცილინდრულ-კონუსური სეგმენტების გამოყოფა ძველი ასეთივე სეგმენტების ბოლოებზე.

8. საჯდომი ნერვის ზრდა ჩვეულებრივ პირობებში ხდება რანვიეს სეგმენტების დაგრძელების ხარჯზე.

საქართველოს სსრ მეცნიერებათა აკადემია  
ექსპერიმენტული მორფოლოგიის ინსტიტუტი  
თბილისი

სტალინის სახელობის თბილისის  
სახელმწიფო უნივერსიტეტი

(რედაქციას მოუვიდა 24.5.1947)

დამოწმებული ლიტერატურა

1. Л. Ранвье. Технический учебник гистологии. Пер. с французского под редакцией Таранишвили, С.-Петербург, 1881.  
2. Н. Захмбин. Эмбриогенез периферической нервной системы. Иваново, 1936.  
3. И. С. Мепишашвили. Об изменении расстояния между перехватами Ранвье и между насечками Шмидт-Лангермана в связи с толщиной нервных волокон. Сообщ. Груз. Филиала Акад. Наук СССР, т. I. № 8, 1940.

ენათმეცნიერება

მაკარ ხუბუა

სპარსიზმების საკითხისათვის შაჰ-ნამეს პროზაულ მერსიაში

(წარმოადგინა აკად. ნამდვ. წევრმა გ. ახვლედიანმა 9.3.1947)

სპარსული ენის სტილი და წყობა არაიშვიათად შეინიშნება შაჰ-ნამეს ქართულ ვერსიებში, რომელთა შორის ამ მხრივ მნიშვნელოვანია პროზა, რამდენადაც მასში შედარებით ადვილად შეეძლო გზა გაეკვლია დედნიდან მომდინარე რიგ ენობრივ თავისებურებას, კერძოდ, სიტყვათა წყობისა და სტილის ხაზითაც.

მაგალითად:

1. ...რა იბლისმან მოისმინა ზააქის საუბარი, რომე მისსა ბადესა შემოვარდა, გაეხარდა... ([1], გვ. 369<sub>15</sub>).

ტრადიციულ სპ. ვერსიებში არ იპოვება შესატყვისი ფრაზა (ოფთოდ ასთ დარ დამე უ) სათანადო ადგილას, მაგრამ მისი იქ პოპულარობისათვის დავასახელოთ ასეთი ადგილები:

ა) ...საწუთროსა დამბადებელმან ღმერთმან [მანუჩარს] ესეთი ძალი და ასაკობა მისცეს, ჭანგახვილობა, ფალავნობა, ჭკუა და მეცნიარობა—მთვრალთა სპილოთა, ჭგავს რომე, მისსა ბადესა შემოვიგდებს<sup>1</sup> ([1], გვ. 421<sub>4</sub>).  
შდრ.: Frdn 796 ([2], გვ. 180<sub>6</sub>) ჭე ზან რე|ჟე მან რან|ბე დნ მან|ვა რად არ|ადამ პანრა ჯბრ ჯმეინვარე უზაბარს (ლომს) ბადით დაიოკებს (ბადეში მოიგდებს). შდრ.: „il amène le lion terrible dans ses filets“ ([3], გვ. 181<sub>4</sub>).

ბ) ...იგი ჩვესსა ბადესა შემოვიგდოთ ([1], გვ. 416<sub>30</sub>), და სხვა. უეჭველია, რომ მოტანილ მაგალითებში სპარსიზმი დაცული. შდრ. ქართ.: მახე დაუგო, მახეში გააბა...

საანალიზო ქართ. ბეჭდურ ვერსიაში სპარსიზმებად მიჩნეულ მონაცემთა შესამოწმებლად სპ. შაჰ-ნამეს ტრადიციული ტექსტები რომ არ გამოდგება, ამის ნიშნად საკმარისია დავასახელოთ ერაჯის ცოლის საკ. სახელად გამოყენებული ურიბიაშათ ([1], გვ. 400<sub>24</sub>), რაც მომდინარეობს სპ. დედნიდან, რომლის „ჭურბიბიჭით ქართულ ნიადაგზეა ურიბიაშათ...“ ([4], გვ. 309).

<sup>1</sup> ფრაზა ცოტა სხვაგვარად მესმის (ვიდრე გამომცემლებს). ე. ი. 'ეტყობა რომე [„ჭავეს რომე“], მთვრალთა სპილოთა მისსა ბადესა შემოვიგდებს [მანუჩარს]—და არა „მთვრალთა სპილოთა ჭგავს, რომე...“ უკანასკნელი გაგება (მიმის დასმით) ეწინააღმდეგება სპ. დედნის მონაცემს.

2. დავარდა ყველგან მანუჩარის სიკეთისა ამბავი ([1], გვ. 415<sub>31</sub>). ქართულსათვის ბუნებრივია ხმა დავარდა (გავარდა), მაგრამ ამბავი გაისმა. ამისათვის საკმარისია იმავე ქართული ბეჭდური ვერსიით მოცემული ასეთი ჩამატებული ფრაზა გავიხსენოთ: «[მანუჩარის უხვობისა და სიკეთისა და მოსამართლეობისა ემა [დავარდა ყოველსა ქვეყანასა ზედა]». (ib. 416<sub>15</sub>). ამიტომ, დავარდა ამბავი სპარსიზმია (ოჯთლდ).

3. ... თვით ზაქ იყო კარგი ცხენოსანი, დევის მპყრობელი, კარგი ფალავანი, სუბუქისა ჭკუისა ([1], გვ. 369). შდრ.: Jmd 94 სობოქ სნრ ([2], გვ. 56<sub>2</sub>) دے لری رورسور بومے سنرور نر بامے دے لری رورسور بومے سنرور نر بامے 'გულადი, მჩატე ჭკუის და უშიშარი იყო'. მაშასადამე, ქართულსათვის ბუნებრივი იქნებოდა მჩატე ჭკუის, ქარაფშუტა, ხოლო სუბუქისა ჭკუისა კი სპარსიზმია.

სპარსიზმია აგრეთვე დევისმპყრობელი დივბანდ ديو باند, რაც სპ. დედნიდან მოდის, უეჭველია, მაგრამ ტრადიციული ტექსტით ეს ეპითეტი თაჰმურასს ეკუთვნის (და არა ზაქს). შდრ.: გერანმნაფე თაჰმურას დივბანდ ([2], გვ. 42) *Thahmouras l'illustre, le vainqueur des Divs* ([3], გვ. 43).

4. ... დევსა ეწყინა და ასრე უპასუხა: თუ ჩემსა ფიცსა გასტებ და არ გამითავებ, არცა შენი დიდება და საქმე გათავდების და დარჩების ჩემი ფიცი შენსა კისერსა ([1], გვ. 370<sub>14-17</sub>). შდრ.: Jmd 118 ([2], გვ. 58) باند بگردت سوگند 'დარჩება შენს კისერზე ფიცი და კრულვა'.

სპარსულსათვის ჩვეულებრივია თქმა: დარჩება შენს კისერზე... (ისეთ შემთხვევაში, როდესაც საყვედურის კილოთია ნათქვამი, ვისმე მიმართ პირობის შეუსრულებლობაზე, ზიანის მიყენებაზე და სხვა). მაგალითად: ავარ ამრუზ ნინაძი, ხოდრბ ჰალაქ მიქონამ ვა ხუნე მან ბე გარდანე თო მიმანად ([5], გვ. 7) 'თუ დღეს არ მოხვალ, თავს დავიღუპავ და სისხლი ჩემი შენს კისერზე დარჩება'. სპარსიზმია აგრეთვე: გათავდების, (არ) გამითავებ.

5. ... მიწის პირის ველმწიფე შენებრი არ დაბადებულა ([1], გვ. 438<sub>15</sub>). სპარსულში ჩვეულებრივია ფრაზა: ფნდეშაჰე რუჟე ზამინ ([6], გვ. 41) 'ქვეყნის ბატონი (მეფე)'—სიტყვა-სიტყვით 'დედამიწის პირის მეფე'. მაშასადამე, თარგმანში სპარსული წყობა პირდაპირაა გადმოტანილი.

6. ... ორნივე ჯიმშედის დანი იყვნეს, სილამაზისა მოხოველნი მისთანანი არ დაბადებულან ([3], გვ. 374<sub>2</sub>).

მართალია, ტრადიციული სპარსული ტექსტით სათანადო ფრაზა (ZK 6) ასე არ იკითხება, მაგრამ, უეჭველია, დედანი შეიცავდა სპარსულ ჩვეულებრივ (ასეთ შემთხვევაში) წყობას: سياه زيبه ზიბაზ ხასთა 'მშვენიერი, ტურფა, სიტურფის მქონე, სილამაზის შემცველი'—ხოლო სიტყვა-სიტყვით სილამაზის მოხოველი (მსურველი). მაშასადამე, მთარგმნელი ვერ უწყევს ანგარიშს სპარსული წყობის სპეციფიკას საგულგებელი გაგებისათვის და თარგმნის პირდაპირი მნიშვნელობით.



30 Si vous avez rejeté de vos cerveaux mes conseils ([3], გვ. 147<sub>ა</sub>).

ე. ი. (ფრიდონი წერს უფროს ვაჟიშვილებს), უკეთეს ჩემი რჩევა-დარიგებისაგან თქვენი ტვინი დაცარიელებულა; ვერ შეგისმენიათ ჩემი წერთნა-დარიგება, მოგიშორებიათ თავიდან კარგი აზრები, და სხვა.

ქართულ თარგმანში გამოტოვებულია კუთვნილებითი ნაცვალსახელოვანი სუფიქსი (ეთან) სიტყვასთან მეღზ (მეღზეთან 'ტვინი თქვენი') და ამის შედეგია მექანიკური წყობის საანალიზო ფრაზა, რაც შეიძლებოდა ასე გამართულიყო: წერთისაგან ჩემისა თქვენი თავისა ტვინი დაიცალა. მაგრამ მაინც სპარსიზმი ლაპარაკობს აქ, რადგანაც არ გამოდის ის აზრი, რაც სპარსულშია. ამ უკანასკნელის მიხედვით ტვინი კი არ დაცლილა, არამედ დარიგებათა კვალი არ დარჩენილა ტვინში, მათი ადგილი დაცარიელებულა.

11. ... მივიდეს [ფრიდონი და მისი ჯარი] მას ქალაქსა, რომელსა თაზიანი ჰქვია ([1], გვ. 389<sub>ა</sub>), შდრ.: ZK 300 ([2], გვ. 92<sub>ა</sub>)

رسیدند بر تازیانی نوند بجائی که یزدان پرستان بدند

რასიდანდ ბარ თაზიანი ნავანდ ზე ჯადი, ქე მაზდუნ ფარასთან ბუდანდ.

Montés sur de rapides chevaux arabes, ils arrivèrent à un endroit, où ils trouvèrent des adorateurs de Dieu ([3], გვ. 93<sub>ა</sub>).

მაშასადამე, არაბულ ბედაურებზე ამხედრებულებმა მიადწიეს იმ ადგილას, სადაც ღვთის მშოსავნი იყვნენ. ე. ი. ებითეტი თაზიანი ('არაბული') გაგებულია არარსებული ქალაქის სახელწოდებად. ასეთივე გაუგებრობის ნაყოფია შემდეგიც:

12. ... რა გათავდა წერთი, ერთსა გონიარსა ფალავანსა ნიოს მისცა წიგნი. ფიცხლად ქარმა ვითა იარა. ფრიდონს კელმწიფესა წინაშე მივიდა. და ფრიდონს მოაკსენეს: «ფალავანი ნიო ერანელს კელმწიფეს მანუჩარს მახარობლად გამოუგზავნია» ([1], 439<sub>გ-დ</sub>).

საანალიზო ძეგლის სპარსულმა ვერსიებმა არ იციან ასეთი საკუთარი სახელი, რაც, უეჭველია, ქართულ ნიადაგზე შექმნილია სათანადო დედანში მდგარი ნია (ნიო) ტერმინის კვალობაზე. შდრ.: Frd 1079 ([2], გვ. 204).

یکی نامه بنوشت نزد نیا پر از جنگ و از چاره و کیمیا

დაქი ნმა ბენ(ე)ვეშთ ნაზდე ნიო ფორ აზ ჯანგ ო აზ ჩარა ო ქიმიო.

Il écrivit une lettre à son grand-père, remplie du récit de ses combats, de ses entreprises et de ses ruses ([3], გვ. 205).

მაშასადამე, სრულიად ნათელია, რომ სპარსული ზოგადი სახელი ნიო ('პაპა') წარმომდგარა არარსებულ საკუთარ სახელად. მხოლოდ ყურადღებას იქცევს აქ ბოლოკიდური ო, რასაც დედანში უდრის გრძელი ხმოვანი ა. მაგრამ ასეთი ფაქტები ცნობილია სპარსული მეტყველებისათვის.

13. ... მე უღირსი და ჩემისა ტანისა უიმედო ამისთვის, რომე სხვილი ამბავი მომაქვს ([1], გვ. 404<sub>ა</sub>)... აწ ძმათა შენთა სალიმს და თურის მოცი-



ქული გამოუგზავნია, და სხვილი საუბარი შემოუთვლიათ, და დევსა შემოყვებიან ([1], გვ. 406<sub>17</sub>). ორსავე შემთხვევაში სპარსიზმია მოცემული, რამდენადაც სხვილი ამბავი, სხვილი საუბარი ქართულისათვის სრულიად შეუფერებელია, ხოლო სპარსულისათვის ბუნებრივია იმავე ტერმინის ხმარებით, რაც შაჰ-ნამეს ტრადიციულ ტექსტშიც დგას პირველი ფრაზის შესატყვის ბაფთში და იკითხება ამგვარად: *باشت آوریده باشی* Frd 382 ([2], გვ. 146<sub>9</sub>) ფაშაში დოროშთ ვერაიდა ბეშაჰ... *j'apporte au roi un dur message* ([3], გვ. 147<sub>11</sub>). სპარსულში დოროშთ ნიშნავს: 'მსხვილი, მკვრივი, მაგარი, ხეპრე, უზრდელი, უტიფარი, კადნიერი'. მაშასადამე, თარგმანშია შეუფერებელი მშვიდობით გადმოტანილი ეს ტერმინი.

14. ...თავი ქარით აევსო და გული ჯავრითა ([1], გვ. 402<sub>11</sub>), შდრ.: Frdn 529 ([2], გვ. 158<sub>14</sub>) *باد سر پرز باد از خشم و سر پرز باد* დელემ ბოდ ფორ აზ ხაშმ ო სარ ფორ ზე ბოდ *Son cœur était plein de rage, sa tête pleine de vent* ([3], გვ. 159<sub>22</sub>).

აქაც სპარსიზმია, რათქმაუნდა (შდრ. ზემოთ), წინააღმდეგ ქართული წყობისა: *შურისძიებით განიმსჭვალა და სხვა*.

15. ...ზრავალნი პირდაბურვილნი დედანი სალტე-ტავყოსანი და ჩვილნი ყმაწვილნი დაუპატივდებიან ([1], გვ. 436<sub>10</sub>).

აქ მოცემულია პირდაპირი გაგებით სპარსული *رو ایدیه* ფუში დერუ *შინდილოსანი, პატივსაცემი დედაკაცი, უმწიკვლო ქალი* და სხვა. სწორედ ისე, როგორც ქართულშია შემორჩენილი *მანდილოსანი*.

მართალია, სპარსული ოფიციალური ვერსიებით სათანადო ადგილას ეს თქმა (მოტანილი ვარიანტით) არ დგას, მაგრამ მოცემული განმარტების სისწორისათვის საკმარისია სპ. ლექსიკონების დამოწმება. შდრ. *رو ایدیه* [ფუში დერუ] *ماما* [9].

ხოლო საანალიზო ძეგლის სპარსული ვარიანტებიდან შეიძლება ასეთი ბათის დასახელება ([2], გვ. 68<sub>8</sub>), ZK 8

*زوشیده رویان یکی شهرناز دیگر ماهرویان بنام ارزواز*

ზე ფუშიდერ რუენან აქი შაჰრენაზ დიგარ შაჰრუენან ბენამე არნაენაზ *Schehrinaz était le nom d'une de ces femmes voilées; l'autre s'appelait Arnez-waz, et sa face était comme la face de la lune* ([3], გვ. 69).

მაშასადამე, ფრანგულ თარგმანსაც დაუცავს პირდაპირი მნიშვნელობით საანალიზო ფრაზა, მაგრამ ცხადია, რომ ამ უკანასკნელში ის ტერმინი გადატანითი მნიშვნელობისაა და უშუალო კავშირი არა აქვს პირის საბურავთან.

16. ...ჰე, მყრალო დევო, უკლმართო, საქაგლო; ვინათგან ახალმოწიფულთ ფალავანთ რაზმი აჩვენე, აწ ნახო რაზმნახულისა ფალავენსა ომი. ([1], გვ. 436<sub>16</sub>).

ე. ი. ყარან ეუბნება დევს: ახალგაზრდა, ომში გამოუცდელ მეომრებთან შენ გულადობა გამოვიჩინია, მაგრამ ომგადახდელ, ბრძოლებში გაკაჟებულ ფალავანთან [როგორც მე ვარო] რა სივაჟაკეცსაც გამოიჩენ, ვნახოთო.

ქართულ თარგმანში პირდაპირაა გადმოტანილი სპარსული რაზმ ნო-  
 მს, რაზმ დიდა ('მეომარი, ომინახული') და რაზმ ზან ('მამაცი,  
 შეუპოვარი'). სპარსულშია: رازم რაზმ 'ბრძოლა, რკენა, შეტაკება'; რაზმ-  
 ზან, რაზმჯუჟა, რაზმხხვპ 'შეუპოვარი, გმირი, მებრძოლი'. შდრ.  
 Frdn 770 ([2], გვ. 178<sub>9</sub>)

كجا نام او قارن رزم زن سپه دار بيدار لشكر شكن  
 ქოჯა ნამე უ ყარან რაზმზან; სეფაზდარე ბიდარ ლაშქარშეჟან.

Son nom est Karen le vaillant; c'est un chef infatigable, un destructeur  
 des armées ([3], გვ. 179).

17. ... წარბნი შეინასკენა და ეგრე მოახსენა დედასა ([1], გვ. 385<sub>23</sub>),  
 შდრ.: ZK 183 ([2], გვ. 84<sub>2</sub>).

برابرو زخشم ازدر آورد چين  
 ბარ აბრუ ზე ხაშმ ანდარ ავორდ ჩინ 'წარბ [ებ] ზე გამოსა-  
 ხა გულისწყრომისაგან ნაოჭი'.

ე. ი. გაგულისდა, გული მოუვიდა, გაჯავრდა.

საანალიზო თარგმანში სხვაგანაც იხმარება ეს გამოთქმა ამავე მნიშვნე-  
 ლობით, რისთვისაც ქართულში ჩვეულებრივია წარბები შეიკრა. მაგრამ  
 მთარგმნელმა სპ. ჩინ ('ნაოჭი, კეცი, ნაკეცი') პირდაპირ შეუწყო ქართულს  
 და გამოვიდა ნასკვი, შეკვრა. ამიტომ, წარბნი შეინასკენა სპარსიზმია.  
 შდრ.: ჩინ ბარ აბრუ აფტანდან [10], 'გაჯავრება, რისივე (ვისივე) საწი-  
 ნაღმდეგოდ მზადყოფნა'. უფრო აშკარად ეს ჩანს შემდეგი მაგალითებიდან:

ა) ... შეხედნა საღმი მისთა ლაშქართა და შეაფყო სიყვარული ერაჯისა  
 და მას აქსენებდეს ქვეყნისა შარიარად. გულსა ჯავრი ჩაუვარდა და დეიძლი  
 სისხლითა აევსო, წარბნი გამოინასკენა, ჯალაბი ჩააყენა და კარაფი და-  
 ახალვითა ([1], გვ. 409<sub>12</sub>). შდრ.: Frdn 485 ([2], გვ. 154<sub>9</sub>)

بخرگه در آمد دل پرزگين جگر پرز خون ابروان پرزجين  
 ბე ხარგაჰ დარ ომად დელე ფორ ზე ქინ, ჯეგარ ფორ ზე ხუნ, აბროვენ ფორ  
 ზეჩინ Il reentra dans la tente le cœur plein de colère, le foie pleie de sang,  
 les saurcils pleins de rides ([3], გვ. 155).

ბ) ... შადიდს ეწყინა დევის სიკვდილი. ჯავრიანმან ლაშქართ უბრძანა:  
 „ყველამან თვალი ჩემზედან დაიჭირეთ, წარბები გამოინასკევით და  
 გულოვნად იყვნით. ([1], გვ. 433).

მაშასადამე, აქ სრულიად აშკარაა, რომ წარბები გამოინასკევით  
 ნიშნავს: მრისხანე გამომეტყველება მიიღეთ, 'შურისძიების გრძნობით  
 განიმსქვალეთ, სახე შეიკარით მტერთა შიშის მომგვრე-  
 ლად... და სხვა'.

18. ... პირი თქვენდა სანახავად მოაქვს ([1], გვ. 408<sub>3</sub>).

ე. ი. თქვენთან მოღის, თქვენკენ წამოვიდა.

სპარსულში ჩვეულებრივია რუ ავორდან ('პირის მოტანა') მნიშვნე-  
 ლობით: 'გამგზავრება, გეზის აღება (რაიმე მიმართულებით), მიქ-  
 ცევა'.

დედანიში ალბათ ასეთი ფრაზა, მდგარა: რუ ბე დიდანიე შომან მიწვა-რად. ქართული ასე აფორმებს ამას: პირი თქვენიკენ იქცია, რისი შესატყვისი თქმა სპარსულსაც გააჩნია: რუ ნეჰანდან („პირის მიქცევა“, ‘გამგზავრება, გეზის აღება’), თარგმანში კი სპარსიზმია.

19. ... ჯელმწიფობის ტახტი და გვირგვინი დაუპირავს [ზაჰქს] და მესიხს ზელო პირის სარტყელი მას შენზედ შემოურტყამს ([1], გვ. 373). ე. ი. ჯიმედო ხელმწიფეს მისმა ეს ამბავი, რომ ზაჰაქი აგროვებს ჯარს და მზად არის მის შესაბრძოლებლად. მსგავსი გაგებისათვის შდრ. აგრეთვე: ... მათი [სალიმისა და თურის] სული ეშმაკს მოულოვრებია და ორთავე პირი ჩვენკენ უქნიათ და მტრობის სარტყელი ჩვენზედა შემოურტყამთ ([1], გვ. 406<sup>19-20</sup>).

სპარსული აზროვნებისა და ენობრივი წყობისათვის სრულიად ბუნებრივია სარტყელი შემოურტყამს, ქამარი შემოურტყამს, ქამარ-შემოურტყამული, წელშერტყამული და სხვა ისეთ შემთხვევებში, როდესაც მხედველობაში აქვთ მზად ყოფნა რაიმე საქმის შესასრულებლად (ომში წასასვლელად, სამსახურად). შდრ.: كمر بسته [ქამარ ბასთა] Fig. Ready or prepared for work [10]. ამიტომ, სრულიად ბუნებრივია, რა თქმა უნდა, ანალოგიური წყობა სპარსულ ენაში, სპ. ლიტერატურაში, მაგრამ ამ წყობის პირდაპირი ვადმოტანა ქართულისათვის მიუღებელია. ამისდა მიუხედავად, მთარგმნელი დაეინებით მისდევს ერთხელ აღებულ გეზს. შდრ. დამატებით: ... მე თურქეთს და ჩინის პატრონი ვარ და ვდგავარ სარტყელშერტყამული მონურად ([1], გვ. 409<sup>6</sup>), [უღუნება ერაჯი ძმებს]. ე. ი. როგორც მონა მზად ვარ თქვენდა სამსახურად. შდრ.: Frd 502 ([2], გვ. 156<sup>6</sup>) میان ترک بستم. მარზ ბარ დარე თორქ ბასთა მიან, comme un esclave à la porte des Turcs ([3], გვ. 157).

საქართველოს სსრ მეცნიერებათა აკადემია  
 აკად. ნ. შარის სახელობის ენის ინსტიტუტი  
 თბილისი

(რედაქციას მოუვიდა 10.3.1947)

#### დამოუწყებელი ლიტერატურა

1. აბუ-ლ-ყასიმ ფირდოუსი. შაჰ-ნამე. ქართული ვერსიები, ტომი 2, ტფილისის სახელმწიფო უნივერსიტეტის გამომცემლობა, ტფილისი, 1934.
2. Le Livre des rois par Abou' l Kasim Firdousi. Publié, traduit et commenté par M. Jules Mohl. Tome I, Paris, 1838.
3. იგივე, ფრანგული თარგმანის გვერდები.
4. მ. ხუბუა. სამი იამანელი ასულის საკ. სახელთა ეტიმოლოგია შაჰ-ნამეს ქართული პროზ. ვერსიით, ლიტერატურული ძიებანი, 2, 1944.



5. Сказки попугая. Выбрал и словарем снабдил В. А. Жуковский. Изд. 2, С.-Петербург, 1901.
6. The Gulistan of Shaikh Muslih u'ddin Sâdi of Shirâz by John platts. London, 1874.
7. Ferdowsi's Shahnameh. A Revision of vullers' Edition. Teheran, 1934.
8. Wis o Ramin. Calcutta, 1865.
9. И. Ягелло. Полный персиско-арабско-русский словарь. Ташкент, 1909.
10. S. Haïm. New Persian-English Dictionary. Teheran, 1936.

პასუხისმგებელი რედაქტორის მოადგილე პროფ. დ. დოლიძე.

ზელმოწერილია დასაბეჭდად 12.9.1947

ბეჭდურ ფორმათა რაოდენობა 5

შეკვ. 516

ანაწყოების ზომა 7×11

ტირაჟი 1500

შე 12971

საქართველოს სსრ მეცნიერებათა აკადემიის გამომცემლობის სტამბა, ა. წერეთლის ქ., № 7

17/743

7 688/743



აღბუღებუბა „საქართველოს სსრ მეცნიერებათა აკადემიის მოაზრის“ მსახეზა

1. „მოაზრეში“ იბეჭდებუბა საქართველოს სსრ მეცნიერებათა აკადემიის მეცნიერი მეზუ-კებუბისა და სხუბა მეცნიერთა წერილები, რომლებშიც მოკლედ გადმოცემულია მათი გამოკლე-ვების მთავარი შედეგები.

2. „მოაზრეს“ ხელმძღვანელობს სარედაქციო კოლეგია, რომელსაც იბრევეს საქართველოს სსრ მეცნიერებათა აკადემიის საერთო კრებუბა.

3. „მოაზრე“ გამოადის ყოველთვიურად (თვის ბოლოს), გარდა ივლის-აგვისტოს თვისა— ცალკე ნაკვეთად, დაახლოებით 5 ბეჭდური თაბანის მოცულობით თითოეული. ერთი წლის მგელა ნაკვეთი (სულ 10 ნაკვეთი) შეადგებს ერთ ტომს.

4. წერილები იბეჭდებუბა ქართულ ენაზე. იგივე წერილები იბეჭდებუბა რუსულ ენაზე პარა-ლელურ გამოცემაში, სადაც წერილს შეიძლება დაერთოს, ავტორის სურვილის მიხედვით, რუსუ-მე ინგლისურ, ფრანგულ ან გერმანულ ენაზე; რუსულ შეიძლება შეცვლილ იქნეს თარგმანით ერთ-ერთ დასახელებულ ენაზე.

5. წერილის მოცულობა, ილუსტრაციების ჩათვლით, არ უნდა აღემატებოდეს 8 გვერდს, ხოლო რუსულს ჩათვლით—10 გვერდს. არ შეიძლება წერილების დაყოფა ნაწილებად სხვადასხუბა ნაკვეთი გამოსაქვეყნებლად.

6. მეცნიერებათა აკადემიის ნამდვილი წევრებისა და წევრ-კორესპონდენტების წერი-ლები უშუალოდ გადაეცემა დასაბეჭდად „მოაზრის“ რედაქციას, სხუბა ავტორების წერილები კი იბეჭდებუბა საქართველოს სსრ მეცნიერებათა აკადემიის ნამდვილი წევრის ან წევრ-კორესპონ-დენტის წარმოდგენით. წარმოდგენის გარეშე შემოსულ წერილებს რედაქცია გადაცემს აკა-დემიის რომელიმე ნამდვილ წევრს ან წევრ-კორესპონდენტს განსახილველად და, მისი დადე-ბითი შეფასების შემთხვევაში, წარმოადგენად.

7. წერილები თავისი რუსულეთი და ილუსტრაციებით წარმოდგენილი უნდა იქნეს ავტორის მიერ სასესიოთ გამოზადებული დასაბეჭდად. ფორმულები მკაფიოდ უნდა იყოს ტექსტში ჩაწერილი ნელით. წერილის დასაბეჭდად მიღების შემდეგ ტექსტში არავითარი შესწორებისა და დამატების შეტანა არ დაიშევა.

8. დამოწმებული ლიტერატურის შესახებ მონაცემები უნდა იყოს შეჭლებისდაგვარად სრული: სატირა ადინიშნის ვერნალის სახელწოდებუბა, ნომერი სერიისა, ტომისა, ნაკვეთისა, გამოცემის წელი, წერილის სრული სათაური; თუ დამოწმებულია წაგნი, საეაღდებულაა წიგნის სრული სახელწოდებისა, გამოცემის წლისა და ადგილის მითითებუბა.

9. დამოწმებული ლიტერატურის დასახელებუბა წერილს ბოლოში ერთვის სიის სახით; ლიტერატურაზე მითითებისას ტექსტში ან შეიშენებში ნაგვენები უნდა იქნეს ნომერი სიის მიხედვით, ჩასბული კვადრატულ ფრჩხილებში.

10. წერილის ტექსტისა და რეზუმეს ბოლოს ავტორმა უნდა აღნიშნოს სათანადო ენებზე დასახელებუბა და ადგილმდებარეობა დაწესებულებისა, სადაც შესრულებულია ნაშ-რობი. წერილი თარიღდება რედაქციაში შემოსულის დღით.

11. ავტორს ქელევა გვერდებად შეკრული ერთი კორექტურა მკაცრად განსაზღვრული ვადით (წველებრივად, არა უმეტეს ერთი დღისა). დაუგემილი ვადისათვის კორექტურის წარმო-ზღველობის შემთხვევაში რედაქციას უფლება აქვს შეაერთოს წერილის დაბეჭდუბა, ან დაბეჭ-დოს იგი ავტორის ვიზის გარეშე.

12. ავტორს უფაოდ ეძლევა მისი წერილის 50 ამონაბეჭდი (25 ამონაბეჭდი თითო-ეული გამოცემიდან) და ერთი ცალი „მოაზრის“ ნაკვეთისა, რომელშიც მისი წერილია მოთავ-სებული.

აკადემიის მისაზაკთი: თბილისი, ძეგენისძის ძ. 8.